

UNIVERSIDAD NACIONAL DE INGENIERIA
FACULTAD DE INGENIERIA GEOLOGICA MINERA Y METALURGICA
ESCUELA PROFESIONAL DE GEOLOGIA



**“PORFIDO DE COBRE DEL PROYECTO PETAQUILLA, AREA DE
BOTIJA – PANAMA”**

INFORME DE SUFICIENCIA
PARA OPTAR EL TITULO PROFESIONAL DE
INGENIERO GEOLOGO

PRESENTADO POR

KATTY JANET FLORES ROJAS

LIMA – PERU

2010

AGRADECIMIENTO

Agradezco de manera especial a la empresa Inmet Mining Corporation por hacerme participe del proyecto Petaquilla, también a EXPLOANDES S.R.L; empresa consultora peruana con la que participe en un inicio en el proyecto, ya que significó un proceso de aprendizaje y desarrollo profesional en este tipo de depósito.

CONTENIDO

AGRADECIMIENTO

RESUMEN

CAPITULO I: GENERALIDADES

1.1	Ubicación y Acceso	10
1.2	Objetivos del estudio	14
1.3	Metodología del trabajo	14
1.4	Trabajos anteriores	14

CAPITULO II: MARCO GEOLÓGICO REGIONAL

2.1	Topografía y Geomorfología	17
2.2	Clima y Vegetación	18
2.3	Geología regional	19
	Contexto litológico	22
	Litología del depósito de Petaquilla	22
	Litología del depósito Valle Grande	26
	Alteraciones	29
	Alteraciones en el depósito Petaquilla	29
	Alteraciones en el depósito Valle Grande	32
	Mineralización	34
	Mineralización en el depósito Petaquilla	34

Mineralización en el depósito Valle Grande	37
Geología Estructural	38
Depósito Petaquilla	38
Depósito Valle Grande	39
 CAPITULO III: GEOLOGIA LOCAL DEL DEPOSITO BOTIJA	
3.1 Litología	41
3.2 Alteración	45
3.2.1 Evento Prógrado	45
3.2.2 Evento Retrógrado	47
3.2.3 Alteración de estadio tardío	47
3.3 Mineralización	50
3.3.1 Mineralización hipógena en andesita	50
3.3.2 Mineralización hipógena en granodiorita	50
3.3.3 Mineralización supérgena	51
3.4 Geología Estructural	53
 CAPITULO IV: LOGUEO DE PERFORACIÓN DIAMANTINA	
4.1 Logueo de 08 pozos de perforación	57
 CAPITULO V: ANOMALIA GEOQUIMICA E INTERPRETACION GEOLOGICA	
5.1 Tramos de mineralización	67
5.2 Interpretación de 05 secciones geológicas	70

CONCLUSIONES	75
RECOMENDACIONES	78
REFERENCIAS BIBLIOGRÁFICAS	79
LISTA DE FIGURAS	
Figura 1: Plano de Ubicación del proyecto Petaquilla	12
Figura 2: Rutas de acceso al proyecto Petaquilla	13
Figura 3: Regiones morfoestructurales del proyecto Petaquilla	18
Figura 4: Geología del proyecto Petaquilla	22
Figura 5: Esquema idealizado	38
Figura 6: Plano geológico estructural del proyecto Petaquilla	40
Figura 7: Alteración idealizado en la granodiorita del depósito Botija	49
Figura 8: Alteración idealizado en la andesita del depósito Botija	49
Figura 9: Plano geológico estructural del depósito Botija	54
Figura 10: Plano Mostrando los pozos de perforación	56
Figura 11: Descripción de logueo, depósito Botija – pozo B07021	58
Figura 12: Descripción de logueo, depósito Botija – pozo B07026	59
Figura 13: Descripción de logueo, depósito Botija – pozo B07028	60
Figura 14: Descripción de logueo, depósito Botija – pozo B07032	61
Figura 15: Descripción de logueo, depósito Botija – pozo B07035	62
Figura 16: Descripción de logueo, depósito Botija – pozo B07040	63
Figura 17: Descripción de logueo, depósito Botija – pozo B07041	64
Figura 18: Descripción de logueo, depósito Botija – pozo B07061	65
Figura 19: Sección 538300 E mostrando valores de cobre	70
Figura 20: Sección 538400 E mostrando valores de cobre	71

Figura 21: Sección 538500 E mostrando valores de cobre	72
Figura 22: Sección 538600 E mostrando valores de cobre	73
Figura 23: Sección 538700 E mostrando valores de cobre	74

LISTA DE FOTOS

Foto 1: Vista panorámica del campamento Colina	11
Foto 2: Río San Juan, durante el estadio de caudal alto	19
Foto 3: Granodiorita equigranular, depósito Valle Grande	27
Foto 4: Andesita Brecha, depósito Valle Grande	28
Foto 5: Feldespato cuarzo porfirítico, depósito Valle Grande	28
Foto 6: Andesita de textura afanítica, depósito Valle Grande	29
Foto 7: Mineralización de cobre en el depósito Petaquilla	36
Foto 8: Granodiorita porfirítica, depósito Botija	43
Foto 9: Dique basáltico en contacto con andesita, depósito Botija	45
Foto 10: Testigo de perforación, depósito Botija	52
Foto 11: Testigo de perforación con venillas de stockwork de cuarzo	52
Foto 12: Plataforma de perforación, pozo B07035	66
Foto 13: Plataforma de perforación diamantina, pozo B07021	66
ANEXOS	81
Análisis de laboratorio, depósito Botija - pozo B07021	82
Análisis de laboratorio, depósito Botija - pozo B07026	88
Análisis de laboratorio, depósito Botija - pozo B07028	94
Análisis de laboratorio, depósito Botija - pozo B07032	105

Análisis de laboratorio, depósito Botija - pozo B07035	117
Análisis de laboratorio, depósito Botija - pozo B07040	129
Análisis de laboratorio, depósito Botija - pozo B07041	139
Análisis de laboratorio, depósito Botija - pozo B07061	148

RESUMEN

El presente informe forma parte del proyecto Petaquilla ubicado en el distrito de Donoso, provincia de Colón, en la República de Panamá; aproximadamente a 120 km al Oeste de la ciudad de Panamá.

Los trabajos de exploración en Petaquilla se iniciaron en 1968 durante una evaluación geológica y geoquímica a nivel regional de Panamá Central, realizándose hasta 1976 el mapeo geológico, perforación diamantina con un total de 14000 m perforados en los depósitos de Petaquilla y Botija. En los años 90 se retoman los trabajos de exploración por Minnova (ahora Inmet), Georecursos Internacional S.A, Adrian y Teck Cominco y Petaquilla Minerals. A partir del 2007 la concesión es administrada por Teck Cominco e Inmet; a partir de junio del 2008 pasa la administración total a Inmet, con razón social en Panamá como Minera Panamá S.A (MPSA).

El proyecto Petaquilla abarca tres depósitos principales: Petaquilla, Valle Grande y Botija. El depósito Botija es un pórfido de cobre, se va a presentar los registros de logueo, secciones geológicas y resultados de leyes de taladros. Se muestra la geología regional de Petaquilla y Valle Grande como referencia.

El Batolito Petaquilla, causante de la mineralización del pórfido de Petaquilla forma parte del bloque de corteza continental Chorotega, parte de un arco de islas

que van del Paleoceno – Eoceno, Oligoceno medio, Oligoceno tardío a Mioceno temprano y Plioceno – Pleistoceno.

Litológicamente el depósito Botija presenta andesitas de edad Eoceno a Oligoceno temprano, granodiorita del batolito de Petaquilla de edad Oligoceno medio que intruyó a las andesitas y diques basálticos posterior a la mineralización.

La tendencia estructural tiene una orientación predominante NW y NE, similar a la de los Andes, pero en este campo todavía hay mucho por estudiar y esclarecer.

La mineralización hipógena consiste principalmente de calcopirita, bornita, molibdenita y pirita, esta poco desarrollada la zona de enriquecimiento secundario. Sobre la zona de enriquecimiento secundario se tiene una secuencia de saprolitas que llegan hasta 30 m de espesor.

La anomalía geoquímica muestra valores de cobre de 0.1 % a 1% en granodiorita, con valores de moderado a alto en la zona potásica – filica.

La información geológica base para la preparación de este informe, se ha tomado del reporte técnico preparado por Teck Cominco Limited, Inmet Mining Corporation, Petaquilla Minerals Ltd. de noviembre del 2007.

CAPITULO I

GENERALIDADES

1.1 Ubicación y Acceso

La concesión Petaquilla esta localizada en el distrito de Donoso; provincia de Colón, en la República de Panamá; aproximadamente a 120 km al Oeste de la ciudad de Panamá. Colón se encuentra en la parte Central – Norte de Panamá, delimitado por el Mar del Caribe al Norte y la provincia de Cocle al Sur (Figura 1).

El acceso al área del proyecto es a través de la Panamericana Sur, desde la ciudad de Panamá en dirección a Penonomé, la carretera es asfaltada hasta La Pintada y continua luego una carretera afirmada desde La Pintada hasta el campamento Colina pasando por Coclesito y el proyecto de oro Molejón, demorando tres horas aproximadamente (Figura 2).

El acceso hacia las plataformas de perforación al área de Petaquilla y Valle Grande es solo por helicóptero, a Botija el acceso es por helicóptero y vehículo.



Foto 1: Vista panorámica del campamento Colina del proyecto Petaquilla, en el distrito Donoso, provincia de Colón, República de Panamá



Figura 1: Plano de Ubicación del proyecto Petaquilla

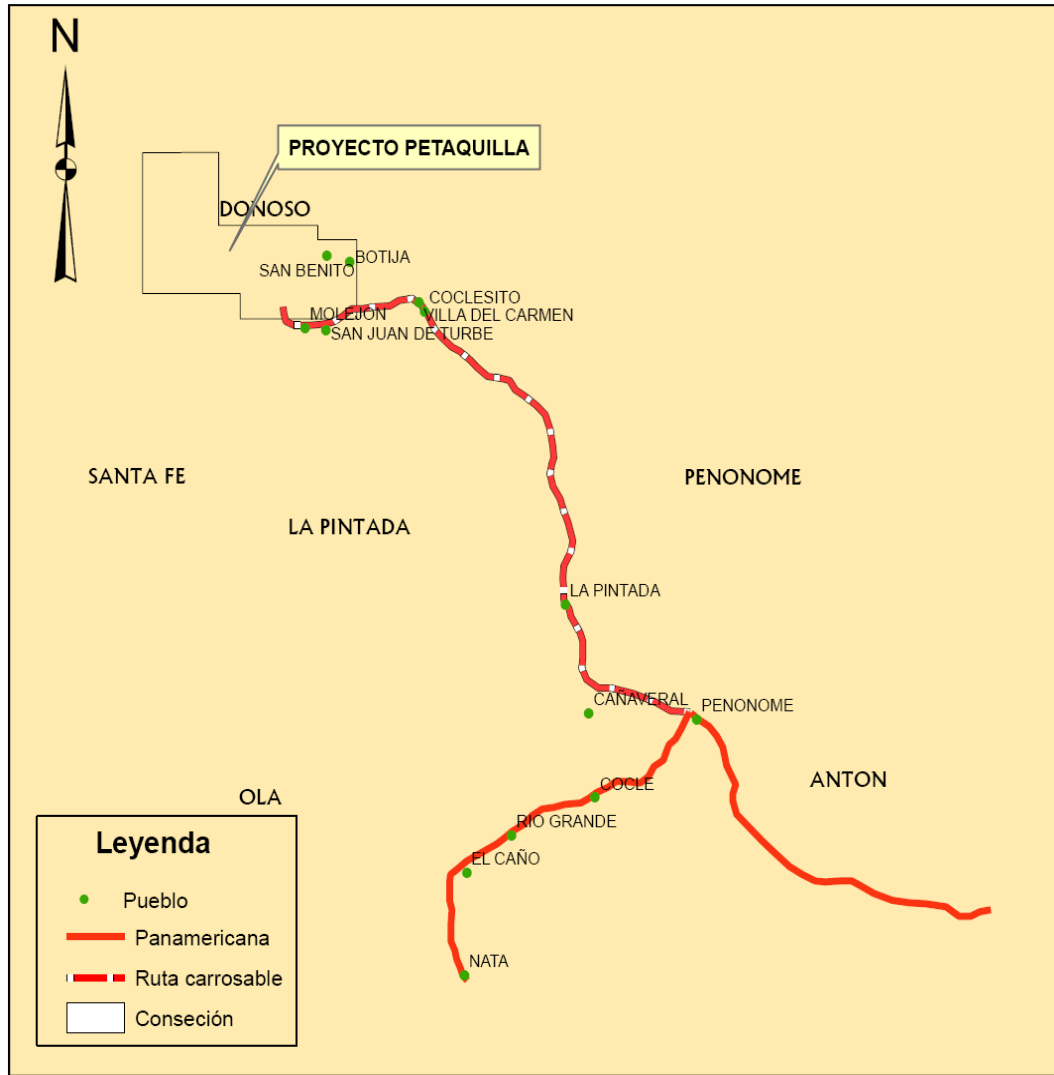


Figura 2: Rutas de acceso al proyecto Petaquilla

1.2 Objetivos del estudio

- Obtener el título de Ingeniero Geólogo
- Dar a conocer información actualizada del depósito Botija a partir de los logueos de perforación y secciones realizadas.
- Dar a conocer la geología de un pórfido de cobre en zonas de clima tropical con precipitaciones constante como es el clima de Panamá.

1.3 Metodología del trabajo

En el proyecto Petaquilla se reviso información de trabajos previos, se hicieron campañas intensivas de perforación, que continúan al día de hoy. En el 2008 se tenían perforados 42 taladros en el depósito Botija, 02 en el depósito valle Grande, 14 en el depósito Petaquilla y con profundidades máximas de 612 m. Se realizaron secciones geológicas con información obtenida de los taladros de años anteriores. Los taladros cada 1.5 metros fueron muestreados, reportándose las leyes por cobre, oro, plata, molibdeno, arsénico y zinc.

1.4 Trabajos anteriores

Petaquilla fue descubierto en 1968 durante una evaluación geológica y geoquímica a nivel regional de Panamá Central por el Programa de Desarrollo de las Naciones Unidas (PDNU); evaluación que mostró una silicificación generalizada y mineralización de cobre en el área de Petaquilla y Botija. Las muestras de suelo

revelaron algunas anomalías de Cu-Mo, las mediciones magnéticas identificaron áreas de magnetita. En 1969 se perforaron 27 taladros cortos y 10 taladros largos en las áreas de Petaquilla, Botija y Vega.

En el mismo año (1969) la concesión fue adjudicada a Panamá Mineral Resources Development Company (PMRD), consorcio japonés. Este consorcio realizó entre los años 1970 y 1976 un mapeo geológico en Petaquilla y Botija así como taladros cortos y largos de perforación en Petaquilla, Botija Medio y Vega, haciendo un total de 14000 m perforados. En 1977 se calculó la reserva de manera preliminar y se completaron los reportes de prefactibilidad. Posteriormente las negociaciones con el gobierno panameño sobre los términos de producción fracasaron y en 1980 el consorcio japonés abandona la propiedad.

En los años 90 se retoma los trabajos de exploración, pasando por el área varias compañías tales como Minnova (ahora Inmet), Georecursos International S.A, Adrian y Teck Cominco; esta última hizo la actualización de los estudios de factibilidad en 1998. También Petaquilla Minerals, desarrolló perforaciones poco profundas de la zona de óxidos de la mayoría de los depósitos y exploró por oro en diversos lugares dentro de la concesión.

En 1998, Teck Cominco e Inmet basándose en los estudios de factibilidad previos, realizaron un estimado de reservas. La consultora AMEC en el 2007, después de revisar el estimado de reservas de 1998 concluyó que el estimado realizado no es compatible con las definiciones estándares para Recursos y Reservas Mineral del 2005 del Instituto Canadiense de Minería (CIM) como exige la norma NI 43-101. AMEC; esta consultora indica que utilizando las definiciones del CIM la mayoría de las reservas clasificadas como probables, realmente son reservadas probadas.

El proyecto Petaquilla en la actualidad esta administrado totalmente por Inmet, que se denomina en Panamá Minera Panamá S.A (MPSA).

CAPITULO II

MARCO GEOLOGICO REGIONAL

2.1 Topografía y Geomorfología

El territorio de Panamá presenta tres regiones morfoestructurales: las regiones de montañas, las regiones de cerros bajos y colinas y la tercera región es la de planicies, litorales y regiones bajas. El proyecto Petaquilla pertenece a la primera región (Figura 3).

La topografía del área de la concesión es accidentada, cubierta por una densa selva tropical. Las principales estructuras geológicas están atravesadas por numerosos ríos y

arroyos que son la geomorfología dominante. En contraste, la zona al norte del área mineralizada, representa una superficie más baja extendiéndose hacia las costas del caribe. La elevación promedio es de 150 m con una altura que no sobrepasa los 350 m.

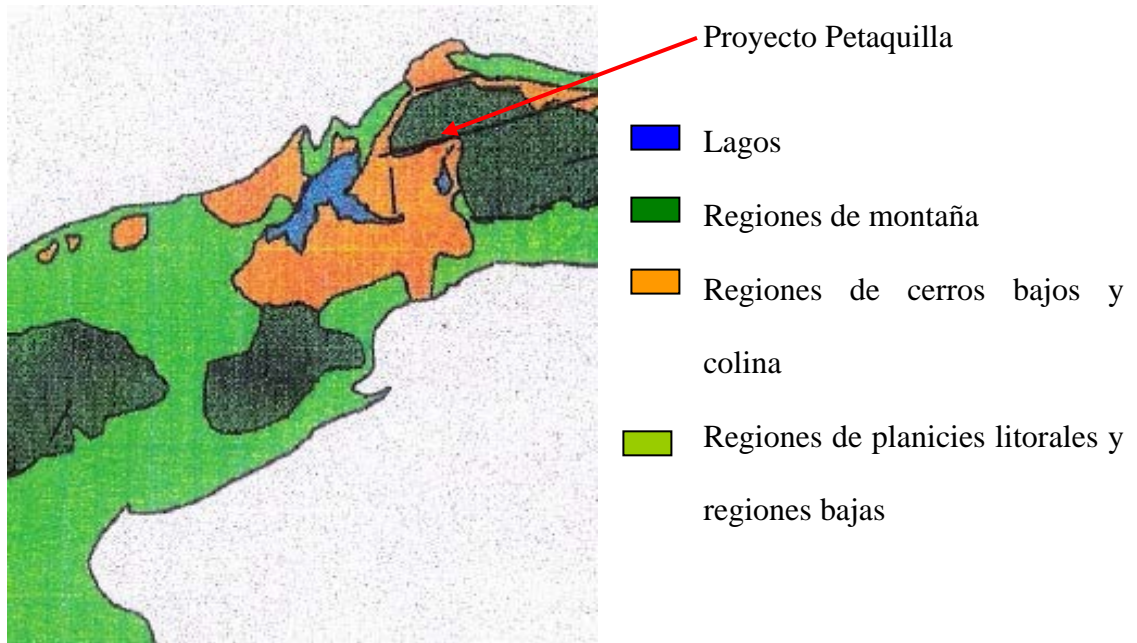


Figura 3: Regiones morfoestructurales de la zona del proyecto Petaquilla

2.2 Clima y Vegetación

Las condiciones climáticas son ecuatoriales, con altos niveles de precipitación, alta humedad y relativamente alta temperatura de 25°C a 30°C todo el año. La precipitación anual media 4,700 mm. En el área del proyecto las tormentas son generalmente de corta duración de 1 a 2 horas. Los vientos dominantes vienen por el

oeste y generalmente son moderados con vientos no mayores a 58 km/h. En la Costa los vientos predominantes provienen del Norte y no superan los 148 km/h. Las olas del océano pueden alcanzar los 5 m de altura entre diciembre y febrero. En la costa ocasionalmente se presentan huracanes.



Foto 2: Río San Juan, durante el estadio de caudal alto

2.3 Geología regional

Panamá no es un país minero, no cuenta con un organismo estatal que desarrolle actividades de investigación geológicas pero tiene el Instituto de Recursos Minerales, que se encarga de los permisos de ejecución y estudio ambientales, existen labores mineras pequeñas principalmente de oro pero el proyecto Petaquilla es de gran magnitud

siendo el desarrollo de este proyecto esperado por la población con mucho entusiasmo. Debido al desarrollo incipiente de la actividad minera en Panamá, el presente informe no presenta una columna estratigráfica ya que no existe todavía la carta geológica regional de la zona.

Varios pulsos de vulcanismo conforman la secuencias de arco de islas en el bloque Chorotega, que van del Paleoceno – Eoceno, Oligoceno medio, Oligoceno tardío a Mioceno temprano y Plioceno – Pleistoceno (de Boer et al., 1995).

Las rocas calco – alcalinas de la zona contienen mineralización de pórfido y van del Oligoceno (Petaquilla) a Plioceno (Cerro Colorado). El Batolito de Petaquilla de edad del Oligoceno medio forma parte del bloque Chorotega; corteza continental que conforma la zona oeste de Panamá y descansa sobre un basamento de corteza oceánica del Cretáceo tardío a Paleoceno, rocas sedimentarias y volcánicas.

En el área de Petaquilla, las rocas más antiguas son andesitas submarinas, flujos basálticos y tufos, intercalados con rocas sedimentarias clásticas y calizas de arrecifes de probable edad Eoceno a Oligoceno temprano.

Mapeos de reconocimiento efectuados en la región de la concesión Petaquilla y áreas circundantes en Panamá Central en los años 1966 a 1969 por el Programa de Desarrollo de las Naciones Unidas, reconocieron flujos andesíticos a basálticos, tufos y rocas sedimentarias clásticas presumidas de edad Terciario temprano a medio, intruído por el batolito Petaquilla del Oligoceno Medio. El batolito Petaquilla es de composición cuarzo monzonítica.

Hay numerosos stock y plutones de composición ligeramente más máficos (granodiorita, tonalita, cuarzo- diorita, etc) que afloran aledaños al batolito, particularmente a lo largo del extremo sur. La textura va de equigranular a porfirítica.

Interpretaciones de imágenes satelitales de la región sugiere que las principales tendencias estructurales están al Noreste y Noroeste (figura 5).

Se va hacer mención de los depósitos aledaños al depósito Botija: Petaquilla y Valle Grande.

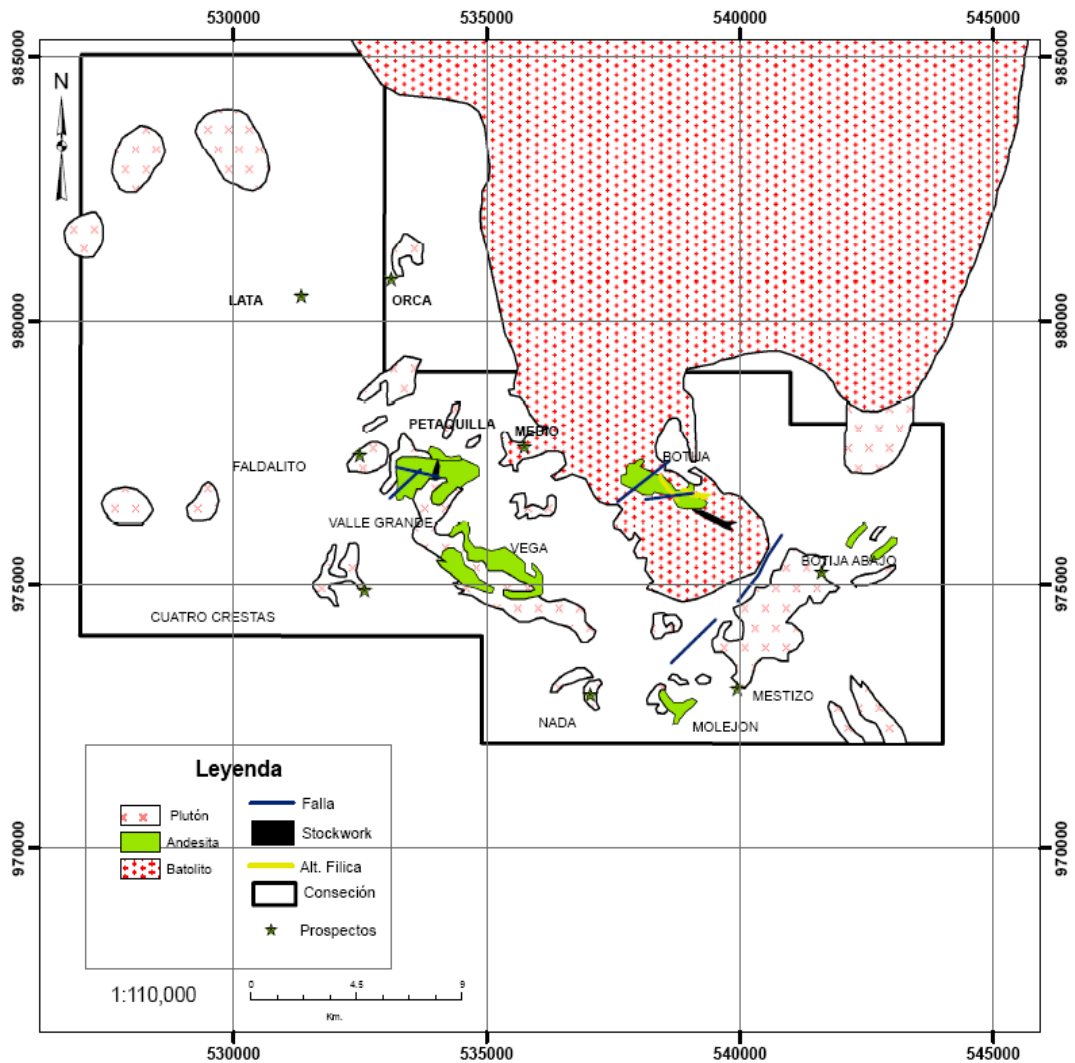


Figura 4: Geología del proyecto Petaquilla

Contexto litológico

Se va a describir a continuación los afloramientos rocosos en Petaquilla y Valle Grande.

❖ **Litología del depósito de Petaquilla**

La zona esta conformada por flujos andesíticos con intercalaciones menores de flujos de basalto y equivalentes hipabisales, tufos, rocas sedimentarias tufáceas, limolita

que son cortados por una secuencia compleja de intrusiones pre, sin y post mineral. Doce unidades distintas han sido identificadas en base a la mineralogía, alteración y mineralización; puede haber más intrusivos pero se dificulta distinguirlos debido a las alteraciones y similitudes a otras unidades.

Según el orden de intrusión del más antiguo al más moderno se tiene:

1. ***Granodiorita***.- Pre a sin mineral; es la mas antigua y la unidad intrusiva mas significativa. La textura es de grano medio, equigranular a débilmente porfirítica; la composición es variable y va desde plagioclasa y hornblenda dominante a poco cuarzo con feldespato potásico primario. Esta unidad probablemente representa varios eventos intrusivos, pero al estar muy alterada es difícil distinguir cuerpos intrusivos individuales.
2. ***Diorita porfirítica***.- Pre a sin mineral; la textura es de grano medio, equigranular a ligeramente porfirítica, el afloramiento es pequeño con respecto a la masa total de la roca circundante. La mineralogía es similar a la descrita en el punto 1, tiene un 50% de hornblenda alterada.
3. ***Diques de Feldespato porfirítico mas biotita alterada***.- Pre a sin mineral; son diques delgados (generalmente 1 m a 2 m de espesor) que comprenden aproximadamente 1% del total de volumen de roca mineralizada. Es de tonalidad blanquecina y de granulometría euhedral, matriz marrón oscura a negra y de grano muy fino, se presume que sea la biotita alterada, aunque podría ser en parte

turmalinizada (suposición que todavía no ha sido confirmado por la petrografía).

La matriz puede llevar como 3% de calcopirita diseminada.

4. ***Granodiorita porfirítica equigranular***.- Pre a sin mineral, de grano fino, se ubica en la zona este de Petaquilla. La presencia de aproximadamente 10% de cristales finos de hornblenda le da a esta roca una apariencia moteada, los fenocristales de feldespatos están presentes y son muy grandes. Esta fase se asemeja a la fase de grano fino en Botija.
5. ***Granodiorita porfirítica***.- Sin mineral; de grano medio con 2% a 5% de fenocristales de cuarzo euhedral, esta aflorando en gran parte del oeste del depósito principal y la zona suroeste.
6. ***Pórfido Feldespato-cuarzo-hornblenda a granodiorita porfirítica***.- Sin a mineral tardío; forma diques o sills de 30 m o mas de espesor en la parte oeste del depósito de Petaquilla. Caracterizado por la presencia de 10% de fenocristales de cuarzo euhedral. La alteración es débil, tiene minerales máficos y algunos feldespatos parcialmente reemplazados por epidota + clorita + calcita + pirita. Esta unidad tiene numerosas cavidades pequeñas, tal vez del resultado de lixiviación de carbonatos.
7. ***Diabasa***.- Sin a mineral tardío; consiste de la variante máfica similar a la descrita en el punto 6, la alteración y mineralización es también igual, pero con aproximadamente 50% de hornblenda primaria (alterada) y poco o no de cuarzo. Esta unidad raramente sobrepasa el metro de espesor y ocurre totalmente dentro de la unidad descrita en el punto 6.

8. ***Feldespato porfirítico***.- Sin a mineral tardío; unidad feldespática porfirítica que es de grano muy fino y color gris pálido a verde, con una matriz silicificada y con escasez de feldespatos. Esta unidad cruza y corta a la andesita y a la granodiorita. Puede contener cantidades trazas de pirita y calcopirita diseminada.
9. ***Andesita porfirítica***.- Sin tardío a post mineral; consiste de feldespato calco sódico y hornblenda de grano fino, tiene alteración propilítica. Los diques están cortados por venillas de calcita y zeolita, con presencia de cizallamiento. Dos generaciones de diques de andesita porfirítica están representadas en esta unidad; los diques carecen de mineralización de sulfuros pero al menos un dique de similar apariencia contiene cantidades traza de pirita y calcopirita finamente diseminada.
10. ***Diques porfiríticos feldespato – hornblenda***.- Post mineral; consiste de feldespato y fenocristales de hornblenda gris oscuro a verde oscuro en una matriz afanítica gris. Las rocas están inalteradas o con una ligera alteración propilítica, son diques masivos, no fracturados y no mineralizados. Los diques están cortados por venillas de calcita y zeolita. Esta unidad es la más común en el tercio occidental del depósito Petaquilla, los diques varían de 5 m a más de 15 m de espesor.
11. ***Andesita afanítica***.- Pos mineral; típicamente de 2 m o menos; color verde, se encuentra en todo el depósito Petaquilla, pero volumétricamente no es significativo, constituyendo menos de 0.5% de la masa rocosa y parece estar

localizada a lo largo de las fallas. Esta cortado por venillas de calcita y zeolita, esta unidad es la más común en el depósito de Botija.

12. **Diques de basalto.**- Post mineral; tienen espesores menores a 2 m, son de colores negros. Volumétricamente insignificante, constituyendo probablemente menos de 0.5% de la masa rocosa y parece estar a lo largo de las fallas. Estos diques tienen magnetita y son comunes en el depósito Botija.

❖ **Litología del depósito de Valle Grande**

En Valle Grande se tiene del más antiguo al más joven:

1. **Andesita.**- Roca más antigua, adyacente al contacto con la granodiorita, puede ser considerada incipientemente como un hornfels de biotita con fuerte sobre imposición propilítica. A cierta distancia del contacto con la granodiorita la textura del protolito se preserva, la andesita adyacente al contacto esta fuertemente brechada y cizallada.
2. **Granodiorita.**- Granodiorita porfirítica de grano medio, hospeda leyes altas de mineralización, contiene de 1-10% de fenocristales de cuarzo y aproximadamente 10% de hornblenda. La textura y mineralogía sugiere que probablemente esta granodiorita no es de la misma fase de la granodiorita que hospeda la mineralización en Botija o la zona principal del este de Petaquilla. La granodiorita de la zona noroeste esta fuertemente brechada y cizallada.
3. **Dique cuarzo-feldespato porfirítico.**- Dique porfirítico de cuarzo + feldespato +/- hornblenda, débilmente alterado y mineralizado que intruyó a la granodiorita,

es similar en naturaleza a los diques porfiríticos de la zona oeste de Petaquilla y a menudo contienen fragmentos de brecha de granodiorita mas antigua.

4. **Andesita Brecha**.- Clastos de andesita y matriz granodiorita, la matriz es de feldespato + hornblenda + cuarzo porfirítico. El espacio entre los clastos de andesita es pequeño, la matriz es de grano fino.

5. **Diques andesíticos post mineral** – Las rocas más jóvenes son verde oscuro, de textura afanítica. Son diques ligeramente porfiríticos con feldespato u hornblenda. Generalmente contienen solo un ensamble propilítico de grano fino de clorita y epidota. Estos diques pueden estar fuertemente brechados y cizallados con abundante venilleo de zeolita, calcita y brecha.



Foto 3: Granodiorita equigranular débilmente porfirítica verdoso blanco, 60% de feldespato, 10% de cuarzo, hornblenda alterándose a cloritas, Pirita diseminada 0.1%



Foto 4: Andesita Brecha, clastos de andesita en matriz granodiorítico porfirítico,
pirita – calcopirita diseminada y en parches 0.3%



Foto 5: Feldspato cuarzo porfirítico, blanco verdoso, plagioclasa 30 – 40%,
cuarzo 5 – 10%, horblenda alterado a clorita, silicificada



Foto 6: Andesita de textura afanítica, de grano muy fino, color verdoso, con micro venillas de carbonatos

Alteraciones

Se va a describir a continuación las alteraciones presentes en Petaquilla y Valle Grande:

❖ **Alteraciones en el depósito de Petaquilla**

En el depósito Petaquilla se presenta alteración progradada, retrogradada y de estadio tardío, que se presentan seguidamente:

i) Alteración Progradada

1. ***La alteración potásica débil*** esta controlada por fracturas y venillas, presente solo en las partes mas profundas del depósito y esta desarrollada intensamente en

la parte este del depósito. Esta acompañado por fuerte alteración sericítica, alguna veces con parches de alteración biotita y débil a moderada silicificación. En algunas áreas de la zona este, la alteración biotita, es dominante sobre la alteración feldespato potásico.

2. **La alteración filica** esta presente en gran parte del depósito de intensidad moderada a fuerte, con reemplazamiento total de feldespato por sericita y parcial a completo reemplazamiento de horblenda. La sericita es de color blanco a pálido gris o verde, excepto en la zona oeste, donde la sericita es de color verde-gris mas oscuro. El ensamble en la zona oeste del depósito es sericita + cuarzo + clorita + magnetita + calcita. En la zona este del depósito consiste de sericita + cuarzo + débil feldespato potásico.

3. **La alteración argílica** esta asociada localmente con zonas de falla, fractura y cavidades, donde las superficies de fractura y cavidades se han recubierto con arcilla blanca (caolinita).

4. **La alteración sílice – clorita** común en las partes exteriores del depósito, consiste de minerales máficos cloritizados y débil silicificación pervasiva, la zona oeste del depósito hospeda mineralización de bajo grado en este tipo de alteración. Es común en las partes exteriores del depósito.

5. **La alteración propilítica** está restringida en gran parte a unidades sin y postmineral y consiste de un ensamble de grano fino de clorita + epidota + magnetita + calcita + cuarzo.

6. **La alteración magnetita diseminada y venillas de cuarzo** esta generalizada en el depósito Petaquilla, zonas de magnetita diseminada cortan todos los tipos de alteración y litología pre o sin mineral. La magnetita diseminada acompaña la intensa sericitación y alteración feldespato potásico así como los valores altos de cobre presente. En este tipo de alteración se tiene valores altos de oro (>100 ppb). La ocurrencia de venillas de cuarzo-magnetita con calcopirita ocupa mayormente las posiciones laterales.

En la andesita la alteración progradada se manifiesta a lo largo del margen norte del depósito. En la zona de contacto de andesita y granodiorita se tiene hornfels de biotita (biotita +/- cuarzo +/- calcopirita), caracterizándose por agrupaciones redondeadas de biotita que le dan una textura moteada o manchada a la roca. En las áreas más distales a las intrusiones, se tiene la presencia de la alteración sílice - clorita y propilítica (clorita + epidota + calcita + pirita).

ii) Alteración Retrograda

La alteración retrograda esta presente en el oeste y suroeste del depósito Petaquilla, representada por:

1. **La alteración sericita** que alteró la granodiorita con débil alteración feldespato potásico.

2. *La alteración propilítica* se observa en la granodiorita como un ensamble epidota y clorita controlada por fracturas. La presencia de calcopirita y piritita sugeriría que están relacionadas a este ensamble.

En la andesita, la alteración retrograda se presenta con sericita relleno de fracturas acompañada con piritita o calcopirita, cruzada por venillas y fracturas con ensamble: epidota + clorita + calcita + piritita + magnetita + calcopirita.

iii) Alteración de estadio tardío

En el depósito Petaquilla la alteración extensa post mineral en los intrusivos y andesitas consiste de venillas de calcita, zeolita rosada a blanca y rara barita, localmente comprende como 10% de la masa rocosa. Algunas veces la anhidrita tardía y/o venillas de yeso, cortan los tipos de alteración, siendo menos común en Petaquilla que en Botija, con una distribución y una orientación más irregular.

❖ Alteraciones en el depósito de Valle Grande

En el depósito Valle Grande la alteración progradada, retrograda y de estadio tardío esta representada por:

i) Alteración Progradada

1. *La alteración sericítica* pervasiva (y/o caolín) en la granodiorita esta acompañado por sílice, débil feldespato potásico, débil a fuerte venillas de stockwork de cuarzo asociado con sericita + sílice + feldespato potásico.

2. **La alteración sílice – clorita** en la granodiorita ocurre en la zona principal de alteración sericítica, esta alteración es dominante lejos de la zona de alto grado de mineralización de cobre.

La alteración progradada en la andesita, se manifiesta en el contacto con la granodiorita, representada por débil hornfels de biotita, esta silicificada y sobreimpuesta por alteración magnetita + clorita + epidota + pirita + calcopirita y carbonatos tardíos + venillas de zeolita.

ii) Alteración Retrograda

La alteración retrograda está presente en la zona noroeste del depósito Valle Grande como una sobreimpresión sobre fracturas y venillas, representada por:

1. Venillas de clorita verde con calcopirita acompañado de brechas rellenadas con calcita y zeolita rosada (fase tardía). No está claro, si esta calcopirita es un mineral de estadio tardío asociado con la calcita y zeolita, o si está presente por mecanismos de removilización.

iii) Alteración de estadio tardío

En valle Grande se manifiesta la fase tardía localmente con brechas rellenadas con calcita y zeolita rosada.

Mineralización

Se va a describir a continuación la mineralización presente en Petaquilla y Valle Grande:

❖ Mineralización en el depósito de Petaquilla

En el depósito Petaquilla la mineralización se presenta:

i) Mineralización hipógena en andesita

La mineralización hipógena en andesita hospeda valores altos de cobre (pozo P9604). La presencia de fuerte hornfels de biotita, débil silicificación y fuerte fracturamiento son las condiciones favorables para la mineralización. La pirita y calcopirita se presenta diseminada y en venillas, en rocas altamente fracturadas y fuerte hornfels. Las venillas de cuarzo no son comunes, pero esporádicamente esta presente y contiene algunas veces calcopirita y/o magnetita, también esta presente la molibdenita en venillas así como vetillas de cuarzo vuggy.

La andesita inmediatamente adyacente a los diques granodioríticos mineralizados de cobre presenta mucha calcopirita. Lejos del contacto, la calcopirita es reemplazada gradualmente por pirita. Este cambio gradual de calcopirita a pirita parece estar acompañado con un incremento en epidota y alteración magnetita. Un alto grado de mineralización ocurre a lo largo del contacto granodiorita - andesita en la zona este del depósito.

ii) Mineralización hipógena en granodiorita

Los pulsos de mineralización se manifiestan desde el más temprano al más tardío de la siguiente manera:

- Calcopirita asociada con venillas de cuarzo; localizada en áreas medias o márgenes (poco común).
- Calcopirita asociada con cuarzo + venillas de magnetita, principalmente restringida a las áreas oeste y suroeste del depósito.
- Calcopirita + molibdenita (menor) +/- trazas de bornita asociada con stockwork de cuarzo; calcopirita solo en venillas y fracturas.
- Calcopirita + molibdenita (significante) asociada con vuggy o drusa, fracturas y venillas.
- Cuarzo tardío + venillas de molibdenita (poco común).
- Calcopirita + pirita + epidota + calcita + clorita +/- vetillas de cuarzo y fracturas (en las áreas oeste y suroeste).

La mineralización de calcopirita diseminada esta asociada principalmente con las fases tempranas de mineralización y frecuentemente es de grano muy fino. Múltiples eventos intrusivos y múltiples eventos de mineralización sugieren algunas zonas reportadas de un solo pozo por la presencia de pirita>calcopirita, calcopirita>pirita y calcopirita + bornita.

iii) Mineralización en diques porfiríticos

Mineralización diseminada también esta presente en los diques porfiríticos cuarzo-feldespató tardío. La presencia de molibdenita diseminada en una buena proporción, el tamaño de grano grueso y la asociación con ensamble propilítico son características que distinguen de la fase más temprana de mineralización diseminada.

iv) Mineralización supérgena

La mineralización supérgena no esta bien desarrollada en Petaquilla. Cantidades trazas de granos muy finos de calcocita, malaquita o rara vez cobre nativo esta presente principalmente rellenando fracturas. Los reportes de los pozos manifiestan que cerca a la superficie se encuentra alto grado de mineralización hipógena.



Foto 7: mineralización de cobre en el depósito Petaquilla

❖ **Mineralización en el depósito de Valle Grande**

i) Mineralización hipógena en andesita

La mineralización hipógena en andesita esta controlada principalmente por venillas y fracturas con valores de menor ley que en el intrusivo hospedante. La mineralización ocurre con ensamble propilítico de epidota, clorita, pirita y magnetita. La mineralización en la brecha andesítica, específicamente las zonas con valores altos de calcopirita esta en la matriz.

ii) Mineralización hipógena en granodiorita

La mineralización hipógena en granodiorita es de grano fino, diseminada, en fracturas, venillas y stockwork de cuarzo asociado con la alteración fílica hospedando calcopirita así como trazas de molibdenita, bornita. Valores altos de mineralización parecen correlacionarse con la alteración sílice – sericita y venilleo de stockwork de cuarzo. Los valores bajos de mineralización se encuentran en granodiorita alterada a sílice-clorita y en cuarzo feldespató porfirítico. El zoneamiento de calcopirita, pirita o bornita no es muy obvio y que podría ser debido a la intensa interrupción estructural post mineral.

iii) Mineralización supérgena

La mineralización supérgena consiste de calcocita local y escaso cobre nativo en fracturas y fina diseminación en roca fuertemente alterada con arcillas (saproilita) cercana a la base de la zona oxidada. Los valores de cobre pueden

exceder localmente al 2% en esta zona. Esta zona no sobrepasa más que algunos metros de espesor, no estando muy desarrollada en el depósito.

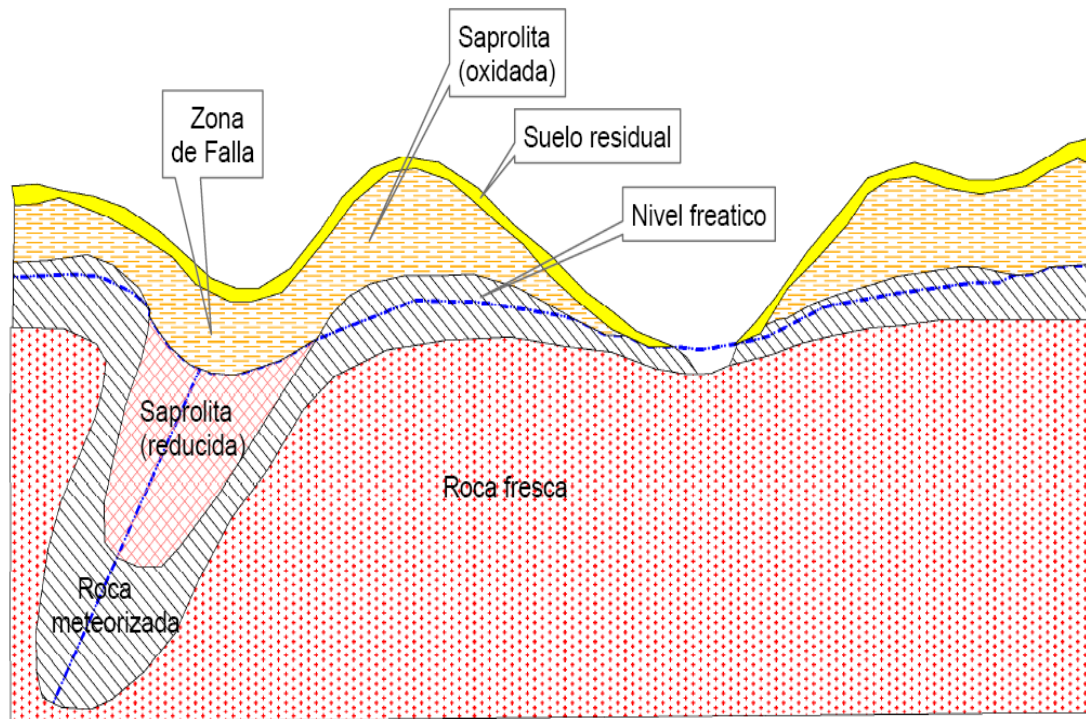


Figura 5: Esquema idealizado

Geología Estructural

Se va a describir a continuación la geología estructural en Petaquilla y Valle Grande:

❖ Depósito Petaquilla

Los reportes de mapeo geológico muestran las zonas oeste, este y suroeste.

En la zona oeste, los plutones en conjunto presenta forma tabular, de tendencia

oeste – noroeste, la zona mineralizada con inclinación norte-noreste. La zona este, muestra muchos diques extensos, el más extenso es de tendencia noreste e inclinación moderadamente al noroeste. La zona suroeste presenta un cuerpo intrusivo elongado al oeste-noroeste que se inclina al norte, noreste y oeste.

En el área del depósito Petaquilla, de acuerdo al mapeo en detalle y perforaciones se muestra un dominio estructural con tendencia nor-noreste, buzando de bajo a moderado ángulo al oeste-noroeste e impuesta sobre un tren estructural oeste-noroeste, buzando al norte-noreste (figura 5). El tren noreste se evidencia con la distribución de extensos diques granodioríticos intruyendo a la andesita a lo largo de la parte norte del depósito.

En los núcleos de perforación, las fallas se reconocen por amplias zonas de decoloración y fuerte alteración sericita y/o alteración arcillosa, zona de cizalla y cuarzo brecha cementado de calcita.

❖ **Depósito Valle Grande**

En los mapeos realizados por B. Bond (Adrian) y S. Faure (Inmet) se menciona que hay una tendencia estructural temprana al noroeste, manifestada por venillas y algunas fallas y otro tren estructural tardío al noreste manifestado por

fallas y fracturas. La geología estructural falta esclarecer, ya que hay una gran cantidad de intrusivos, de brechas hidrotermales y amplias áreas de intenso cizallamiento, brechas y venillas de carbonato – zeolita. El truncamiento abrupto de mineralización de alto grado en el noreste se explica por la presencia de una tendencia oeste-noroeste.

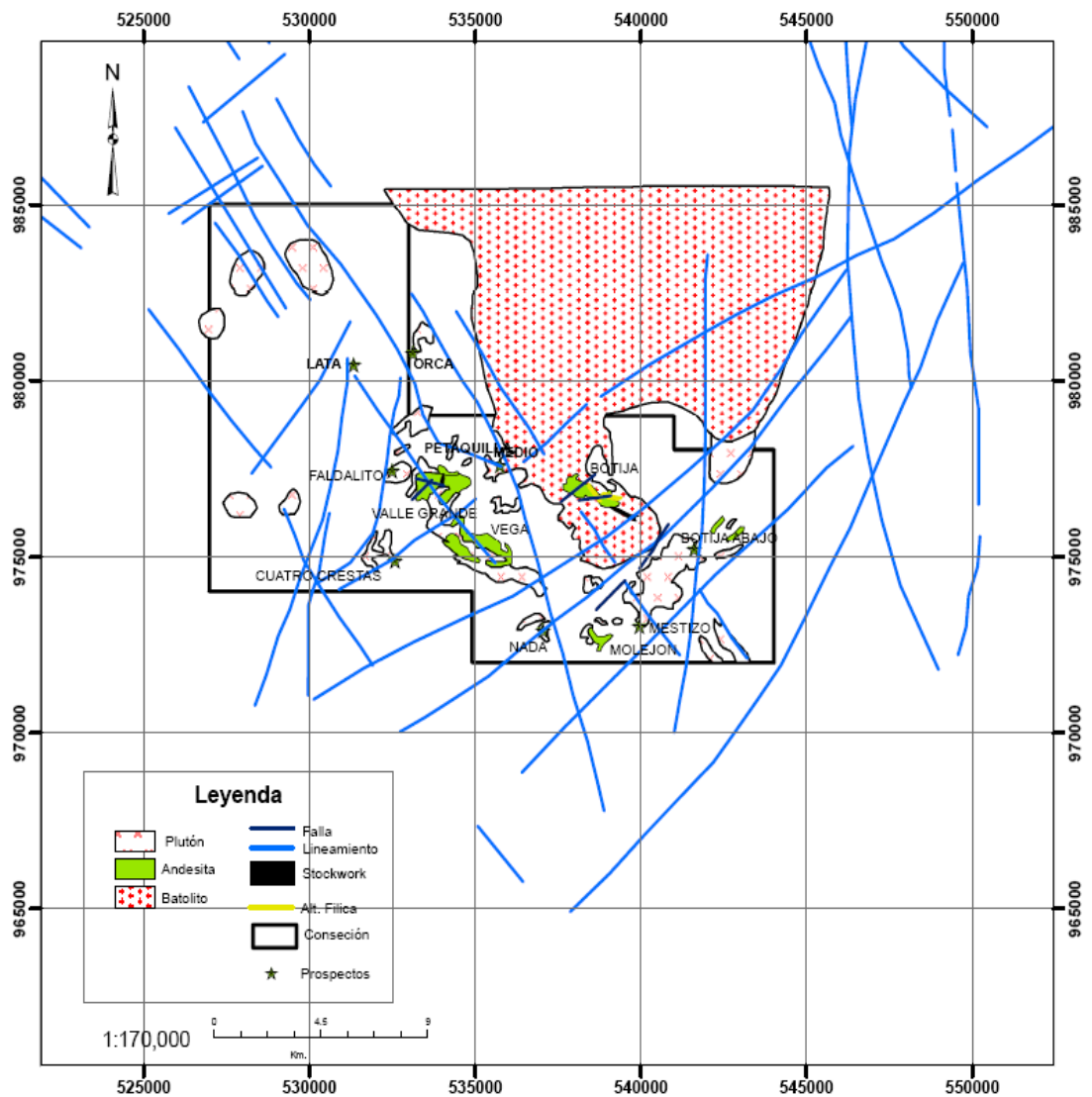


Figura 6: Plano geológico estructural del proyecto Petaquilla

CAPITULO III: GEOLOGIA LOCAL DEL DEPOSITO BOTIJA

A continuación se va a realizar la descripción del depósito Botija, depósito en la que suscribe tuvo participación durante el desarrollo de la primera campaña de perforación realizada en el 2008 por Teck Cominco e Inmmet Mining Corporation.

3.1 Litología

a. Andesita

La andesita ocurre a lo largo de la frontera noreste del depósito y se presenta también como techo colgante (roof pendant) en la zona central. La andesita es generalmente verde oscuro a gris oscuro y va de masivo a grano fino con débil

feldespato y/o hornblenda porfirítica. La alteración y brechación oscurece la textura original de la roca.

b. Granodiorita

Thompson (1996) indica que las rocas en general están en el rango de diorita a granodiorita, con tres o más fases de intrusivos en Botija que incluye a:

- ✓ Intrusivo de textura equigranular de grano grueso a medio
- ✓ Intrusivo de textura equigranular de grano fino
- ✓ Intrusivo de textura porfirítica

El depósito Botija comprende aproximadamente un 60% a 70% de roca granodiorita equigranular de grano medio a grueso, según reportes petrográficos la composición es de 50% a 60% de plagioclasa, 20 a 30% de cuarzo, 5% a 12% de feldespato potásico y 5% - 15% de hornblenda, titanita, magnetita, biotita y apatito como minerales accesorios comunes.

La fase de grano fino se encuentra en la zona oeste, central y sureste, el que comprende el 20% a 30% en esas áreas. La presencia de hornblenda de grano fino (aproximadamente 10%) da una apariencia moteada. La textura es oscurecida por la intensa alteración en el centro de la zona oeste. Esta fase parece estar relacionada a la mineralización en el depósito Botija.



Foto 8: Granodiorita porfirítica de feldespato + hornblenda +/- cuarzo

La granodiorita porfirítica de feldespato + hornblenda +/- cuarzo aparentemente comprende menos del 10% en el área de Botija. Los reportes de varios pozos registran una zona no mineralizada que aparentemente podría ser tardía o post mineral; en los logueos se registraron como dique porfirítico de feldespato (FPD), presentándose en el pozo B07021 valores muy puntuales de 0.1 a 0.2 % de Cu en este tipo de roca.

c. Andesita post mineral y diques basálticos

Diques andesíticos menores a 2 m de color verde gris oscuro, textura afanítica con feldespato porfirítico, están cortados por venillas de calcita y zeolita. Comprende probablemente menos de 0.5% de la masa de roca y parece estar localizados a lo largo de fallas.

Los diques basálticos menores a 2 m, de color negro con finos feldespatos porfiríticos, ubicado totalmente en el depósito de Botija, comprende menos que 0.5% de la masa rocosa y parece también estar localizado a lo largo de fallas. Estos diques de basalto tienden a ser fuertemente magnéticos, presentando algunas veces un alineamiento bien desarrollado de amigdaloides.

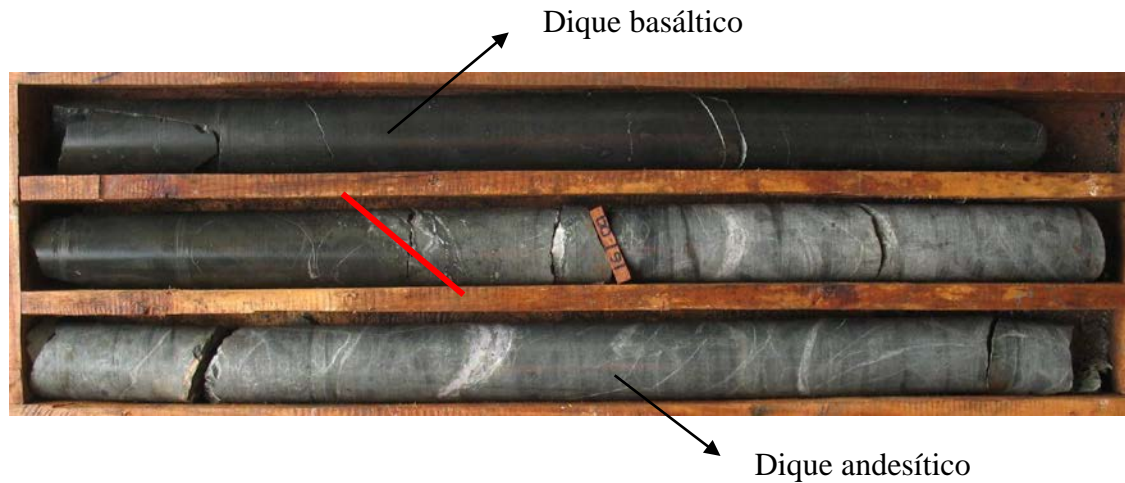


Foto 9: Dique basáltico en contacto con andesita

3.2 Alteración

El depósito de Botija posee zoneamiento de alteración lateral y vertical. En términos generales se reconocen tres eventos definidos: progrado, retrogrado y estadio tardío (post mineral).

3.2.1 Evento Progrado

Alteración Potásica, caracterizada por el ensamble feldespato potásico + biotita + sílice + clorita. El rango de alteración es de débil a muy fuerte. La alteración es de reemplazamiento parcial a completa de hornblenda primaria por biotita y/o clorita, acompañada por débil a fuerte silicificación y alteración fílica.

Alteración Fílica, con ensamble sericita + pirita + cuarzo + clorita varía de fuerte (completo reemplazamiento de hornblenda y plagioclasa por sericita o

moscovita) a débil (parcial reemplazamiento de minerales máficos por finos granos de sericita y/o clorita y parcial reemplazamiento de plagioclasa por muy finos granos de sericita). La alteración fílica esta generalizada y se encuentra dentro y por encima de la zona de alteración potásica, localizada a lo largo de las zonas de falla. Acompañada algunas veces por débil a fuerte silicificación.

Alteración sílice-clorita, con ensamble clorita + sílice + pirita +/-sericita, es usualmente periférica a la zona de alteración fílica. Los minerales máficos están alterados a clorita+/- pirita +/- sericita y plagioclasa que puede estar débilmente sericitizada. Generalmente esta acompañada por débil silicificación pervasiva.

Alteración magnetita, granos finos de magnetita diseminada de origen primario y secundario, se encuentra presente a lo largo de los márgenes del depósito en rocas de bajos valores de mineral. La alteración generalmente esta ausente en las áreas de intenso feldespatos potásico + sericita con valores altos de cobre.

Alteración en andesita, la alteración en la andesita consiste de un ensamble propilítico pervasivo de clorita+epidota+pirita+calcita. Adyacente al intrusivo el ensamble propilítico es reemplazado por hornfels de

biotita+sílice, siendo la biotita relativamente de grano grueso observándose como manchas en la andesita. La biotita hornfels puede estar acompañada por significativa mineralización de calcopirita diseminada.

3.2.2 Evento Retrogrado

Este evento representa la alteración de baja temperatura (en fracturas, fallas), particularmente presente alrededor de los márgenes del depósito. Probablemente representa cambios en los patrones de flujo de fluidos y/o estadios tardío del sistema hidrotermal. La mineralización de calcopirita está asociada con la alteración retrograda, aunque la pirita es el sulfuro mineral predominante asociado con este estadio. La alteración retrograda en la granodiorita consiste de:

Alteración sericita, zonas de arcilla a lo largo de fallas y fracturas así como un control local de alteración propilítica (clorita + epidota + pirita + calcita).

Alteración en andesita, la alteración fílica alrededor de alguna fractura adyacente a la intrusión representada por finos granos de sericita o arcilla, gradada a un ensamble de alteración propilítica a distancias mayores. La alteración propilítica está hospedada en fracturas y cruza a la alteración fílica.

3.2.3 Estadio tardío de alteración

Su ocurrencia es extensa y post mineral en el intrusivo y andesita, consiste de venillas de calcita, zeolita rosada y raramente barita, la cloritización de

minerales máficos algunas veces acompaña este ensamble. Toda la roca y tipo de alteración están cortados por venillas de anhidrita y/o yeso. Las venillas tienen a menudo casi una orientación vertical y son ortogonales a las venillas más grandes, que son generalmente subhorizontales.

En los taladros logueados que se presentan en las figuras 11, 12, 13, 14, 15, 16, 17 y 18, se observa superposición entre zonas:

- ▲ potásica - fílica
- ▲ sílice – clorita,
- ▲ potásica acompañado por silicificación moderada a fuerte,
- ▲ potásica-clorita,
- ▲ potásica-argílica,
- ▲ potásica - propilítica,
- ▲ fílica acompañado por débil a fuerte silicificación
- ▲ clorítica - argílica,
- ▲ propilítica - argílica,
- ▲ propilítica acompañado por débil a fuerte silicificación,
- ▲ carbonatos superponiéndose a zonas con alteración clorítica, propilítica, argílica, silicificación, potásica – argílica, potásica – clorítica.

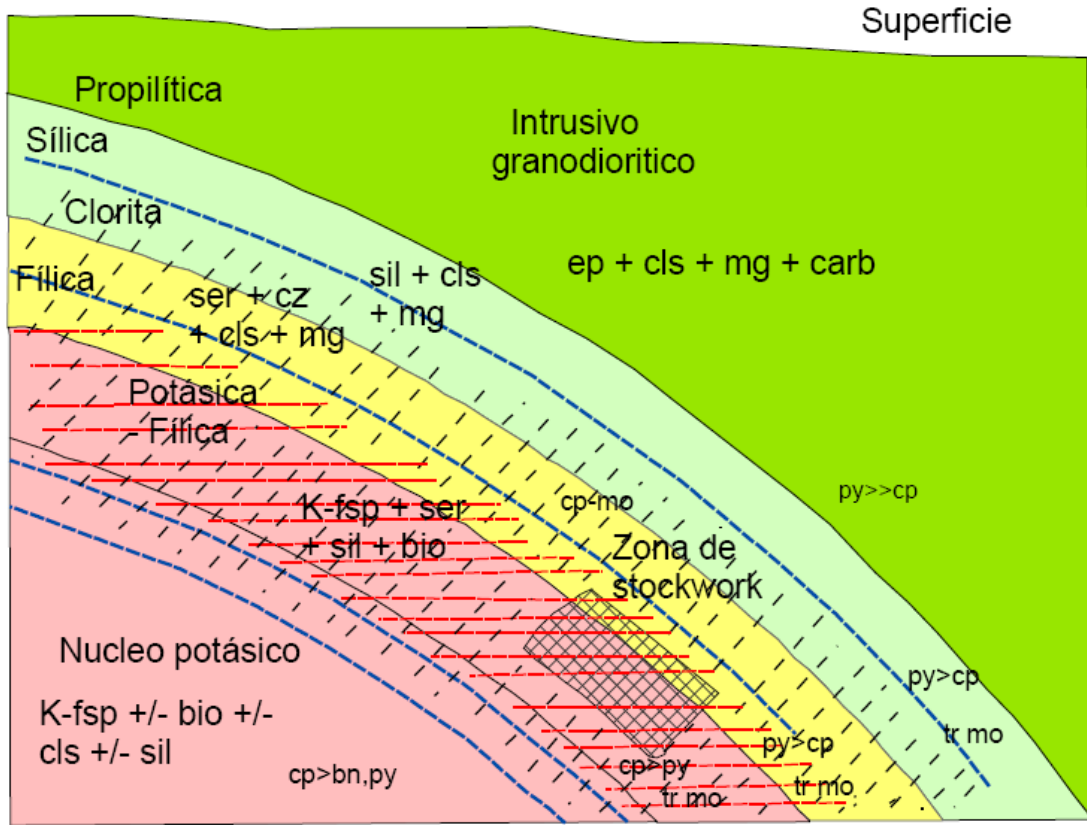


Figura 7: Zonas de alteración idealizado en la granodiorita del depósito Botija

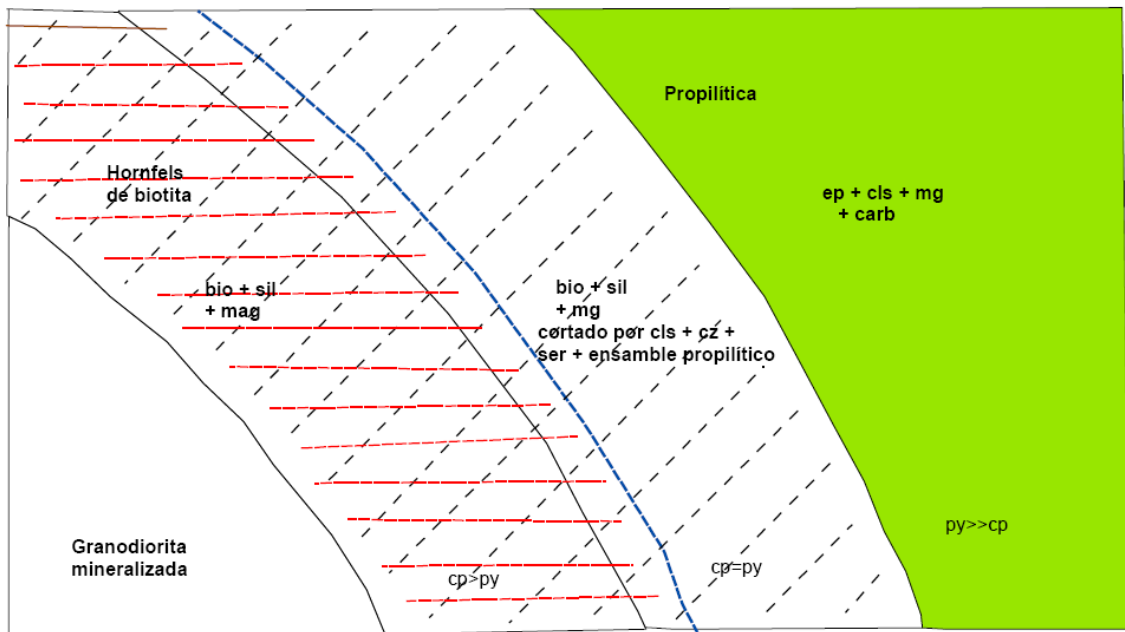


Figura 8: Zonas de alteración idealizado en la andesita del depósito Botija

Valores altos de Cu  Valores bajos de Cu 

3.3 Mineralización

3.3.1 Mineralización hipógena en andesita

La mineralización consiste principalmente de calcopirita relleno de vetillas y fracturas, la mineralización diseminada es escasa, esta asociada con la roca hornfels de biotita adyacente a cuerpos granodioríticos. La pirita en menor cantidad esta asociada con este episodio. Hay una serie de vetillas y fracturas con borde alterado que contienen calcopirita, molibdenita y pirita. Estas vetillas y fracturas contienen ensamble de epidota, clorita, calcita, cuarzo, pirita + calcopirita.

3.3.2 Mineralización hipógena en granodiorita

La mineralización es diseminada, relleno de fracturas, en vetillas y stockwork de cuarzo hospedando a calcopirita con menos bornita y molibdenita. El estadio de mineralización más temprano es de grano grueso de calcopirita diseminada, la bornita esta presente en cantidades trazas y se presenta mas en motas o parches, la molibdenita ocurre raramente como diseminaciones en cantidades trazas.

La mineralización diseminada es mas fuerte en las rocas alteradas con ensamble de alteración potásica - fílica + sílice y continua una zonación incipiente de calcopirita + traza de bornita cercana a la base de la zona mineralizada. La pirita en la zonas de alteración sílice-clorita, fílica y parte marginal del depósito.

Las venillas de calcopirita temprana ocurren a escala centimétrica en stockwork de cuarzo con trazas de molibdenita. Estas venillas son probablemente contemporáneas con la mineralización diseminada. La mineralización de stockwork de cuarzo esta atravesada por fractura y vetillas conteniendo calcopirita y molibdenita, vetillas de cuarzo vuggy atraviesan también estos stockwork y contienen solamente molibdenita.

3.3.3 Mineralización Supérgena

La mineralización supérgena no esta bien desarrollada en Botija. presenta trazas de grano fino de calcocita, malaquita y escasamente cobre nativo relleno de fracturas.



Foto 10: Testigo de perforación con ensamble calcopirita – bornita



Foto 11: Testigo de perforación con venillas de stockwork de cuarzo

3.4 Geología Estructural

Un tren estructural temprano con dirección oeste-noroeste controla la intrusión en Botija. El sistema de falla B con moderado buzamiento al noreste, limitando al lado sureste del depósito sigue el tren estructural temprano. Parece ser una falla normal activa en el episodio de mineralización, ya que la mineralización mayormente esta presente en la pared de la falla B. El conjunto de fallas del tren noreste es posterior a las fallas del tren noroeste.

La falla del río Botija es la estructura más importante que corta el depósito Botija, siguiendo el río Botija. Esta falla es una estructura de arco con una tendencia este - noreste al oeste del campamento Botija; la tendencia este-oeste en la vecindad del campamento y la tendencia este-sureste al este del campamento. La falla del río Botija es una estructura ancha con 55° de buzamiento al norte. Esta zona esta caracterizada por la presencia de cizalla (milonita); zona de arcilla de color blanco y/o sericita que altera la granodiorita, así como la presencia de cuarzo y brecha recementada de calcita. Esta falla así como otras fallas extensas estan localmente intruídas por diques de andesita o basalto tardío y estéril. La falla del río Botija en parte limita la mineralización a lo largo del margen sur del depósito.

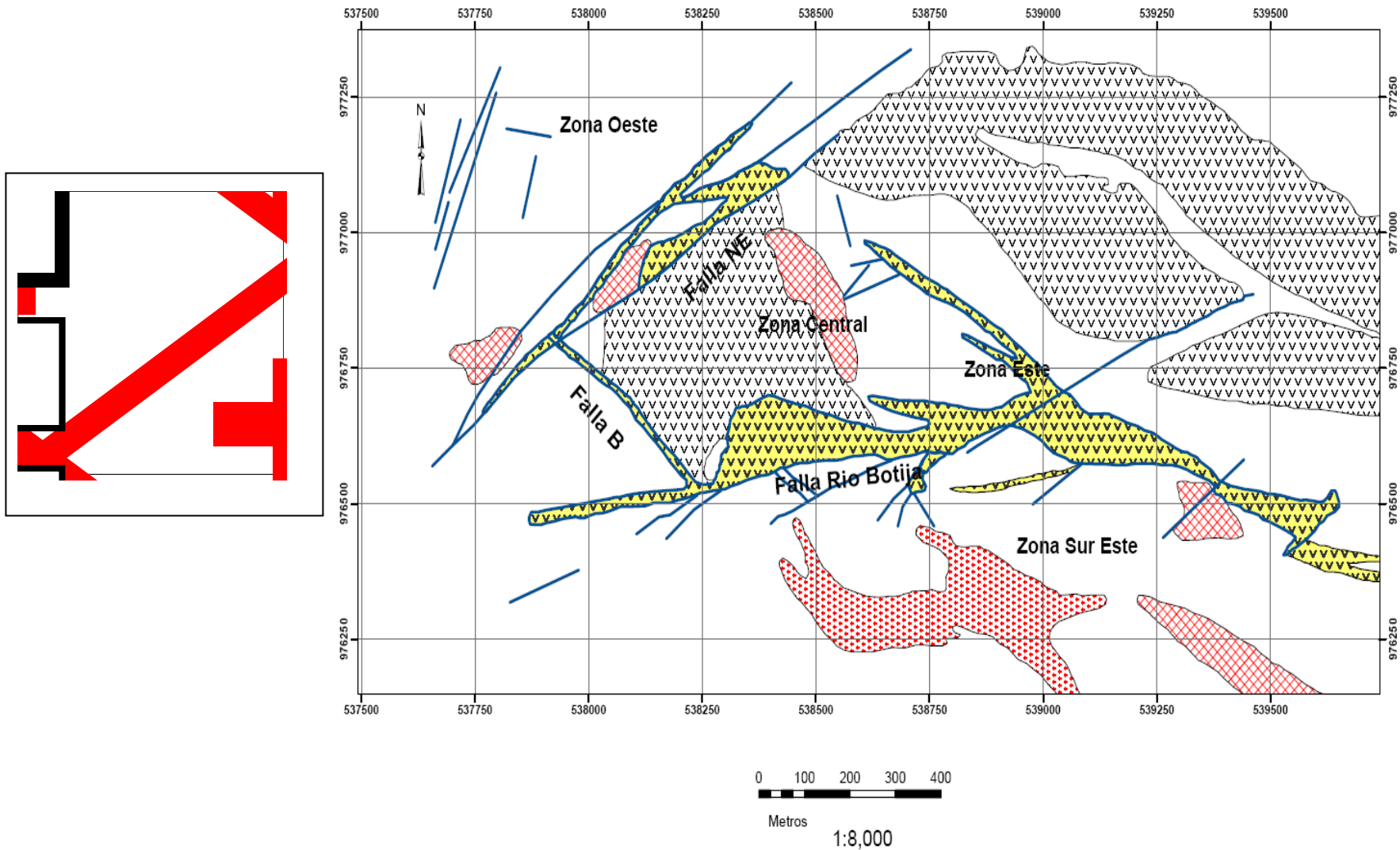


Figura 9: Plano geológico estructural del depósito Botija

CAPITULO IV

LOGUEO DE PERFORACIÓN DIAMANTINA

INTRODUCCION

Se desarrolló un programa intensivo de perforación que empezó en septiembre del 2007, priorizando en la primera campaña al depósito Botija con 43 taladros; así como un trabajo preliminar de la segunda campaña con 02 taladros en el depósito Valle Grande y 14 taladros en Petaquilla hasta diciembre del 2008 totalizando 14133.55 m en el depósito Botija, 4080.50 en el depósito Petaquilla y 312.66 m en el depósito valle Grande; trabajos que continúan hasta la fecha de hoy. Las muestras de los programas de perforación 2007 – 2008 fueron pulverizadas previamente en el laboratorio del proyecto, luego llevadas hacia el laboratorio CHEMEX ALS del Perú para su análisis. El muestreo se realizó en intervalos de 1.5 m como máximo y 0.5 m como mínimo en caso de

estructuras importantes. Por cada 10 muestras se colocó aleatoriamente 5 estándares, dos duplicados y 1 blanco grueso.

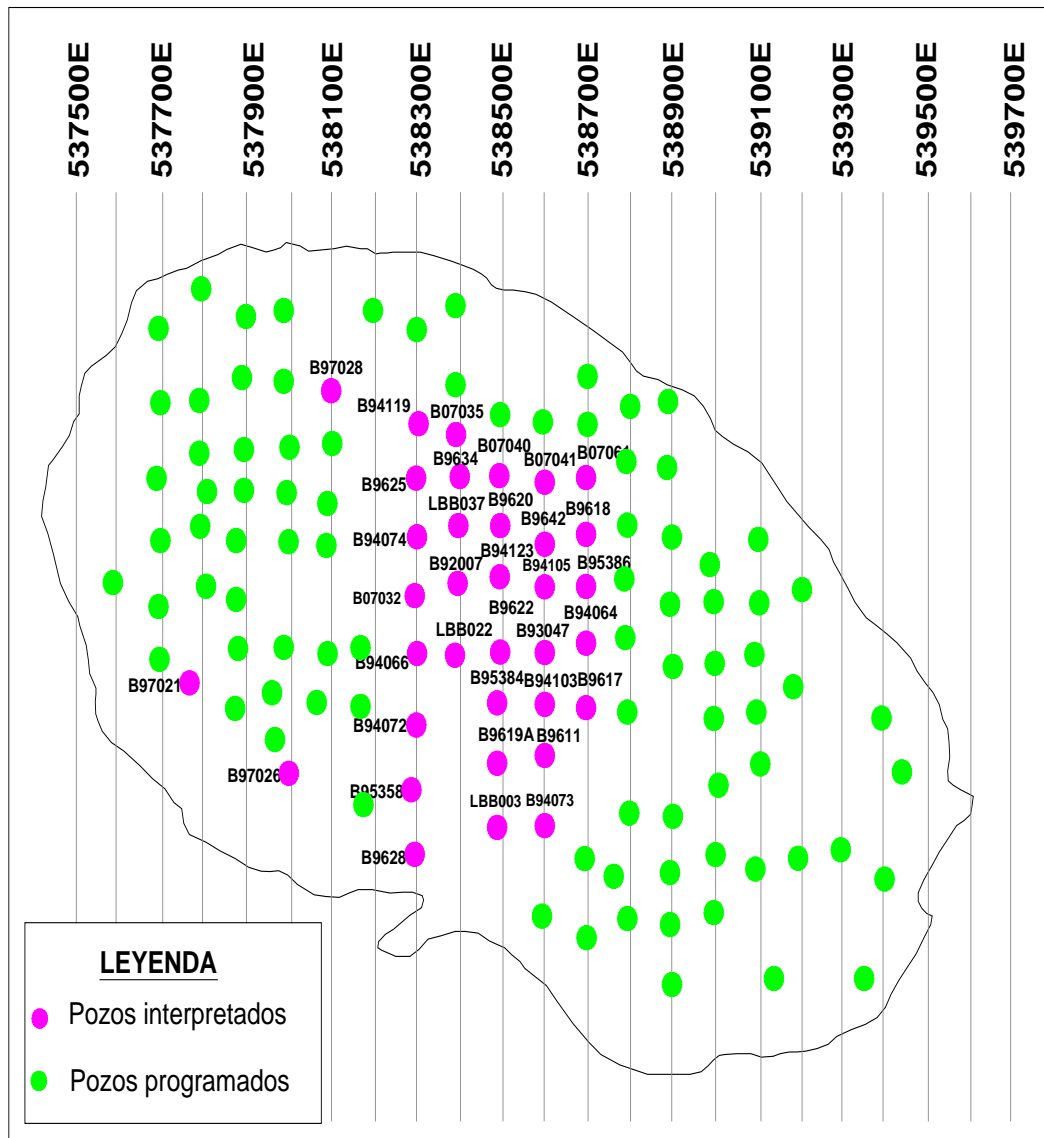


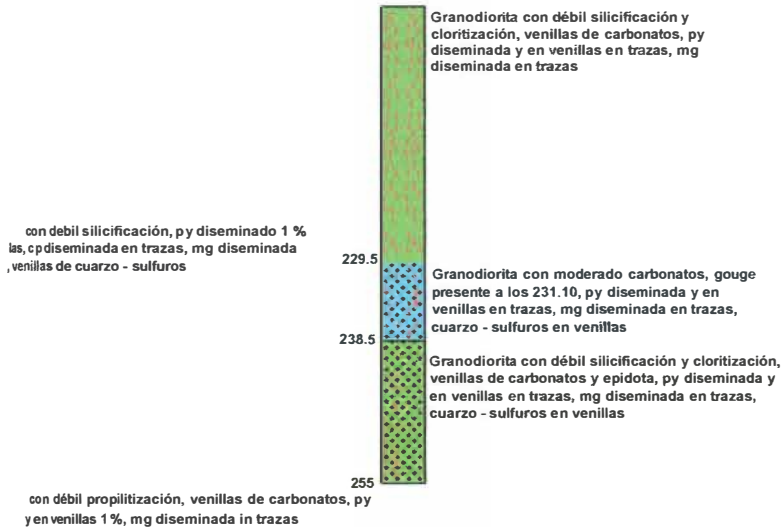
Figura 10: Plano mostrando los pozos de perforación usados para la interpretación geológica

4.1 Logueo de 08 pozos de perforación

En el siguiente cuadro se presenta la codificación de los pozos con sus respectivas coordenadas de ubicación, elevación, orientación y profundidad:

Código - Pozo	Este	Norte	Elevación	Azimut	Buzamiento	Profundidad
B07021	537785	976831	150.244	180	-90	255
B07026	537997	976625	136.624	180	-90	259
B07028	538094	977329	159.897	0	-90	508.7
B07032	538999	976267	131.371	180	-90	522
B07035	538389	977214	160.87	0	-80	551.6
B07040	538482	977203	192.045	0	-90	567
B07041	538611	977131	146.775	0	-80	416.6
B07061	539273	976621	91.545	0	-90	262.5

Los gráficos siguientes detallan el logueo de los 08 pozos mencionados en el cuadro anterior.



LITOLOGIA		LEYENDA ALTERACION					
	Saprolitas		Carbonatos		Potásica + Chloritización		Propilitica + Silicificación
	Feldespato Pórfido dique (FPD)		Chloritización		Silicificación + Potásica		Silicificación + Chloritización
	Granodiorita (GRD)		Propilitica		Carbonatos + Silicificación		
	Venillas de carbonatos		Silicificación		Silicificación + Carbonatos		
	Venillas de cuarzo - sulfuros		Potásica		Chloritización + Carbonatos		

Figura 11: Descripción de logueo, depósito Botija - pozo B07021

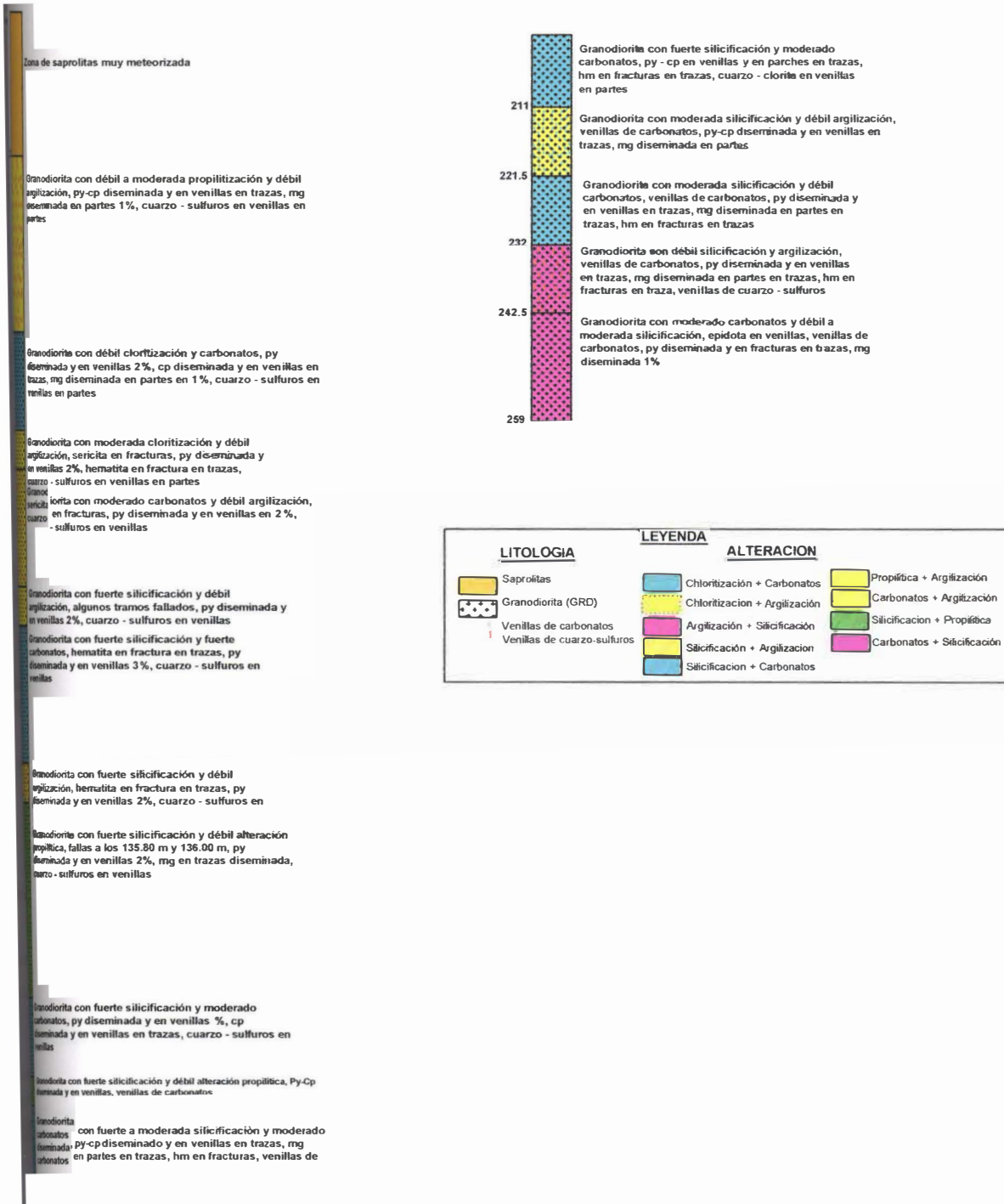


Figura 12: Descripción de logueo, depósito Botija - pozo B07026

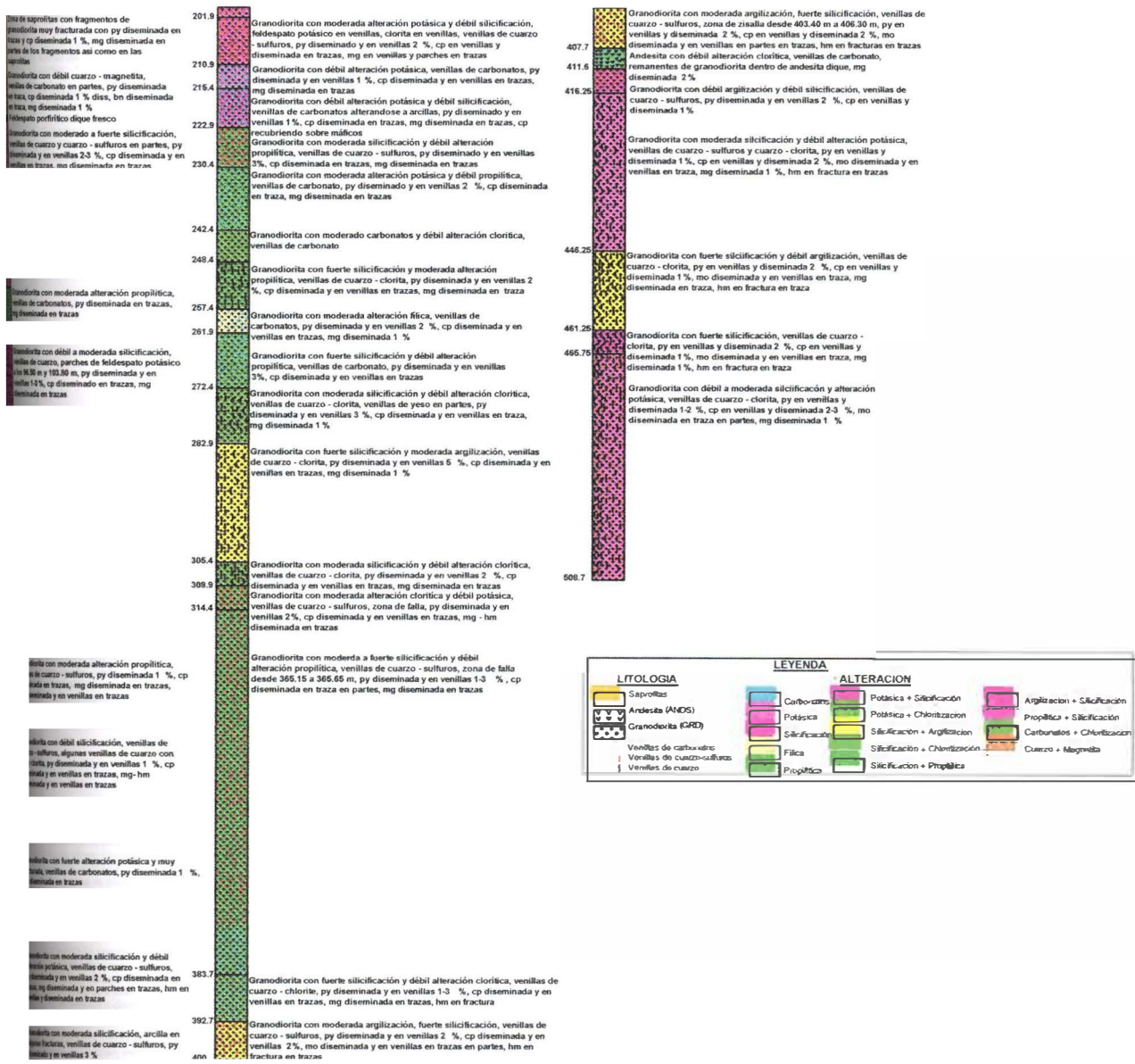


Figura 13: Descripción de logueo, depósito Botija - pozo B07028

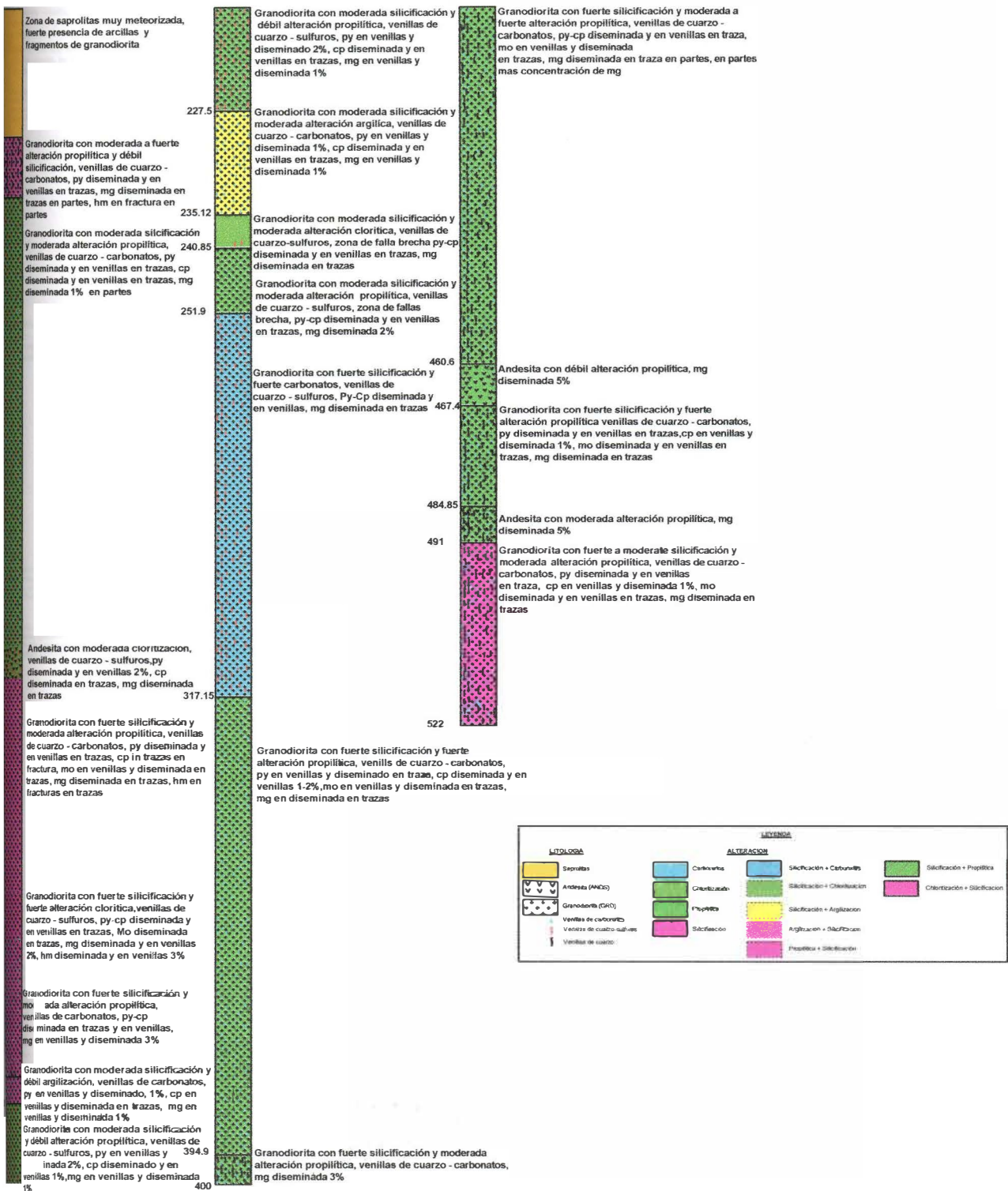


Figura 14: Descripción de logueo, depósito Botija - pozo B07032

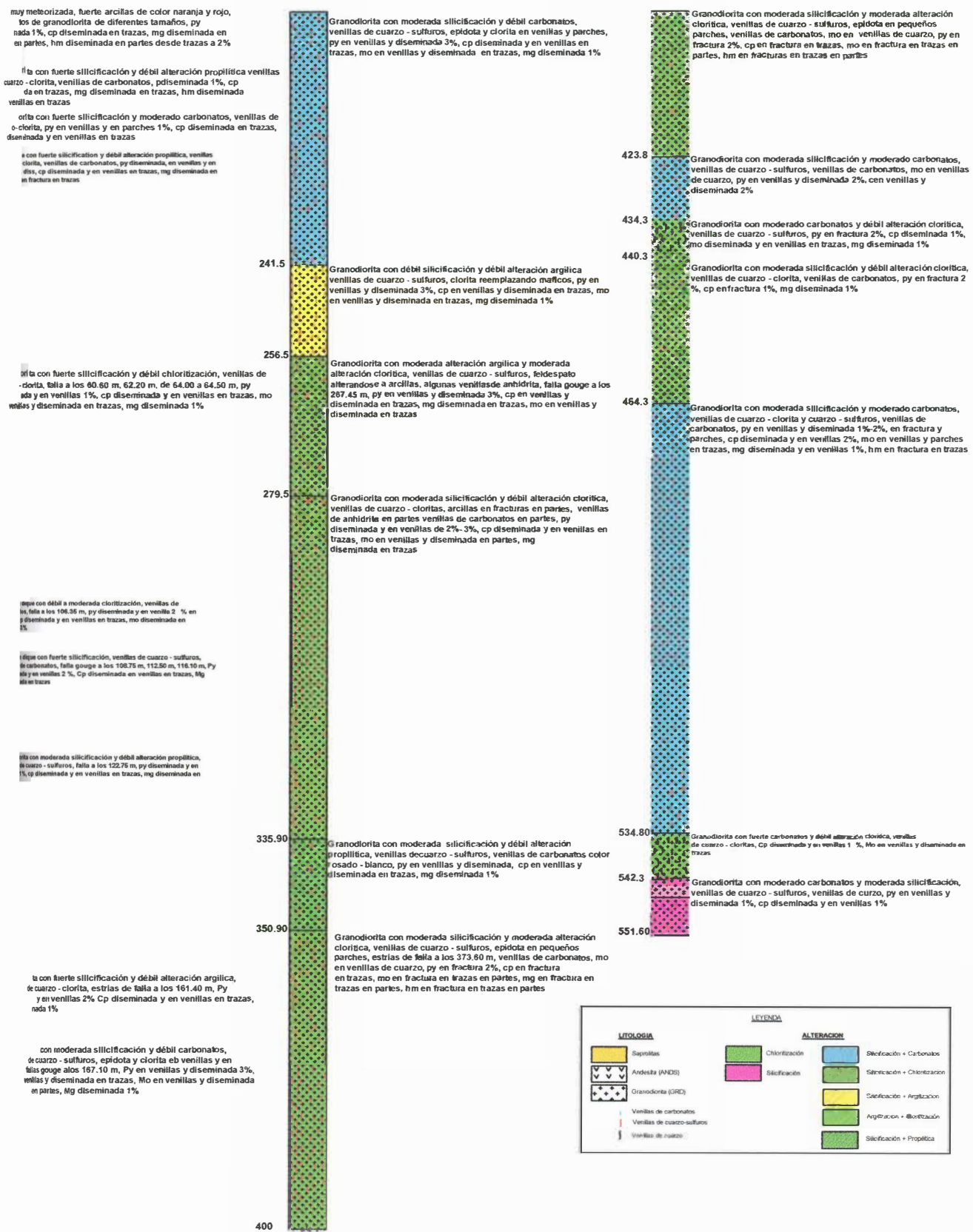


Figura 15: Descripción de logueo, depósito Botija - pozo B07035

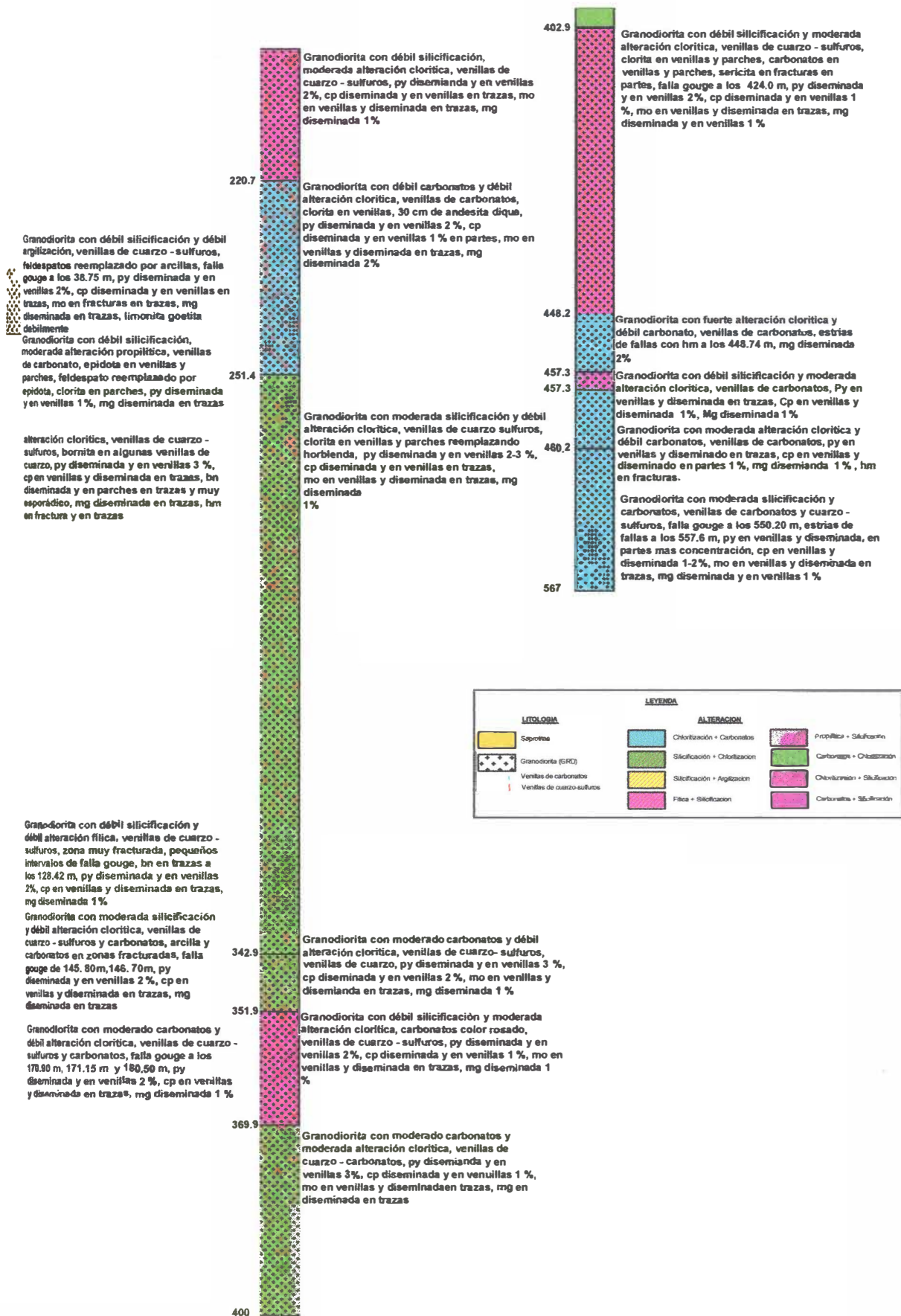


Figura 16: Descripción de logueo, depósito Botija - pozo B07040

Jasa de saprolita de color amarillado y rojo, py diseminada en trazas, cp - mg diseminada en trazas en partes, hm diseminada en trazas, Ancoita-gomita félsica en partes

Granodiorita con moderada alteración potásica y débil alteración propilitica, venillas de cuarzo - sulfuros, clorita en venillas y reemplazando máficos, py diseminada y en venillas 3 %, cp diseminada y en venillas 1 %, mg diseminada 1 %, hm en fractura en trazas

Granodiorita con débil silicificación y débil carbonatos, venillas de cuarzo - sulfuros, py en venillas y diseminada 2 %, mg diseminada en trazas

Andesita con moderada alteración propilitica, venillas de cuarzo - sulfuros y carbonatos, py diseminada y en venillas 2 %, cp diseminada y en venillas en trazas, mg diseminada y en venillas 1 %

Granodiorita con moderada silicificación y débil alteración clorítica, venillas de cuarzo - sulfuros, clorita en venillas y reemplazando máficos, py diseminada y en venillas 2 %, cp diseminada y en venillas 3 %, mg diseminada 1 %

Andesita con moderada alteración propilitica, venillas de cuarzo - sulfuros y carbonatos, carbonatos en parches también, fallas gouge a los 58.8 m, zona de cizalla desde los 66.10 m a 68.80 m, py diseminada y en venillas 2 %, cp diseminada y en venillas en trazas, mo en venillas y diseminada en trazas, mg diseminada y en parches 2 %

Granodiorita con moderada alteración potásica y débil argilización, muy fracturada, pequeños intervalos de falla gouge venillas de cuarzo - sulfuros, clorita en venillas y reemplazando máficos, py diseminada 3 %, cp diseminada y en venillas en trazas, mo en venillas y diseminados en trazas, mg diseminada 1 %

Granodiorita con moderada silicificación y débil alteración propilitica, venillas de cuarzo - sulfuros, clorita en venillas, py diseminada y en venillas 2 %, cp diseminada y en venillas en trazas, mo diseminada en trazas y en venillas en trazas, mg diseminada 1 %

Granodiorita con débil silicificación y fuerte alteración potásica, venillas de carbonatos, py diseminada y en venillas 2 %, cp diseminada y en venillas en trazas, mg diseminada 2 %

Andesita con fuerte silicificación y débil alteración propilitica, venillas de carbonatos, epidota en venillas y parches, py diseminada y en venillas 2 %, cp diseminada y en venillas en trazas, mo en venillas y diseminada en trazas en partes, mg diseminada y en parches 2 %

Granodiorita con fuerte alteración potásica y moderada argilización, venillas de carbonatos, máficos alterandose a cloritas, falla gouge a los 267.70 m, py diseminada y en venillas 2 %, cp diseminada y en venillas en trazas, mg diseminada 1 %

Andesita con débil silicificación y débil alteración clorítica, venillas de carbonatos, brechada desde los 71.1 m a 78.8 m, falla desde los 79.55 m a 82.90 m, py diseminada y en venillas 1 %, cp diseminada y en venillas en trazas, mg diseminada 1 %

Granodiorita con fuerte alteración potásica y débil alteración clorítica, venillas de carbonatos, feldspato alterandose a arcillas, py diseminada y en venillas 1 %, cp diseminada y en venillas en trazas, mg diseminada 1 %

Granodiorita con moderada alteración potásica y débil argilización, venillas de cuarzo - sulfuros, falla a los 17.70 m, py diseminada y en venillas 2 %, cp diseminada y en venillas en trazas, mo in venillas y diseminada en trazas, mg diseminada 1 %, hm en venillas y diseminada 1 % en partes

Granodiorita con débil silicificación, fuerte alteración potásica, venillas de cuarzo - sulfuros, py en venillas y diseminada 2 %, cp diseminada y en venillas en trazas, mg diseminada 1 %

Granodiorita con moderada alteración potásica y débil alteración clorítica, venillas de cuarzo - clorita, py diseminada y en venillas 1 %, cp diseminada y en venillas en trazas, mo en venillas y diseminada en trazas, mg diseminada en trazas en partes

Andesita dique con débil alteración clorítica, venillas de carbonatos, mg diseminada en trazas

Granodiorita con débil silicificación y moderada alteración potásica, venillas de cuarzo - clorita, py diseminada y en venillas 2 %, cp diseminada y en venillas en trazas, mg diseminada 1 %

Granodiorita con débil carbonatos y moderada alteración clorítica, venillas de cuarzo - sulfuros, py en venillas y diseminada 2 %, cp diseminada y en venillas en trazas, mo diseminada y en venillas en trazas en partes, mg diseminada en trazas en partes

Granodiorita con moderada alteración potásica y débil alteración propilitica, venillas de cuarzo - clorita, clorita en venillas, cizallas de falla a los 136.20 m, py diseminada y en venillas 2 %, cp diseminada y en venillas 1 %, mo en diseminada 1 %

Granodiorita con débil silicificación y moderada alteración potásica, venillas de cuarzo - sulfuros, venillas de carbonatos, py diseminada y en venillas 1 %, cp diseminada y en venillas 1 %, mo diseminada y en venillas en trazas, mg diseminada 1 %, hm en fractura en trazas

Granodiorita con moderado carbonatos y moderada alteración propilitica, zona de fallas desde los 388.25 m a los 389 m, py en venillas y diseminada 3 %, cp diseminada y en venillas en trazas, mg diseminada en trazas

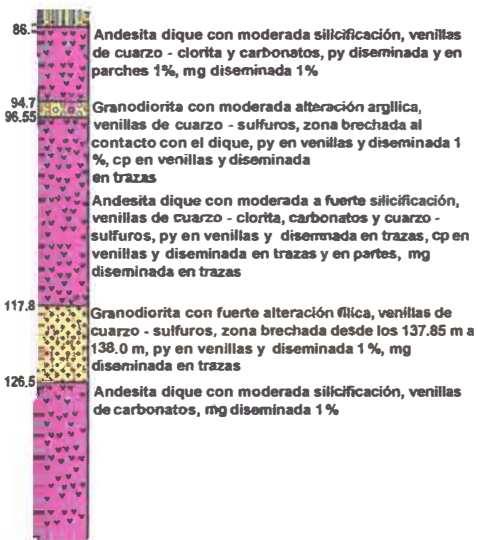
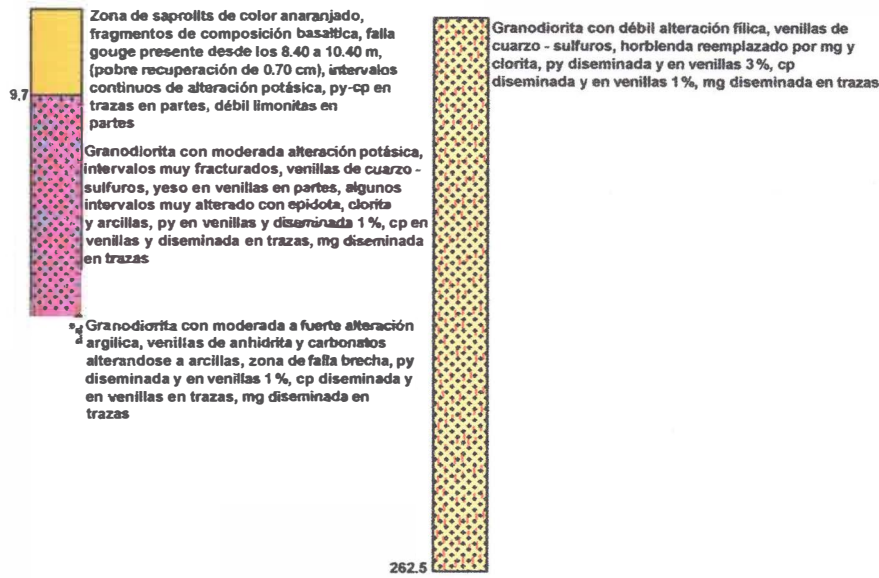
Granodiorita con débil silicificación y débil carbonatos, venillas de cuarzo - sulfuros, py diseminada y en venillas 2 %, mg diseminada en trazas

Granodiorita con débil silicificación y débil carbonatos, venillas de cuarzo - sulfuros, py diseminada y en venillas 2 %, mg diseminada en trazas

Granodiorita con débil silicificación y débil carbonatos, venillas de cuarzo - sulfuros, py diseminada y en venillas 2 %, mg diseminada en trazas



Figura 17: Descripción de logueo, depósito Botija - pozo B07041



Granodiorita con débil alteración filica, venillas de cuarzo - sulfuros, carbonatos, py en venillas y diseminada 2 %, cp en venillas y diseminada 1 %, mg diseminada en trazas

LEYENDA	
LITOLOGIA	ALTERACION
Saprolitas	Potásica
Andesita (ANDG)	Silicificación
Granodiorita (GRD)	Filica
Venillas de carbonatos	Brecha de falla con alteración argílica
Venillas de cuarzo-sulfuro	

Figura 18: Descripción de logeo, depósito Botija - pozo B07061



Foto 12: Plataforma de perforación diamantina; pozo B07035



Foto 13: Plataforma de perforación diamantina, pozo B07021

CAPITULO V
ANOMALIA GEOQUIMICA E
INTERPRETACION GEOLOGICA

5.1 Tramos de mineralización

En los depósitos de Petaquilla y Botija, según la estimación de recursos medido e indicado realizado en 1998 por Teck Cominco e Inmet se reportó como promedio:

Depósito	Millones de toneladas (Mt)	Porcentaje (%)	Gramo por tonelada (g/t)	Partes por millón (ppm)
Botija	534	Cu 0.54	Au 0.104	Mo 104
Petaquilla	416	Cu 0.47	Au 0.075	Mo 90

A la fecha de abril del 2009 se tiene recursos de mineral medido e indicado en ambos depósitos:

Recurso de mineral medido e indicado	950 MT
Valor promedio de cobre	0.50%
Valor promedio de oro	0.1 g/t
Valor promedio de molibdeno	98 ppm

En los siguientes párrafos se detallaran la información obtenida en los 08 pozos, resaltando los tramos mayores a 0.1%. Mayor detalle se muestra en los anexos.

Pozo B07021

Tramos de 19 m, 21 m, 8 m, con valores de 0.10 a 0.37% de Cu, con ensambles de alteración sílice, potásica – silicificación, potásica – cloritización, potásica – silicificación, potásica – cloritización.

Pozo B07026

Tramos de 12 m, 27 m de potencia con valores de 0.1 a 0.28% de Cu, con ensambles de alteración propilítica – argilización, cloritización – carbonatos.

Pozo B07028

Tramos de 3 m, 4.5 m, 6 m, 12 m, 31.5 m, 33 m, 96 m con valores de 0.1% a 0.86% de Cu, con ensambles de alteración silicificación – carbonatos, propilítica – silicificación, cloritización – silicificación, argilización – silicificación, potásica – silicificación, carbonatos – cloritización.

Pozo B07032

Tramos de 8 m, 9 m, 16 m, 18 m, 31 m, 137 m con valores de 0.1% a 0.94% de Cu, con alteración propilítica, argilización, cloritización, zonas sobre impuestas por silicificación – carbonatos.

Pozo B07035

Se registraron tramos de 20 m, 86 m, un tramo continuo de 352 m de potencia con valores de 0.1% a 0.75% de Cu, con alteración sílice – clorita, sílice – carbonatos, sílice – argilización, sílice – propilítica, carbonatos – cloritización.

Pozo B07040

Se registraron tramos de 12 m, 23 m, 45 m, 143 m, 193 m de potencia con valores de 0.1% a 0.86% de Cu, con ensambles de alteración argilización – silicificación, cloritización – silicificación, fílica – silicificación, propilítica - silicificación – propilítica, cloritización - carbonatos, carbonatos – silicificación.

Pozo B07041

Tramos de 4 m, 10 m, 220 m, 99 m de potencia con valores de 0.1 – 0.74% de Cu, con ensambles de alteración potásica - silicificación, potásica – argilización, potásica – cloritización, potásica – propilítica, sílice – clorita, sílice – propilítica, cloritización – carbonatos, propilítica – carbonatos, silicificación – carbonatos.

Pozo B07061

Tramos de 25 m, 9 m, 25 m, 76 m de potencia con valores de 0.1% a 0.80% Cu, con ensambles de alteración fílica - silicificación. A la profundidad de 34.5 m a 86.30 m se registró una zona de brecha de falla con alteración argílica, clastos de granodiorita con alteración potásica con valores de 0.12% - 0.5% de Cu.

5.2 Interpretación de 05 secciones geológicas

Es importante señalar que los pozos de las secciones geológicas que se muestran a continuación, son taladros antiguos y taladros del programa de perforación 2007 y 2008. A continuación se presentan 05 secciones geológicas de la zona central del depósito Botija.

Sección 538300 E

Se observa valores de cobre $> 1\%$ en la granodiorita relacionada a zonas con alteración potásica – fílica, estos valores decrecen hacia el interior del depósito en el rango de $0.6 - 1\%$ en la granodiorita probablemente con alteración potásica solamente. Siguen decreciendo estos valores en los contactos granodiorita – andesita y alejándose del contacto.

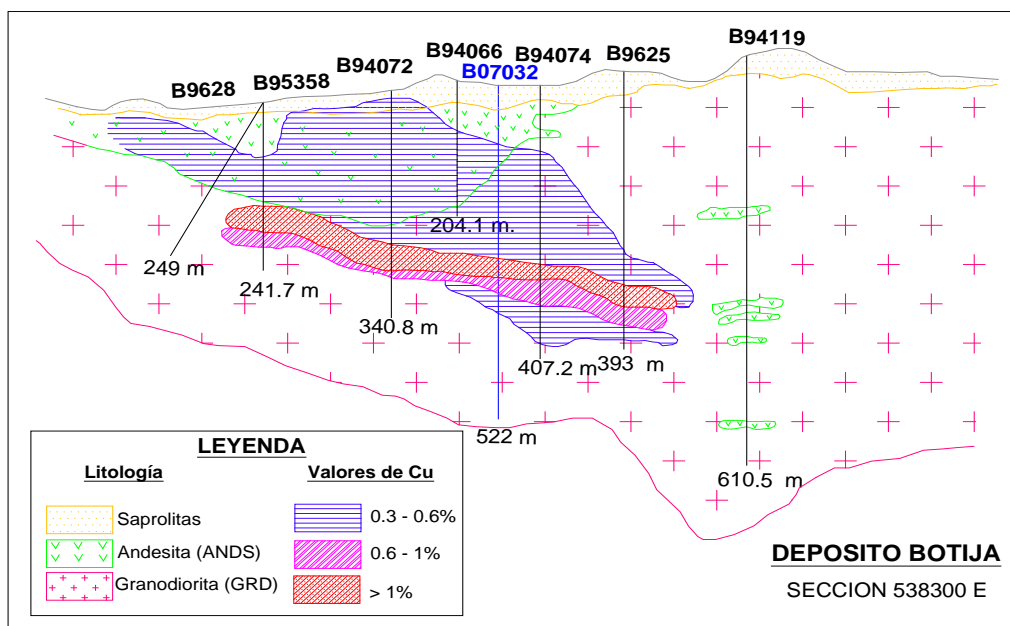


Figura 19: Sección 538300 E mostrando rangos de valores de cobre

Sección 538400 E

En esta sección se observa valores de cobre en el rango de 0.3-0.6% en granodiorita, extendiéndose hacia la zona de contacto andesita-granodiorita y alejándose de la zona de contacto en andesita; posiblemente relacionado a zonas con alteración potásica, fílica, sílice – clorita en la granodiorita y alteración propilítica o cloritización en la andesita.

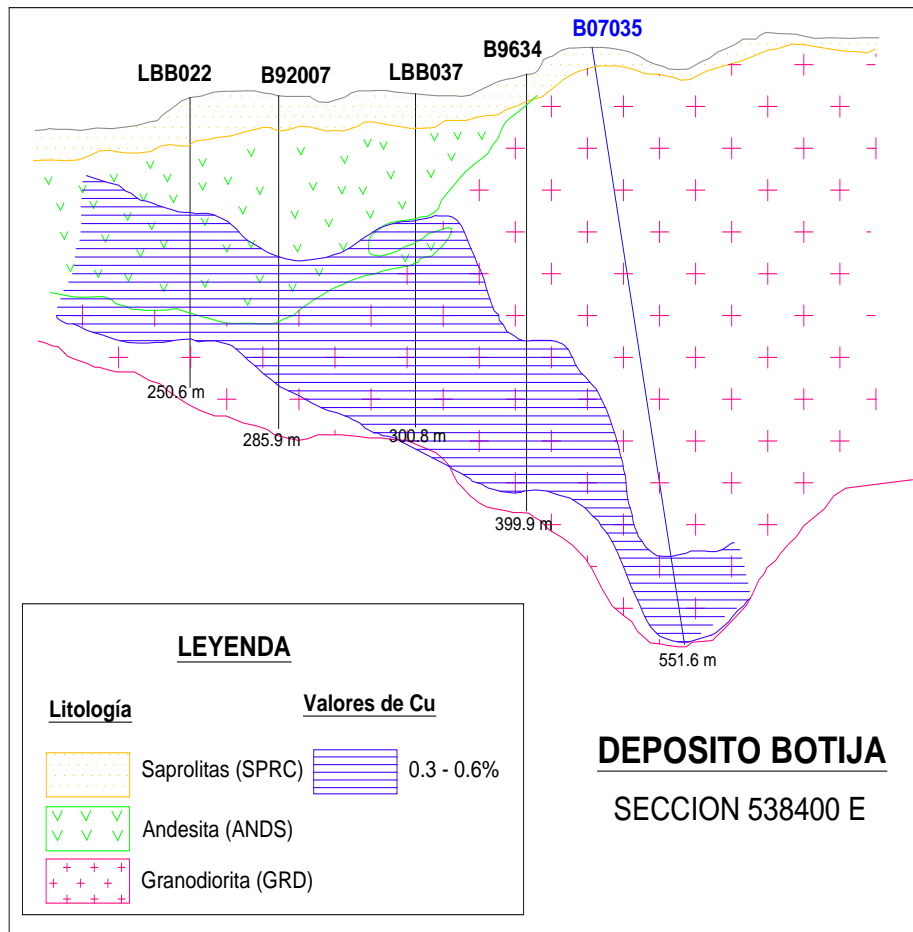


Figura 20: Sección 538400 E mostrando valores de cobre menores a 0.6%

Sección 538500 E

Se observa que los valores de cobre $> 1\%$ se encuentran en la granodiorita relacionados al ensamble de alteración potásica – fílica. Los valores decrecen a 0.6-1% en la granodiorita, hacia los contactos con la andesita, posiblemente relacionados a la zona pótasica, fílica, sílice – clorita, propilítica.

Los valores de cobre en el rango de 0.3-0.6% se encuentran en la granodiorita y diques pequeños de andesita, posiblemente relacionados a la alteración potásica.

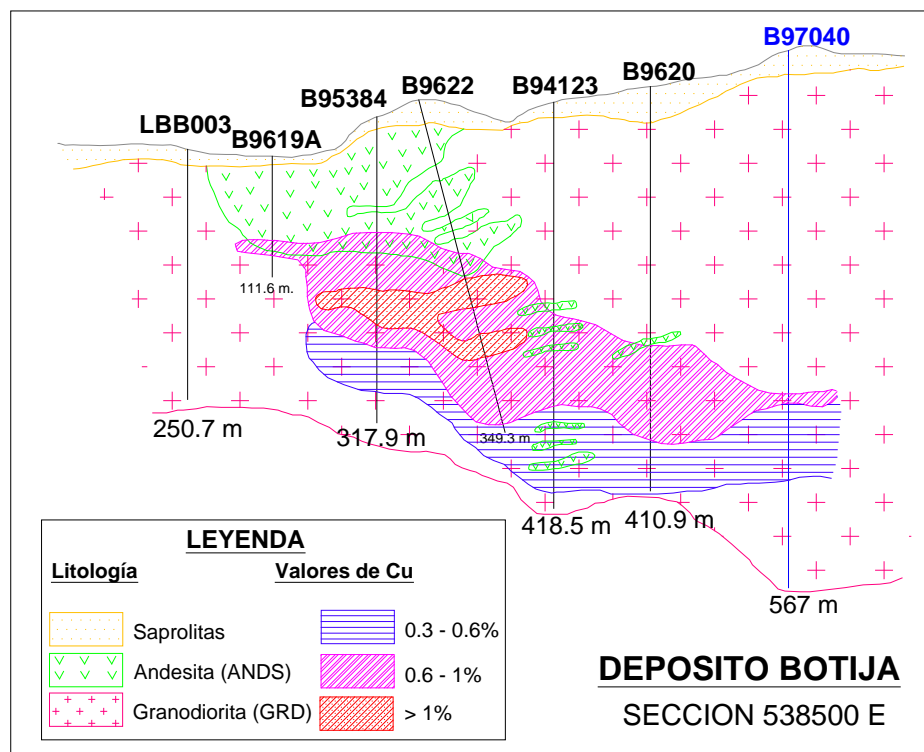


Figura 21: Sección 538500 E mostrando rangos valores de cobre

Sección 538600 E

Se observa valores de cobre $>1\%$ en la granodiorita, relacionado posiblemente a la zona potásica-fílica, fílica; los valores decrecen a 0.6-1% en la granodiorita extendiéndose hacia el contacto de granodiorita – andesita, relacionado posiblemente a la zona potásica, potásica – fílica, fílica, sílice-clorita; los valores mas bajos de 0.3-0.6% en la granodiorita, posiblemente relacionada a la alteración sílice-clorita, propilítica.

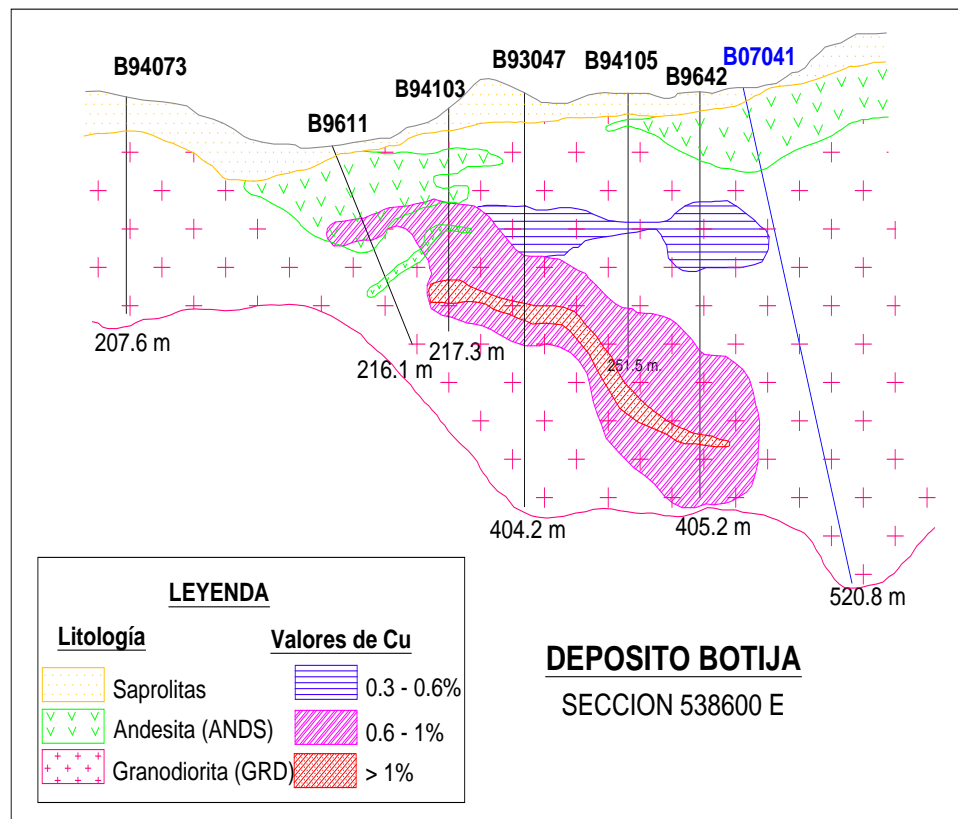


Figura 22: Sección 538600 E mostrando rangos de valores de cobre

Sección 538700 E

Se observa valores de cobre $> 1\%$ en granodiorita, posiblemente relacionado a zonas con alteración potásica – filica. Estos valores decrecen a $0.6-1\%$ en granodiorita, relacionado posiblemente a zonas con alteración potásica, potásica-filica y sílice – clorita. Los valores decrecen a un rango de $0.3-0.6\%$ hacia el tope de la granodiorita, relacionada probablemente en zona de alteración sílice-clorita y propilítica, adelgazándose hacia la zona de contacto con pequeños diques andesíticos con probable alteración propilítica.

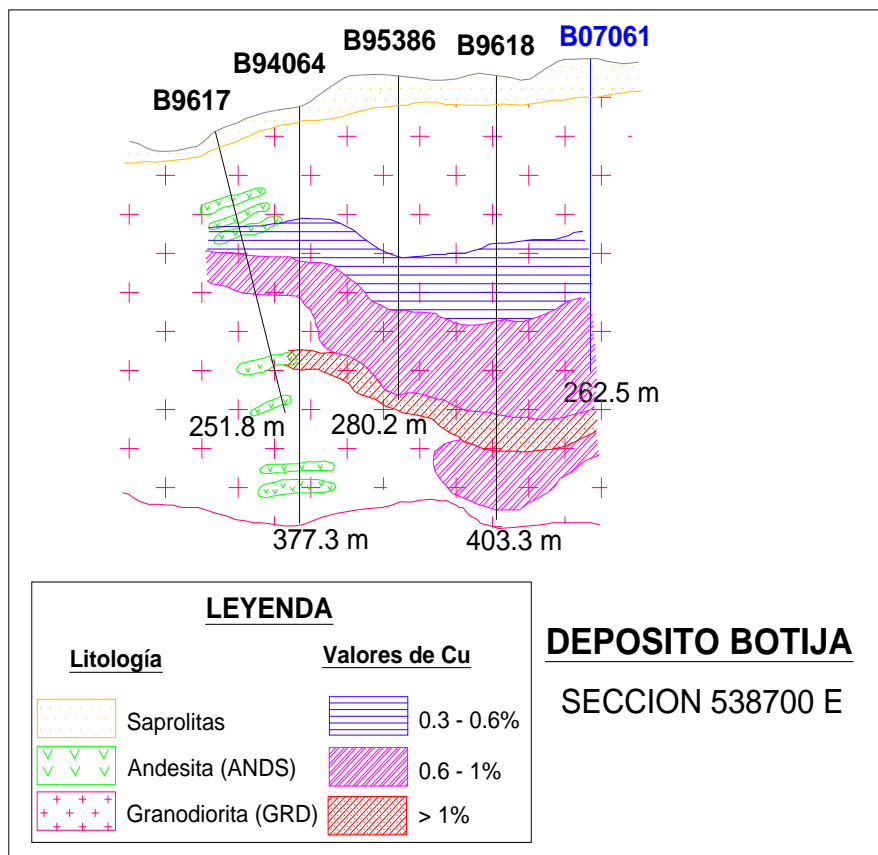


Figura 23: Sección 538700 E mostrando rangos de valores de cobre

CONCLUSIONES

- El proyecto Petaquilla comprende una serie de depósitos, encontrándose entre los más importantes Petaquilla, Valle Grande y Botija.
- En el área de Petaquilla, las rocas más antiguas son andesitas submarinas, flujos de basalto y tufos, intercalados con rocas sedimentarias clásticas de edad Eoceno a Oligoceno temprano, que son intruídas por el Batolito Petaquilla, del Oligoceno medio y que forma parte del bloque Chorotega. Siendo los plutones de Petaquilla y Valle Grande (granodiorita, tonalita, diorita) probablemente parte de los pulsos de vulcanismo que conforman la secuencia de islas del bloque Chorotega y van desde del Paleoceno – Eoceno, Oligoceno medio, Oligoceno tardío, a Mioceno temprano y Plioceno – Pleistoceno.
- La edad del Batolito Petaquilla y los pulsos que conforman el pórfido de cobre del proyecto Petaquilla coinciden con las edades de los principales pórfidos de cobre

en el Perú tales como Toquepala, Quellaveco y Cuajone (Paleoceno – Eoceno), así como el pórfido de la mina Chuquicamata (Eoceno – Oligoceno) de Chile.

- Petaquilla es un pórfido de cobre con 416 Mt y leyes de 0.47% de Cu, 0.075 g/t de Au y 90 ppm de Mo (según reporte de 1998).
- Botija es un pórfido de cobre con 534 Mt con leyes de 0.54 % de Cu, 0.104 g/t de Au y 104 ppm de Mo (según reporte de 1998).
- A abril del 2009 con los trabajos retomados por Inmet Mining Corporation reporta 950 Mt con leyes de 0.5% de Cu, 0.1 g/t de Au y 98 ppm de Mo para Petaquilla y Valle Grande.
- La ley promedio de cobre de Botija se encuentra entre los principales pórfidos de cobre en el Perú tal como Quellaveco (0.57%), Toquepala (0.83%), Cuajone (0.64%) y de la mina Chuquicamata de Chile (0.56%).
- En Botija el alto grado de mineralización ocurre en el área de superposición de la alteración potásica-fílica. Moderado a bajo grado de mineralización en la zona potásica solamente y hacia la periferia en la zona sílice-clorita.
- La calcopirita es el mineral de cobre principal, ocurre como disseminaciones, venillas, en motas y en stockwork de cuarzo, rellenando fracturas. Le sigue la bornita como mineral portador de cobre y se le observa más en motas y raras veces disseminado. La molibdenita se encuentra en menor cantidad y ocurre como

diseminaciones y venillas. Se han observado trazas de calcocita, la pirita es el sulfuro más abundante.

- La zona de enriquecimiento secundario se encuentra poco desarrollada.
- La alteración en general de los tres depósitos del proyecto Petaquilla sigue el modelo clásico de un pórfido de cobre; con una zonación progradada de alteración potásica sobre impuesta por zonas de alteración fílica, sílice-clorita y propilítica, la alteración retrogradada manifestada por la alteración argílica y propilítica.
- Eventos de alteración tardía sobreimpuestos en Botija, consisten de carbonatos en venillas, reemplazando a la matriz con intensidad moderada a fuerte, hay presencia de venillas de zeolita. Venillas de yeso y/o anhidrita cortan los tipos de alteración..
- La falla B es una falla activa en la mineralización, de tendencia noroeste, es la más temprana. Posterior a la falla B, están las fallas del tren noreste, en un evento tardío se tiene a la falla del río Botija; la falla Botija limita la mineralización a lo largo del margen sur del depósito.

RECOMENDACIONES

- Se recomienda perforaciones adicionales para definir los límites de mineralización en Botija y Petaquilla y completar la exploración en valle Grande.
- Cambiar los formatos de logeo actual por formatos gráficos que hagan más entendible la descripción.
- Evitar intervalos muy largos en las descripciones para no omitir ciertos detalles importantes.
- Educar mas al personal en cuanto a las condiciones seguras para evitar accidentes

REFERENCIAS BIBLIOGRÁFICAS

Brimhall, G.H., Alpers, C.N. and Cunningham, A.B., 1985, Análisis of supérgene ore forming processes and ground water solute transport using mass balance principles: Economic Geology, v. 80, p 1227 – 1256.

Certificado de análisis de laboratorio; ALS Chemex – Perú, 2008.

De Boer J.Z., et al., 1995; Cenozoic Magmatic Phases of the Costa Rican Island Arc (Cordillera de Talamanca); in Geologic and Tectonic Development of the Caribbean

Plate Boundary in Southern South America, Mann, P, ed.; Geological Society of America, Special Paper 295, pp.35-56.

Friedrich Speidel, Stéphane Faure, Moira T. Smith y Gerry F. McArthur, Exploration and Discovery at the Petaquilla Copper-Gold Concession, Panama: society of Economic Geologist, 2001.

Ted Eggleston, Kirk Hason, Alexandra Kozak, Noviembre del 2007; Petaquilla Project, Panamá NI 43-101 Technical Report.

Thompson, A. J. B., 1996, Petaquilla Project, Panama: Petrographic Descriptions and Whole Rock Geochemistry; Petrascience Consultants Inc., Unpublished Report for Inmet Mining Corporation.

<http://www.inmetmining.com/ouoperations/development/Petaquilla/default.aspx>

http://www.hidromet.com.pa/sp/Documentos/Nota_Explicativa_Hidrogeologico.pdf

ANEXOS

POZO B07021

De	A	Cu (%)	Mo (ppm)	Au (ppm)	Ag (ppm)	As (ppm)	Zn (ppm)
0.00	1.00	0.08	24	0.04	0.2	2	29
1.00	2.00	0.08	8	0.044	<0.2	<2	19
2.00	4.00	0.05	2	0.051	<0.2	<2	10
4.00	4.90	0.04	7	0.055	<0.2	2	11
4.90	7.10	0.05	29	0.031	<0.2	4	8
7.10	7.90	0.05	19	0.014	<0.2	5	9
7.90	11.00	0.05	6	0.02	<0.2	<2	11
11.00	13.00	0.04	5	0.043	<0.2	<2	9
13.00	14.30	0.06	73	0.05	<0.2	4	26
14.30	17.00	0.05	53	0.034	<0.2	<2	14
17.00	18.50	0.08	4	0.08	0.2	<2	26
18.50	20.00	0.07	21	0.055	<0.2	<2	26
20.00	21.50	0.07	8	0.051	<0.2	<2	43
21.50	22.50	0.09	6	0.032	0.4	<2	43
22.50	24.00	0.04	5	0.043	<0.2	<2	30
24.00	25.50	0.04	2	0.027	<0.2	3	22
25.50	27.00	0.05	10	0.037	0.3	<2	35
27.00	28.50	0.05	3	0.048	0.4	<2	65
28.50	30.50	0.06	4	0.029	0.7	<2	57
30.50	31.50	0.14	3	0.013	0.8	<2	67
31.50	33.00	0.19	4	0.013	1	<2	232
33.00	34.50	0.13	2	0.03	0.4	<2	47
34.50	36.00	0.19	1	0.042	0.4	<2	47
36.00	37.50	0.37	1	0.075	0.7	<2	47
37.50	39.00	0.15	6	0.037	0.3	<2	36
39.00	40.50	0.13	4	0.036	0.4	<2	39
40.50	42.00	0.12	2	0.022	0.3	<2	41
42.00	43.50	0.13	2	0.034	0.2	<2	26
43.50	45.00	0.15	2	0.034	0.4	<2	23
45.00	46.50	0.12	1	0.024	0.3	<2	26
46.50	48.00	0.16	7	0.02	0.7	<2	180
48.00	49.50	0.16	14	0.019	0.7	2	582
49.50	51.00	0.09	1	0.023	0.2	<2	22
51.00	52.50	0.08	2	0.016	0.2	<2	31
52.50	54.00	0.08	5	0.011	0.4	<2	62
54.00	55.50	0.12	2	0.021	0.6	<2	66
55.50	56.55	0.13	31	0.009	0.9	<2	787

De	A	Cu (%)	Mo (ppm)	Au (ppm)	Ag (ppm)	As (ppm)	Zn (ppm)
56.55	57.55	0.09	3	0.007	0.5	<2	152
57.55	58.55	0.06	10	0.012	0.3	<2	862
58.55	59.73	0.05	9	0.016	<0.2	<2	41
59.73	61.50	0.07	4	0.024	0.2	<2	240
61.50	63.00	0.07	3	0.012	0.3	<2	349
63.00	64.50	0.15	12	0.03	0.4	<2	523
64.50	66.00	0.08	12	0.015	0.3	<2	338
66.00	67.50	0.11	6	0.019	0.2	<2	80
67.50	69.00	0.09	7	0.024	0.2	<2	31
69.00	70.50	0.06	3	0.019	0.2	<2	52
70.50	72.00	0.17	19	0.021	0.5	<2	39
72.00	73.50	0.09	5	0.015	0.3	<2	49
73.50	75.00	0.10	7	0.014	0.3	<2	48
75.00	76.50	0.08	1	0.02	<0.2	<2	18
76.50	78.00	0.08	10	0.02	0.2	<2	45
78.00	79.50	0.06	3	0.024	<0.2	<2	28
79.50	81.00	0.12	9	0.03	<0.2	<2	15
81.00	82.50	0.11	43	0.028	0.2	<2	22
82.50	84.00	0.11	12	0.026	0.2	2	16
84.00	85.50	0.11	1	0.031	0.2	<2	26
85.50	87.00	0.19	4	0.037	0.4	3	36
87.00	88.50	0.11	4	0.029	0.2	2	17
88.50	89.00	0.16	3	0.022	0.3	2	19
89.00	91.50	0.18	3	0.03	0.2	<2	17
91.50	93.00	0.31	3	0.05	0.6	<2	30
93.00	94.50	0.09	7	0.053	0.2	<2	30
94.50	96.00	0.09	3	0.014	<0.2	<2	17
96.00	97.50	0.14	55	0.023	0.2	<2	18
97.50	99.00	0.10	1	0.015	<0.2	<2	12
99.00	100.50	0.13	7	0.021	1.5	<2	18
100.50	102.00	0.09	15	0.018	0.2	2	34
102.00	103.50	0.14	10	0.022	0.3	<2	21
103.50	105.00	0.13	5	0.023	0.2	<2	25
105.00	106.50	0.20	3	0.037	0.4	<2	30
106.50	108.00	0.22	10	0.043	1	<2	359
108.00	109.50	0.07	23	0.014	0.3	<2	127
109.50	111.50	0.16	7	0.011	0.9	3	103

De	A	Cu (%)	Mo (ppm)	Au (ppm)	Ag (ppm)	As (ppm)	Zn (ppm)
111.50	112.60	0.08	5	0.017	0.4	<2	38
112.60	114.00	0.10	5	0.028	0.2	<2	15
114.00	115.50	0.12	4	0.026	0.4	<2	48
115.50	117.00	0.05	3	0.014	<0.2	<2	20
117.00	118.50	0.07	7	0.018	0.2	<2	15
118.50	120.00	0.06	6	0.022	<0.2	<2	14
120.00	121.50	0.05	6	0.012	<0.2	<2	13
121.50	123.00	0.10	12	0.028	<0.2	<2	36
123.00	124.50	0.04	2	0.019	<0.2	<2	16
124.50	126.00	0.05	3	0.017	<0.2	<2	21
126.00	127.50	0.04	3	0.008	<0.2	<2	42
127.50	129.00	0.05	11	0.014	<0.2	<2	35
129.00	130.50	0.27	3	<0.005	0.8	<2	247
130.50	132.00	0.09	2	0.008	<0.2	<2	72
132.00	133.50	0.06	7	0.011	0.2	2	31
133.50	135.00	0.22	10	0.036	0.5	2	44
135.00	136.50	0.08	18	0.024	0.3	<2	261
136.50	138.00	0.06	2	0.017	<0.2	<2	103
138.00	139.50	0.08	3	0.015	0.3	<2	63
139.50	141.00	0.10	21	0.024	0.3	<2	101
141.00	142.50	0.10	13	0.01	0.3	<2	329
142.50	144.00	0.07	37	0.015	<0.2	3	154
144.00	145.50	0.09	15	0.014	0.4	<2	91
145.50	147.00	0.09	12	0.006	0.4	<2	278
147.00	148.50	0.04	16	0.008	<0.2	<2	48
148.50	150.00	0.07	4	0.011	0.3	3	151
150.00	151.50	0.07	38	0.009	0.2	<2	74
151.50	153.50	0.12	34	0.022	0.4	3	150
153.50	155.15	0.003	2	<0.005	<0.2	<2	336
155.15	156.00	0.05	29	0.019	0.4	<2	67
156.00	157.50	0.03	3	0.008	<0.2	<2	41
157.50	159.00	0.01	2	0.008	<0.2	<2	30
159.00	160.50	0.03	8	0.009	<0.2	<2	51
160.50	162.00	0.04	3	0.007	0.2	<2	74

De	A	Cu (%)	Mo (ppm)	Au (ppm)	Ag (ppm)	As (ppm)	Zn (ppm)
162.00	163.50	0.02	2	0.006	<0.2	2	39
163.50	165.00	0.02	2	<0.005	<0.2	<2	35
165.00	166.50	0.01	3	<0.005	<0.2	<2	58
166.50	168.00	0.03	4	<0.005	0.2	<2	90
168.00	169.50	0.02	1	<0.005	0.2	<2	56
169.50	171.00	0.04	2	0.005	0.2	<2	62
171.00	172.50	0.03	2	0.007	<0.2	<2	61
172.50	174.00	0.03	1	0.006	<0.2	3	61
174.00	175.50	0.21	2	0.008	0.9	3	369
175.50	177.00	0.04	1	0.006	0.2	2	31
177.00	178.50	0.04	2	<0.005	<0.2	<2	51
178.50	180.00	0.07	2	0.006	0.2	<2	45
180.00	181.50	0.03	1	<0.005	<0.2	<2	40
181.50	183.00	0.02	2	<0.005	<0.2	<2	39
183.00	184.50	0.04	3	0.005	<0.2	<2	60
184.50	186.00	0.05	3	0.008	<0.2	<2	32
186.00	187.50	0.08	3	0.016	0.2	<2	41
187.50	189.00	0.07	1	0.025	<0.2	<2	56
189.00	190.50	0.05	4	0.006	<0.2	<2	64
190.50	192.00	0.04	1	0.006	<0.2	<2	46
192.00	193.50	0.03	5	<0.005	<0.2	2	37
193.50	195.00	0.04	2	0.006	0.3	4	49
195.00	196.50	0.07	5	0.009	0.5	<2	68
196.50	198.00	0.06	1	0.01	0.3	2	41
198.00	199.50	0.04	3	0.006	0.3	<2	71
199.50	201.00	0.14	105	0.023	0.6	<2	951
201.00	202.50	0.08	10	0.009	0.4	2	194
202.50	204.00	0.05	6	0.005	0.3	<2	129
204.00	205.50	0.08	17	0.009	0.5	<2	256
205.50	207.00	0.11	42	0.016	0.5	<2	159
207.00	208.50	0.07	5	<0.005	0.5	<2	365
208.50	210.00	0.06	2	0.006	0.3	<2	75
210.00	211.50	0.05	2	0.005	0.4	<2	344
211.50	213.00	0.05	1	0.006	0.4	<2	68
213.00	214.50	0.08	13	0.011	0.5	<2	267
214.50	216.00	0.04	3	0.006	0.3	<2	76
216.00	217.50	0.05	5	0.008	0.3	2	45

De	A	Cu (%)	Mo (ppm)	Au (ppm)	Ag (ppm)	As (ppm)	Zn (ppm)
217.50	219.00	0.27	16	0.005	1.2	<2	58
219.00	220.50	0.43	41	0.026	3.3	<2	67
220.50	222.00	0.05	6	0.009	0.3	<2	47
222.00	223.50	0.04	5	0.008	0.2	2	38
223.50	225.00	0.05	<1	0.005	0.2	<2	49
225.00	226.50	0.05	2	<0.005	0.2	<2	42
226.50	228.00	0.05	1	0.007	0.4	3	51
228.00	229.50	0.03	11	<0.005	0.2	<2	58
229.50	231.00	0.08	3	0.049	1	<2	118
231.00	232.50	0.07	1	0.005	0.4	<2	34
232.50	234.00	0.03	1	<0.005	0.3	2	35
234.00	235.50	0.03	1	<0.005	0.4	2	31
235.50	237.00	0.04	3	0.005	0.2	3	40
237.00	238.50	0.12	14	0.015	0.7	<2	44
238.50	240.00	0.07	8	0.014	0.4	<2	62
240.00	241.50	0.07	4	0.009	0.5	<2	49
241.50	243.00	0.05	2	0.008	0.3	2	45
243.00	244.50	0.08	2	0.012	0.4	<2	45
244.50	246.00	0.05	4	0.014	0.3	<2	41
246.00	247.50	0.05	5	0.011	0.3	<2	42
247.50	249.00	0.06	7	0.015	0.2	3	39
249.00	250.50	0.05	2	0.019	0.4	<2	48
250.50	252.00	0.06	7	0.015	0.3	<2	36
252.00	253.50	0.06	6	0.013	0.4	<2	46
253.50	255.00	0.03	4	0.008	0.2	2	122

POZO B07026

De	A	Cu (%)	Mo (ppm)	Au (ppm)	Ag (ppm)	As (ppm)	Zn (ppm)
0.00	7.00	0.04	17	0.016	0.2	<2	130
7.00	16.00	0.05	25	0.042	0.6	<2	44
16.00	19.50	0.04	11	0.028	0.7	<2	60
19.50	21.00	0.04	34	0.029	1.2	<2	53
21.00	22.00	0.12	11	0.025	2.3	<2	25
22.00	23.50	0.22	1	0.021	0.3	<2	42
23.50	25.00	0.21	74	0.02	0.6	<2	145
25.00	26.50	0.22	2	0.032	1.3	<2	295
26.50	28.00	0.09	1	0.016	0.6	<2	402
28.00	29.50	0.14	6	0.031	0.4	<2	44
29.50	31.00	0.28	9	0.04	1.6	<2	165
31.00	32.50	0.15	<1	0.011	1.4	2	2170
32.50	34.00	0.18	<1	0.027	1	<2	109
34.00	35.50	0.21	13	0.062	0.8	<2	66
35.50	37.00	0.12	<1	0.034	0.5	<2	229
37.00	38.50	0.12	1	0.024	0.3	2	36
38.50	40.00	0.10	2	0.018	0.4	<2	44
40.00	41.50	0.10	<1	0.02	0.2	2	27
41.50	43.00	0.13	<1	0.027	0.3	<2	31
43.00	44.50	0.08	2	0.017	0.2	<2	45
44.50	46.00	0.07	1	0.014	0.3	<2	86
46.00	47.50	0.08	3	0.01	0.7	<2	125
47.50	49.00	0.07	1	0.009	0.5	<2	307
49.00	50.50	0.08	<1	<0.005	0.7	<2	235
50.50	52.00	0.08	<1	0.007	0.6	<2	184
52.00	53.50	0.15	4	0.016	0.8	<2	118
53.50	55.00	0.12	4	0.025	0.2	<2	26
55.00	56.50	0.08	<1	0.016	<0.2	<2	18
56.50	58.00	0.17	<1	0.036	0.4	<2	18
58.00	59.50	0.18	<1	0.042	0.4	<2	20
59.50	61.00	0.20	24	0.025	0.4	<2	17
61.00	62.50	0.22	3	0.042	0.3	<2	19
62.50	64.00	0.28	<1	0.047	0.5	<2	18
64.00	65.50	0.14	1	0.018	0.4	<2	73
65.50	67.00	0.10	<1	0.01	0.4	<2	103
67.00	68.50	0.06	1	0.006	<0.2	<2	31
68.50	70.00	0.08	3	0.013	0.2	<2	41

De	A	Cu (%)	Mo (ppm)	Au (ppm)	Ag (ppm)	As (ppm)	Zn (ppm)
70.00	71.50	0.08	<1	0.019	0.2	<2	26
71.50	73.00	0.08	<1	0.014	0.2	<2	13
73.00	74.50	0.03	<1	0.011	<0.2	<2	13
74.50	76.00	0.09	<1	0.013	0.2	<2	191
76.00	77.50	0.08	<1	0.011	<0.2	<2	31
77.50	79.00	0.08	<1	0.009	0.2	<2	173
79.00	80.50	0.09	2	0.014	0.2	<2	34
80.50	82.00	0.06	<1	0.008	<0.2	<2	29
82.00	83.50	0.07	15	0.011	0.2	<2	566
83.50	85.00	0.05	4	<0.005	0.2	<2	58
85.00	86.50	0.06	<1	0.006	0.2	<2	42
86.50	88.00	0.08	<1	0.015	0.2	<2	26
88.00	89.50	0.05	<1	0.008	<0.2	<2	21
89.50	91.00	0.08	1	0.011	0.3	<2	30
91.00	92.50	0.07	<1	0.015	<0.2	<2	67
92.50	94.00	0.05	<1	0.01	<0.2	<2	15
94.00	95.50	0.08	<1	0.01	0.2	<2	28
95.50	97.00	0.05	9	<0.005	0.3	<2	212
97.00	98.50	0.05	2	0.008	0.2	<2	52
98.50	100.00	0.10	<1	0.01	0.2	<2	31
100.00	101.50	0.10	8	0.005	0.2	<2	50
101.50	103.00	0.07	2	0.009	0.2	<2	27
103.00	104.50	0.08	<1	0.013	0.2	<2	20
104.50	106.00	0.08	<1	0.011	0.2	<2	17
106.00	107.50	0.09	<1	0.02	0.2	<2	19
107.50	109.00	0.09	<1	0.013	0.2	<2	22
109.00	110.50	0.10	<1	0.024	0.3	<2	37
110.50	112.00	0.07	<1	0.008	<0.2	<2	55
112.00	113.50	0.09	<1	0.02	0.2	2	50
113.50	115.00	0.03	<1	0.009	<0.2	<2	65
115.00	116.50	0.05	<1	0.009	<0.2	<2	42
116.50	118.00	0.06	5	0.008	<0.2	<2	49
118.00	119.50	0.06	25	0.011	0.7	<2	311
119.50	121.00	0.06	49	0.01	0.3	<2	48
121.00	122.50	0.06	<1	0.014	<0.2	<2	20
122.50	124.00	0.05	<1	0.008	<0.2	<2	20
124.00	125.50	0.06	1	0.009	0.3	<2	37

De	A	Cu (%)	Mo (ppm)	Au (ppm)	Ag (ppm)	As (ppm)	Zn (ppm)
125.50	127.00	0.07	1	0.017	0.2	<2	20
127.00	128.50	0.06	1	0.012	<0.2	<2	22
128.50	130.00	0.05	4	0.012	<0.2	<2	17
130.00	131.50	0.06	2	0.013	0.2	<2	17
131.50	133.00	0.08	4	0.017	<0.2	<2	18
133.00	134.50	0.07	<1	0.011	0.2	<2	23
134.50	136.00	0.05	6	0.009	<0.2	<2	49
136.00	137.50	0.05	5	<0.005	<0.2	<2	146
137.50	139.00	0.08	6	0.014	0.4	<2	70
139.00	140.50	0.06	10	0.017	0.2	<2	29
140.50	142.00	0.07	<1	0.02	<0.2	<2	19
142.00	143.50	0.11	5	0.021	0.2	<2	15
143.50	145.00	0.04	3	0.01	<0.2	<2	15
145.00	146.50	0.02	7	0.011	<0.2	<2	14
146.50	148.00	0.06	49	0.011	<0.2	<2	25
148.00	149.50	0.05	6	0.012	<0.2	<2	54
149.50	151.00	0.06	1	0.01	0.2	<2	32
151.00	152.50	0.05	2	0.008	<0.2	<2	27
152.50	154.00	0.07	6	0.01	0.2	<2	25
154.00	155.50	0.05	2	0.011	0.3	<2	26
155.50	157.00	0.05	1	0.009	0.2	<2	38
157.00	158.50	0.07	1	0.005	0.6	<2	108
158.50	160.00	0.05	2	0.005	0.2	<2	48
160.00	161.50	0.05	2	0.017	<0.2	<2	31
161.50	163.00	0.07	11	0.01	0.2	<2	41
163.00	164.50	0.06	2	0.013	0.4	2	452
164.50	166.00	0.01	<1	0.005	<0.2	<2	1105
166.00	167.50	0.03	<1	0.005	<0.2	<2	340
167.50	169.00	0.05	33	0.016	0.2	2	43
169.00	170.50	0.04	1	0.012	<0.2	<2	24
170.50	172.00	0.04	2	0.013	<0.2	<2	17
172.00	173.50	0.07	1	0.018	0.2	<2	24
173.50	175.00	0.08	1	0.017	0.2	<2	22
175.00	176.50	0.09	<1	0.013	0.2	2	78
176.50	178.00	0.05	11	0.012	<0.2	3	220
178.00	179.50	0.03	3	0.014	<0.2	<2	23
179.50	181.00	0.04	<1	0.005	<0.2	<2	119

De	A	Cu (%)	Mo (ppm)	Au (ppm)	Ag (ppm)	As (ppm)	Zn (ppm)
181.00	182.50	0.01	<1	0.007	<0.2	<2	110
182.50	184.00	0.01	<1	0.008	<0.2	<2	73
184.00	185.50	0.03	4	0.008	<0.2	2	129
185.50	187.00	0.04	9	0.006	<0.2	<2	137
187.00	188.50	0.02	<1	0.01	<0.2	<2	91
188.50	190.00	0.04	9	<0.005	<0.2	2	173
190.00	191.50	0.02	1	0.005	<0.2	<2	153
191.50	193.00	0.03	4	0.005	<0.2	3	221
193.00	194.50	0.47	24	0.008	0.7	<2	164
194.50	196.00	0.02	1	0.005	<0.2	<2	111
196.00	197.50	0.02	3	0.005	<0.2	2	147
197.50	199.00	0.04	6	0.007	<0.2	<2	119
199.00	200.50	0.02	3	<0.005	<0.2	3	64
200.50	202.00	0.01	1	<0.005	<0.2	<2	41
202.00	203.50	0.01	2	0.007	<0.2	2	58
203.50	205.00	0.00	1	0.007	<0.2	<2	32
205.00	206.50	0.01	3	0.008	<0.2	<2	14
206.50	208.00	0.003	1	0.009	<0.2	<2	29
208.00	209.50	0.004	1	0.013	<0.2	<2	251
209.50	211.00	0.02	4	0.008	<0.2	2	215
211.00	212.50	0.03	5	0.007	<0.2	2	164
212.50	214.00	0.01	1	0.005	<0.2	<2	29
214.00	215.50	0.04	5	0.007	<0.2	<2	51
215.50	217.00	0.11	2	0.012	0.3	<2	56
217.00	218.50	0.05	2	0.009	0.2	<2	18
218.50	220.00	0.03	3	0.007	<0.2	3	33
220.00	221.50	0.03	47	0.005	<0.2	<2	61
221.50	223.00	0.02	2	0.006	<0.2	<2	55
223.00	224.50	0.15	6	0.005	0.2	<2	87
224.50	226.00	0.03	7	0.016	0.2	2	113
226.00	227.50	0.02	2	0.01	<0.2	2	120
227.50	229.00	0.02	5	0.005	<0.2	<2	76
229.00	230.50	0.01	3	0.005	<0.2	4	40
230.50	232.00	0.05	1	0.022	0.2	<2	23
232.00	233.50	0.01	<1	<0.005	<0.2	2	29
233.50	235.00	0.01	<1	0.009	<0.2	2	21
235.00	236.50	0.01	1	<0.005	<0.2	<2	22

De	A	Cu (%)	Mo (ppm)	Au (ppm)	Ag (ppm)	As (ppm)	Zn (ppm)
236.50	238.00	0.01	<1	<0.005	<0.2	2	33
238.00	239.50	0.01	4	<0.005	<0.2	3	16
239.50	241.00	0.05	5	0.008	<0.2	4	20
241.00	242.50	0.03	2	<0.005	<0.2	3	29
242.50	244.00	0.01	1	0.008	<0.2	5	22
244.00	245.50	0.02	16	0.008	<0.2	4	23
245.50	247.00	0.01	1	0.005	<0.2	2	14
247.00	248.50	0.01	1	0.01	<0.2	<2	19
248.50	250.00	0.03	3	0.006	<0.2	<2	22
250.00	251.50	0.01	1	0.006	<0.2	<2	26
251.50	253.00	0.01	1	0.006	<0.2	<2	12
253.00	254.50	0.01	1	<0.005	<0.2	2	16
254.50	256.00	0.02	3	<0.005	<0.2	2	57
256.00	257.50	0.02	1	<0.005	<0.2	4	33
257.50	259.00	0.01	1	0.005	<0.2	2	18

POZO BO7028

De	A	Cu (%)	Mo (ppm)	Au (ppm)	Ag (ppm)	As (ppm)	Zn (ppm)
0.00	1.50	0.05	2	<0.005	0.2	<2	15
1.50	3.00	0.05	14	0.014	0.2	<2	26
3.00	4.50	0.03	16	0.018	<0.2	<2	10
4.50	6.00	0.03	16	0.035	<0.2	<2	12
6.00	7.50	0.02	13	0.028	<0.2	<2	12
7.50	9.00	0.02	9	<0.005	0.2	<2	41
9.00	10.10	0.32	10	0.028	2.9	<2	93
10.10	12.00	0.21	8	0.007	1	<2	85
12.00	13.50	0.12	13	0.026	1.1	<2	63
13.50	15.00	0.17	7	0.021	1.1	<2	92
15.00	16.50	0.22	115	0.043	1.2	3	101
16.50	18.00	0.08	26	0.02	0.5	<2	80
18.00	19.50	0.19	10	0.016	2	3	106
19.50	20.80	0.01	<1	<0.005	<0.2	<2	194
20.80	21.90	0.16	31	0.018	1.1	<2	87
21.90	23.40	0.10	13	0.013	0.7	<2	132
23.40	24.90	0.40	124	0.036	2.2	2	239
24.90	26.40	0.48	63	0.052	2	4	77
26.40	27.90	0.49	72	0.123	2.1	<2	67
27.90	29.40	0.60	71	0.107	3.1	<2	124
29.40	30.90	0.44	35	0.046	3.8	<2	1750
30.90	32.40	0.35	11	0.035	3.1	2	3480
32.40	33.90	0.27	9	0.027	1.7	<2	393
33.90	35.40	0.34	47	0.027	2.2	<2	498
35.40	36.90	0.10	22	0.023	1	<2	187
36.90	38.40	0.09	6	0.016	1	3	682
38.40	39.90	0.22	4	0.032	1.3	<2	100
39.90	41.40	0.12	3	0.01	0.8	<2	77
41.40	42.90	0.08	1	0.017	0.4	<2	68
42.90	44.40	0.13	4	0.021	0.6	<2	44
44.40	45.90	0.23	146	0.027	1.1	2	40
45.90	47.40	0.10	2	0.009	0.7	<2	120
47.40	48.90	0.21	3	0.029	1.3	<2	68
48.90	50.40	0.22	11	0.03	1.1	2	46
50.40	51.90	0.15	3	0.017	0.7	2	60
51.90	53.40	0.10	11	0.025	0.8	<2	169

De	A	Cu (%)	Mo (ppm)	Au (ppm)	Ag (ppm)	As (ppm)	Zn (ppm)
53.40	54.90	0.09	7	0.016	0.5	<2	58
54.90	56.40	0.06	5	0.012	0.3	2	37
56.40	57.90	0.09	54	0.303	0.7	<2	46
57.90	59.40	0.05	5	0.017	0.2	2	54
59.40	60.90	0.14	2	0.031	0.8	<2	47
60.90	62.40	0.04	8	0.072	0.2	<2	41
62.40	63.90	0.05	1	0.005	0.2	2	49
63.90	65.40	0.09	4	0.016	0.5	<2	60
65.40	66.90	0.06	2	0.018	0.4	<2	45
66.90	68.40	0.07	3	0.022	0.4	<2	34
68.40	69.90	0.05	2	0.015	0.2	<2	35
69.90	71.40	0.04	1	0.018	0.2	<2	44
71.40	72.90	0.07	2	0.019	0.4	<2	126
72.90	74.40	0.14	8	0.026	1.1	5	879
74.40	75.90	0.08	3	0.018	0.8	<2	159
75.90	77.40	0.05	1	<0.005	0.4	<2	103
77.40	78.90	0.14	3	0.028	0.6	<2	27
78.90	80.40	0.15	14	0.037	0.4	<2	19
80.40	81.90	0.11	2	0.2	0.5	12	20
81.90	83.40	0.14	1	0.056	0.6	2	29
83.40	84.90	0.10	1	0.035	0.4	2	32
84.90	86.40	0.05	2	0.024	0.2	<2	33
86.40	87.90	0.07	3	0.036	0.4	<2	35
87.90	89.40	0.03	1	0.007	<0.2	3	29
89.40	90.90	0.06	1	0.033	0.3	<2	36
90.90	92.40	0.03	1	0.029	0.2	<2	35
92.40	93.90	0.09	1	0.074	0.2	2	33
93.90	95.40	0.10	1	0.048	0.4	<2	32
95.40	96.90	0.15	2	0.058	0.6	3	25
96.90	98.40	0.08	3	0.08	0.4	<2	29
98.40	99.90	0.07	9	0.031	0.3	<2	28
99.90	101.40	0.32	14	0.079	0.7	<2	28
101.40	102.90	0.04	1	0.013	0.2	<2	23
102.90	104.40	0.11	4	0.043	0.3	<2	31
104.40	105.90	0.08	5	0.031	0.4	<2	21
105.90	107.40	0.09	3	0.061	0.2	<2	26

De	A	Cu (%)	Mo (ppm)	Au (ppm)	Ag (ppm)	As (ppm)	Zn (ppm)
107.40	108.90	0.17	1	0.081	0.8	<2	25
108.90	110.40	0.10	3	0.052	0.5	<2	17
110.40	111.90	0.05	3	0.026	0.2	<2	23
111.90	113.40	0.04	2	0.021	0.2	<2	23
113.40	114.90	0.06	4	0.023	0.3	5	25
114.90	116.40	0.05	3	0.022	0.3	<2	24
116.40	117.90	0.05	3	0.029	0.3	<2	23
117.90	119.40	0.05	5	0.023	0.3	2	28
119.40	120.90	0.06	5	0.027	0.3	<2	34
120.90	122.40	0.05	5	0.022	0.2	<2	34
122.40	123.90	0.08	3	0.023	0.5	<2	29
123.90	125.40	0.08	2	0.024	0.3	<2	26
125.40	126.90	0.13	2	0.025	0.4	<2	39
126.90	128.40	0.24	3	0.032	0.7	<2	18
128.40	129.90	0.15	14	0.037	0.5	3	52
129.90	131.40	0.18	3	0.041	0.5	2	18
131.40	132.90	0.22	10	0.048	0.7	<2	12
132.90	134.40	0.17	4	0.048	0.5	3	24
134.40	135.90	0.18	2	0.031	0.6	7	22
135.90	137.40	0.33	1	0.068	0.9	10	16
137.40	138.90	0.09	2	0.031	0.5	9	24
138.90	140.40	0.09	3	0.027	0.4	6	23
140.40	141.90	0.07	6	0.019	0.3	6	24
141.90	143.40	0.04	1	0.014	0.3	4	18
143.40	144.90	0.11	5	0.025	0.4	<2	27
144.90	146.40	0.08	2	0.024	0.5	6	20
146.40	147.90	0.19	3	0.05	0.7	4	34
147.90	149.40	0.20	14	0.044	1.1	6	58
149.40	150.90	0.12	2	0.043	0.5	4	23
150.90	152.40	0.12	2	0.041	0.5	3	22
152.40	153.90	0.08	3	0.03	0.4	4	22
153.90	155.40	0.12	1	0.045	0.6	5	28
155.40	156.90	0.07	1	0.026	0.3	3	29
156.90	158.40	0.08	2	0.022	0.4	7	28
158.40	159.90	0.10	1	0.027	0.4	6	27

De	A	Cu (%)	Mo (ppm)	Au (ppm)	Ag (ppm)	As (ppm)	Zn (ppm)
159.90	161.40	0.14	1	0.032	0.6	8	29
161.40	162.90	0.07	1	0.024	0.3	6	30
162.90	164.40	0.08	5	0.027	0.3	2	29
164.40	165.90	0.07	2	0.023	0.5	7	25
165.90	167.40	0.08	1	0.023	0.4	6	27
167.40	168.90	0.05	4	0.013	0.2	4	29
168.90	170.40	0.10	2	0.029	0.4	5	21
170.40	171.90	0.09	1	0.017	0.4	6	28
171.90	173.40	0.06	2	0.017	0.6	8	41
173.40	174.90	0.06	1	0.021	0.5	5	42
174.90	176.40	0.09	3	0.026	0.5	5	34
176.40	177.90	0.21	1	0.048	0.7	5	31
177.90	179.40	0.11	2	0.022	0.5	8	31
179.40	180.90	0.14	1	0.02	0.7	4	38
180.90	182.40	0.10	2	0.019	0.5	6	34
182.40	183.90	0.16	4	0.027	0.6	7	21
183.90	185.40	0.07	3	0.02	0.3	4	19
185.40	186.90	0.12	1	0.035	0.5	6	32
186.90	188.40	0.08	2	0.018	0.3	8	25
188.40	189.90	0.09	2	0.015	0.4	7	29
189.90	191.40	0.07	2	0.024	0.3	6	21
191.40	192.90	0.07	1	0.021	0.3	7	22
192.90	194.40	0.07	2	0.014	0.3	6	23
194.40	195.90	0.08	8	0.027	0.4	5	29
195.90	197.40	0.10	2	0.017	0.4	10	20
197.40	198.90	0.02	27	0.01	0.2	15	165
198.90	200.00	0.01	3	<0.005	<0.2	7	12
200.00	201.90	0.06	4	0.01	0.3	7	20
201.90	203.40	0.07	3	0.012	0.3	9	11
203.40	204.90	0.09	2	0.012	0.3	6	20
204.90	206.40	0.07	2	0.013	0.4	6	39
206.40	207.90	0.09	12	0.012	0.7	7	51
207.90	209.40	0.42	21	0.052	1.3	7	30
209.40	210.90	0.07	11	0.014	0.3	9	27

De	A	Cu (%)	Mo (ppm)	Au (ppm)	Ag (ppm)	As (ppm)	Zn (ppm)
210.90	212.40	0.05	2	0.015	0.2	5	19
212.40	213.90	0.15	1	0.034	0.3	<2	15
213.90	215.40	0.07	5	0.021	<0.2	<2	18
215.40	216.90	0.07	3	0.021	0.2	<2	17
216.90	218.40	0.07	4	0.019	0.2	<2	23
218.40	219.90	0.06	2	0.018	<0.2	<2	46
219.90	221.40	0.23	24	0.039	0.4	<2	17
221.40	222.90	0.08	9	0.021	<0.2	<2	51
222.90	224.40	0.03	1	0.012	<0.2	<2	20
224.40	225.90	0.09	66	0.017	0.8	<2	46
225.90	227.40	0.05	10	0.015	0.4	<2	34
227.40	228.90	0.12	13	0.018	0.6	<2	545
228.90	230.40	0.14	20	0.014	0.5	<2	43
230.40	231.90	0.05	16	0.015	0.2	<2	20
231.90	233.40	0.03	2	0.015	<0.2	<2	21
233.40	234.90	0.08	2	0.021	0.2	<2	26
234.90	236.40	0.13	6	0.031	0.3	<2	28
236.40	237.90	0.05	1	0.021	0.2	<2	17
237.90	239.40	0.15	3	0.028	0.4	<2	24
239.40	240.90	0.06	3	0.019	<0.2	<2	17
240.90	242.40	0.06	4	0.022	0.2	<2	18
242.40	243.90	0.10	1	0.023	0.3	<2	41
243.90	245.40	0.14	11	0.023	0.6	<2	409
245.40	246.90	0.06	1	0.015	<0.2	<2	25
246.90	248.40	0.11	1	0.039	0.3	<2	19
248.40	249.90	0.10	2	0.029	0.2	<2	42
249.90	251.40	0.08	3	0.025	0.4	<2	80
251.40	252.90	0.10	8	0.041	0.3	<2	41
252.90	254.40	0.11	3	0.025	0.5	<2	96
254.40	255.90	0.21	51	0.042	0.4	<2	44
255.90	257.40	0.06	3	0.018	0.2	<2	44
257.40	258.90	0.14	20	0.022	0.7	<2	84
258.90	260.40	0.06	3	0.011	0.4	<2	71
260.40	261.90	0.05	11	0.01	0.2	<2	54

De	A	Cu (%)	Mo (ppm)	Au (ppm)	Ag (ppm)	As (ppm)	Zn (ppm)
261.90	263.40	0.07	60	0.015	0.2	<2	50
263.40	264.90	0.17	8	0.036	0.5	<2	50
264.90	266.40	0.26	18	0.036	0.7	<2	38
266.40	267.90	0.05	1	0.015	<0.2	<2	30
267.90	269.40	0.36	32	0.072	0.8	<2	30
269.40	270.90	0.07	2	0.014	0.2	<2	42
270.90	272.40	0.11	3	0.016	0.6	<2	104
272.40	273.90	0.09	7	0.012	0.4	<2	68
273.90	275.40	0.07	49	0.012	0.2	<2	39
275.40	276.90	0.12	39	0.014	0.3	<2	47
276.90	278.40	0.10	10	0.01	0.6	<2	59
278.40	279.90	0.08	23	0.011	0.6	<2	96
279.90	281.40	0.10	26	0.006	0.4	<2	67
281.40	282.90	0.08	15	0.008	0.4	<2	77
282.90	284.40	0.10	73	0.01	0.4	<2	81
284.40	285.90	0.05	5	0.008	0.2	<2	49
285.90	287.40	0.06	4	0.009	0.2	<2	33
287.40	288.90	0.10	2	0.017	0.4	<2	32
288.90	290.40	0.09	2	0.019	0.3	<2	19
290.40	291.90	0.12	2	0.018	0.4	<2	18
291.90	293.40	0.08	2	0.014	0.4	<2	36
293.40	294.90	0.11	2	0.023	0.7	3	91
294.90	296.40	0.10	3	0.016	0.6	3	123
296.40	297.90	0.08	2	0.011	0.4	<2	35
297.90	299.40	0.14	7	0.041	1	3	150
299.40	300.90	0.10	3	0.018	0.4	2	100
300.90	302.40	0.12	4	0.018	0.3	2	32
302.40	303.90	0.05	52	0.026	0.3	6	120
303.90	305.40	0.07	1	0.012	0.3	2	43
305.40	306.90	0.19	2	0.014	1.2	3	97
306.90	308.40	0.04	2	0.01	<0.2	2	45
308.40	309.90	0.29	3	0.019	1.3	5	87
309.90	311.40	0.24	5	0.057	0.7	<2	48
311.40	312.90	0.07	3	0.022	0.2	<2	21
312.90	314.40	0.09	14	0.011	0.5	3	121

De	A	Cu (%)	Mo (ppm)	Au (ppm)	Ag (ppm)	As (ppm)	Zn (ppm)
314.40	315.90	0.11	4	0.007	0.6	<2	317
315.90	317.40	0.07	2	0.014	0.3	2	39
317.40	318.90	0.08	4	0.018	0.4	<2	41
318.90	320.40	0.11	5	0.026	0.3	<2	33
320.40	321.90	0.07	2	0.013	<0.2	2	39
321.90	323.40	0.05	2	0.011	<0.2	<2	38
323.40	324.90	0.08	1	0.017	<0.2	<2	51
324.90	326.40	0.06	5	0.015	<0.2	5	89
326.40	327.90	0.12	2	0.029	0.3	3	45
327.90	329.40	0.20	2	0.053	0.6	<2	49
329.40	330.90	0.13	5	0.029	0.3	4	31
330.90	332.40	0.12	1	0.033	0.3	5	31
332.40	333.90	0.07	1	0.026	0.2	4	31
333.90	335.40	0.09	4	0.021	0.2	<2	32
335.40	336.90	0.07	4	0.01	0.2	3	106
336.90	338.40	0.07	3	0.014	<0.2	<2	38
338.40	339.90	0.07	6	0.015	0.9	6	68
339.90	341.40	0.05	7	0.012	<0.2	<2	51
341.40	342.90	0.08	12	0.012	0.3	<2	119
342.90	344.40	0.13	3	0.015	0.6	4	138
344.40	345.90	0.09	2	0.008	0.6	5	346
345.90	347.40	0.12	18	0.009	0.7	<2	120
347.40	348.90	0.06	14	<0.005	0.4	3	295
348.90	350.40	0.09	3	0.006	0.3	2	60
350.40	351.90	0.08	4	0.007	0.5	7	80
351.90	353.40	0.07	9	0.012	0.2	3	49
353.40	354.90	0.05	1	0.006	0.2	3	138
354.90	356.40	0.11	3	0.012	0.6	2	201
356.40	357.90	0.07	1	0.012	0.2	2	46
357.90	359.40	0.07	2	0.017	<0.2	4	40
359.40	360.90	0.06	2	0.018	<0.2	3	40
360.90	362.40	0.05	11	0.013	0.2	6	34
362.40	363.90	0.12	2	0.025	0.3	7	39
363.90	365.40	0.15	3	0.03	0.3	6	44
365.40	366.90	0.10	3	0.022	0.2	9	60

De	A	Cu (%)	Mo (ppm)	Au (ppm)	Ag (ppm)	As (ppm)	Zn (ppm)
366.90	368.40	0.06	1	0.014	<0.2	<2	34
368.40	369.90	0.13	1	0.028	0.3	6	40
369.90	371.40	0.10	2	0.02	0.2	4	41
371.40	373.40	0.43	9	0.058	1.3	3	30
373.40	374.70	0.04	1	0.005	<0.2	4	120
374.70	376.20	0.17	38	0.029	0.5	2	34
376.20	377.70	0.18	7	0.033	0.3	3	29
377.70	379.20	0.11	5	0.027	0.2	<2	37
379.20	380.70	0.50	29	0.075	0.9	6	22
380.70	382.20	0.22	28	<0.005	0.5	2	32
382.20	383.70	0.10	27	0.023	0.3	2	39
383.70	385.20	0.23	10	0.027	1	3	54
385.20	386.70	0.23	10	0.03	0.7	8	64
386.70	388.20	0.28	7	0.043	0.8	<2	46
388.20	389.70	0.20	4	0.029	0.4	<2	48
389.70	391.20	0.13	9	0.027	0.3	<2	42
391.20	392.70	0.45	11	0.016	1.7	<2	343
392.70	394.20	0.34	16	0.034	0.7	2	50
394.20	395.70	0.52	76	0.039	0.9	2	31
395.70	397.20	0.45	55	0.03	1	2	66
397.20	398.70	0.61	143	0.072	0.9	5	44
398.70	400.00	0.29	9	0.03	0.5	<2	48
400.00	401.70	0.57	113	0.073	0.9	2	46
401.70	403.20	0.58	52	0.085	0.6	<2	23
403.20	404.70	0.52	47	0.066	0.7	7	32
404.70	406.20	0.56	36	0.071	1	3	66
406.20	407.70	0.78	96	0.073	1.9	<2	121
407.70	409.00	0.02	<1	0.016	<0.2	5	82
409.00	410.50	0.02	<1	0.01	<0.2	4	89
410.50	411.60	0.04	7	0.005	<0.2	<2	95
411.60	413.10	0.08	24	0.01	<0.2	<2	77
413.10	414.60	0.15	98	0.017	0.2	5	76
414.60	416.25	0.14	8	0.014	0.2	4	80

De	A	Cu (%)	Mo (ppm)	Au (ppm)	Ag (ppm)	As (ppm)	Zn (ppm)
416.25	417.75	0.53	45	0.031	0.9	6	50
417.75	419.25	0.33	61	0.036	0.6	2	47
419.25	420.75	0.48	79	0.022	1.7	<2	176
420.75	422.25	0.71	211	0.059	2	2	125
422.25	423.75	0.66	208	0.063	1.2	<2	41
423.75	425.25	0.57	115	0.037	1.5	2	95
425.25	426.75	0.40	56	0.029	1.4	<2	75
426.75	428.25	0.30	79	0.027	0.6	4	52
428.25	429.75	0.45	140	0.038	0.9	5	56
429.75	431.25	0.64	301	0.059	1.1	5	59
431.25	432.75	0.53	365	0.064	0.7	3	33
432.75	434.25	0.54	212	0.06	1.1	<2	24
434.25	435.75	0.33	117	0.051	0.7	<2	25
435.75	437.25	0.50	62	0.088	0.9	<2	24
437.25	438.75	0.41	41	0.049	0.9	<2	29
438.75	440.25	0.51	50	0.114	1	<2	26
440.25	441.75	0.36	16	0.071	0.7	<2	24
441.75	443.25	0.61	110	0.117	1.3	<2	37
443.25	444.75	0.69	50	0.146	1.1	<2	35
444.75	446.25	0.77	377	0.164	1.4	<2	33
446.25	447.75	0.78	182	0.096	2.1	<2	42
447.75	449.25	0.42	186	0.06	0.9	<2	33
449.25	450.75	0.27	47	0.037	0.5	<2	31
450.75	452.25	0.27	69	0.042	0.7	<2	77
452.25	453.75	0.27	48	0.035	0.5	<2	40
453.75	455.25	0.30	363	0.043	0.5	<2	42
455.25	456.75	0.22	48	0.024	0.6	<2	42
456.75	458.25	0.39	152	0.043	0.9	<2	34
458.25	459.75	0.20	76	0.032	0.3	<2	36
459.75	461.25	0.51	155	0.084	1.2	<2	48
461.25	462.75	0.17	18	0.031	0.4	<2	29
462.75	464.25	0.12	55	0.028	<0.2	<2	27
464.25	465.75	0.12	16	0.03	0.3	<2	35

De	A	Cu (%)	Mo (ppm)	Au (ppm)	Ag (ppm)	As (ppm)	Zn (ppm)
465.75	467.25	0.31	35	0.037	0.7	2	81
467.25	468.75	0.25	247	0.029	0.5	<2	42
468.75	470.25	0.29	253	0.047	0.8	<2	69
470.25	471.75	0.19	38	0.026	0.6	<2	58
471.75	473.25	0.18	33	0.017	0.5	<2	56
473.25	474.75	0.10	5	0.009	0.3	<2	48
474.75	476.25	0.21	13	0.016	0.7	<2	42
476.25	477.75	0.10	6	0.018	0.5	<2	44
477.75	479.25	0.21	27	0.023	1	<2	55
479.25	480.75	0.18	40	0.025	0.5	<2	51
480.75	482.25	0.28	110	0.037	0.6	<2	48
482.25	483.75	0.39	82	0.029	0.9	<2	309
483.75	485.25	0.86	599	1.94	4.3	34	78
485.25	486.75	0.31	20	0.033	0.7	<2	56
486.75	488.25	0.20	2	0.019	0.4	<2	68
488.25	489.75	0.40	13	0.064	0.7	<2	36
489.75	491.25	0.44	3	0.056	0.8	<2	65
491.25	492.75	0.58	5	0.036	1.2	<2	107
492.75	494.25	0.64	10	0.088	1	<2	49
494.25	495.75	>1	27	0.157	1.7	<2	97
495.75	497.25	0.32	54	0.048	0.9	<2	33
497.25	498.75	0.59	37	0.092	1.1	<2	43
498.75	500.25	0.61	68	0.091	1.1	<2	44
500.25	501.75	0.42	27	0.063	0.9	<2	35
501.75	503.25	0.45	6	0.076	0.9	<2	36
503.25	504.75	0.34	14	0.058	0.6	<2	37
504.75	506.25	0.45	10	0.08	0.9	<2	41
506.25	507.75	0.25	5	0.027	0.4	<2	35
507.75	508.70	>1	78	0.102	2.5	<2	58

POZO B07032

De	A	Cu (%)	Mo (ppm)	Au (ppm)	Ag (ppm)	As (ppm)	Zn (ppm)
0.00	1.50	0.03	1	0.026	<0.2	<2	12
1.50	2.80	0.04	4	0.092	0.3	<2	24
2.80	4.00	0.04	3	0.06	<0.2	<2	35
4.00	5.50	0.04	2	0.018	<0.2	<2	13
5.50	7.00	0.05	1	0.012	<0.2	<2	34
7.00	8.10	0.07	1	0.015	0.3	<2	29
8.10	10.00	0.10	2	0.029	0.3	<2	46
10.00	13.00	0.09	1	0.008	0.3	<2	54
0.00	0.00	0.08	1	0.012	0.3	<2	36
13.00	16.00	0.11	1	0.01	0.4	<2	65
16.00	17.50	0.10	1	0.016	<0.2	<2	77
17.50	19.00	0.05	<1	0.008	0.2	<2	118
19.00	20.20	0.24	2	0.013	0.9	<2	153
20.20	21.70	0.20	2	0.024	0.9	2	114
21.70	23.20	0.08	1	0.015	0.7	<2	110
23.20	24.70	0.07	2	0.017	<0.2	3	226
24.70	26.00	0.10	2	0.01	0.6	2	143
26.00	27.50	0.01	<1	0.006	<0.2	4	214
27.50	29.00	0.04	3	0.01	0.3	<2	190
29.00	30.50	0.09	2	0.026	1.1	<2	117
30.50	32.00	0.11	4	0.013	0.6	<2	139
32.00	33.50	0.23	9	0.025	0.9	<2	117
33.50	35.00	0.10	4	0.019	0.5	<2	75
35.00	36.00	0.11	5	0.03	0.4	<2	62
36.00	37.50	0.13	3	0.07	0.5	<2	56
37.50	39.00	0.17	20	0.024	0.7	<2	73
39.00	40.50	0.06	19	0.019	0.2	<2	43
40.50	42.00	0.08	9	0.013	0.6	<2	95
42.00	43.50	0.09	10	0.046	0.4	<2	236
43.50	45.00	0.06	3	0.019	<0.2	<2	56
45.00	46.50	0.15	13	0.022	0.6	<2	110
46.50	48.00	0.05	2	0.008	<0.2	<2	92
48.00	49.50	0.06	4	0.016	0.2	<2	67
49.50	51.00	0.10	2	0.013	0.5	<2	84
51.00	52.50	0.06	2	0.014	0.2	<2	65

De	A	Cu (%)	Mo (ppm)	Au (ppm)	Ag (ppm)	As (ppm)	Zn (ppm)
52.50	54.00	0.06	2	0.01	0.2	<2	50
54.00	55.50	0.04	1	0.011	<0.2	<2	163
55.50	57.00	0.11	6	0.016	0.4	<2	104
57.00	58.50	0.12	2	0.032	0.5	<2	99
58.50	60.00	0.07	3	0.026	0.3	<2	59
60.00	61.50	0.04	2	0.008	0.2	<2	78
61.50	63.00	0.02	2	<0.005	<0.2	<2	84
63.00	64.50	0.02	1	0.01	<0.2	<2	41
64.50	66.00	0.03	1	0.011	<0.2	<2	41
66.00	67.50	0.12	2	0.034	0.7	<2	42
67.50	69.00	0.08	3	0.019	0.5	<2	70
69.00	70.50	0.05	1	0.009	0.2	<2	46
70.50	72.00	0.10	1	0.021	0.4	<2	48
72.00	73.50	0.05	1	0.008	0.4	<2	75
73.50	75.00	0.37	4	0.077	3.1	<2	172
75.00	76.50	0.07	4	0.045	0.6	4	109
76.50	78.00	0.05	<1	<0.005	0.5	<2	187
78.00	79.50	0.02	1	<0.005	0.3	<2	50
79.50	81.00	0.08	1	0.021	0.4	<2	56
81.00	82.50	0.04	2	0.01	0.2	<2	56
82.50	84.00	0.06	1	0.017	0.5	<2	49
84.00	85.50	0.04	2	0.008	0.3	<2	43
85.50	87.00	0.08	1	0.011	0.6	<2	67
87.00	88.50	0.08	9	0.025	0.5	<2	48
88.50	90.00	0.07	1	0.025	0.4	<2	28
90.00	91.50	0.09	3	0.025	0.5	<2	27
91.50	93.00	0.05	3	0.014	0.4	<2	69
93.00	94.50	0.18	4	0.161	1.4	<2	346
94.50	96.00	0.05	4	0.021	0.3	<2	34
96.00	97.50	0.07	4	0.023	0.5	<2	30
97.50	99.00	0.05	6	0.057	0.3	<2	25
99.00	100.50	0.06	2	0.085	0.2	<2	39
100.50	102.00	0.04	2	0.05	0.3	<2	56
102.00	103.50	0.06	2	0.039	0.3	<2	29
103.50	105.00	0.04	3	0.016	0.2	<2	35

De	A	Cu (%)	Mo (ppm)	Au (ppm)	Ag (ppm)	As (ppm)	Zn (ppm)
105.00	106.50	0.04	1	0.018	<0.2	<2	37
106.50	108.39	0.03	2	0.052	<0.2	<2	54
108.39	109.50	0.04	10	<0.005	0.6	<2	258
109.50	111.00	0.33	8	0.267	1.7	9	199
111.00	112.50	0.17	18	0.243	1.1	8	51
112.50	114.22	0.13	10	0.088	0.8	10	68
114.22	115.50	0.04	6	0.016	0.2	<2	32
115.50	117.00	0.08	7	0.021	0.5	<2	36
117.00	118.50	0.06	4	0.032	0.6	<2	790
118.50	120.00	0.14	8	0.141	1	<2	135
120.00	121.50	0.17	5	0.029	1.1	<2	396
121.50	123.00	0.08	5	0.026	0.4	<2	32
123.00	124.50	0.07	18	0.015	0.5	<2	633
124.50	126.00	0.07	34	0.015	0.9	<2	340
126.00	127.50	0.11	3	0.021	0.4	<2	63
127.50	129.00	0.08	12	0.019	0.3	<2	34
129.00	130.50	0.11	20	0.117	0.5	<2	69
130.50	132.00	0.04	9	0.013	0.2	<2	40
132.00	133.50	0.03	15	0.006	0.3	<2	161
133.50	135.00	0.07	24	0.014	0.4	<2	66
135.00	136.50	0.13	3	0.027	0.5	<2	34
136.50	138.00	0.07	41	0.018	0.5	<2	97
138.00	139.50	0.06	3	0.005	0.3	<2	54
139.50	141.00	0.08	5	0.018	0.5	<2	43
141.00	142.50	0.11	15	0.02	0.4	<2	34
142.50	144.00	0.09	43	0.014	0.5	<2	129
144.00	145.50	0.09	5	0.023	0.3	<2	26
145.50	146.00	0.06	20	0.013	0.3	<2	26
146.00	148.50	0.05	9	0.007	0.3	<2	180
148.50	150.40	0.09	7	0.008	0.7	4	269
150.40	151.50	0.12	8	0.029	0.5	<2	50
151.50	153.00	0.10	10	0.048	0.3	2	54
153.00	154.50	0.17	23	0.052	0.6	2	44
154.50	156.00	0.06	10	0.006	0.4	<2	326
156.00	157.35	0.24	7	0.048	0.9	2	76

De	A	Cu (%)	Mo (ppm)	Au (ppm)	Ag (ppm)	As (ppm)	Zn (ppm)
157.35	159.00	0.08	6	0.028	0.3	2	42
159.00	160.50	0.12	8	0.034	0.7	<2	43
160.50	162.00	0.06	5	0.01	0.2	<2	77
162.00	163.50	0.05	5	0.009	0.2	<2	63
163.50	165.00	0.06	5	0.012	0.2	<2	19
165.00	166.50	0.09	7	0.023	0.4	<2	34
166.50	168.00	0.07	6	0.019	0.3	<2	70
168.00	169.50	0.07	4	0.018	0.2	<2	25
169.50	171.00	0.07	3	0.021	0.3	<2	28
171.00	172.50	0.08	78	0.024	0.4	<2	245
172.50	174.00	0.08	4	0.019	0.3	4	68
174.00	175.50	0.09	5	0.028	0.2	2	34
175.50	177.00	0.06	10	0.012	0.3	<2	146
177.00	178.50	0.05	2	0.015	0.2	<2	53
178.50	180.00	0.04	1	0.009	0.2	<2	30
180.00	181.68	0.08	2	0.011	0.5	<2	78
181.68	183.00	0.21	2	0.037	0.6	2	37
183.00	184.50	0.17	1	0.034	0.5	<2	27
184.50	186.23	0.08	3	0.021	0.2	<2	138
186.23	187.50	0.13	5	0.034	0.4	3	44
187.50	189.00	0.09	31	0.024	0.6	<2	7680
189.00	190.50	0.06	2	0.016	<0.2	<2	28
190.50	192.00	0.05	2	0.012	<0.2	<2	30
192.00	193.50	0.08	3	0.021	0.3	<2	81
193.50	195.00	0.08	3	0.015	0.2	<2	28
195.00	196.50	0.08	1	0.017	0.3	<2	24
196.50	198.00	0.11	12	0.019	0.4	<2	540
198.00	199.50	0.11	2	0.037	0.3	<2	27
199.50	201.00	0.19	1	0.043	0.5	<2	26
201.00	202.50	0.10	2	0.029	0.3	<2	48
202.50	204.00	0.11	1	0.03	0.5	<2	33
204.00	205.50	0.27	7	0.033	1.3	<2	283
205.50	207.00	0.14	3	0.03	0.4	<2	72
207.00	208.50	0.06	2	0.014	0.2	2	27
208.50	210.00	0.07	1	0.016	0.2	2	29

De	A	Cu (%)	Mo (ppm)	Au (ppm)	Ag (ppm)	As (ppm)	Zn (ppm)
210.00	211.50	0.09	2	0.019	0.3	2	88
211.50	213.50	0.07	2	0.014	0.2	<2	20
213.50	214.50	0.07	221	0.014	0.2	<2	25
214.50	216.00	0.07	6	0.017	0.2	3	253
216.00	217.50	0.07	2	0.02	0.2	3	24
217.50	219.00	0.05	3	0.006	0.3	2	30
219.00	220.50	0.04	5	0.006	0.4	<2	39
220.50	222.00	0.06	38	<0.005	0.4	3	323
222.00	223.50	0.05	4	<0.005	0.3	<2	38
223.50	225.00	0.07	2	0.005	0.3	2	53
225.00	227.50	0.10	5	0.011	0.3	4	71
227.50	228.50	0.11	4	0.021	0.3	<2	47
228.50	229.50	0.11	4	0.012	0.2	2	21
229.50	231.00	0.12	3	0.015	<0.2	4	41
231.00	232.50	0.10	5	0.019	0.2	<2	34
232.50	234.00	0.07	1	0.021	0.2	<2	49
234.00	235.12	0.19	6	0.032	0.3	<2	29
235.12	237.00	0.11	4	0.02	<0.2	2	23
237.00	238.50	0.11	7	0.019	<0.2	<2	28
238.50	240.00	0.12	3	0.017	0.2	<2	37
240.00	240.85	0.15	24	0.02	0.3	<2	31
240.85	243.00	0.05	1	0.013	<0.2	<2	26
243.00	244.50	0.15	5	0.04	0.3	<2	15
244.50	246.00	0.20	17	0.053	0.4	<2	16
246.00	247.50	0.13	6	0.029	0.2	<2	41
247.50	249.50	0.16	19	0.035	0.3	<2	22
249.50	250.70	0.11	2	0.022	0.3	<2	88
250.70	251.90	0.15	13	0.027	0.4	<2	54
251.90	253.40	0.25	12	0.034	2.3	<2	2530
253.40	254.90	0.24	49	0.042	0.5	<2	53
254.90	256.50	0.07	15	0.019	<0.2	<2	15
256.50	258.00	0.07	12	0.01	0.3	<2	37
258.00	259.50	0.15	10	0.028	0.7	<2	53
259.50	261.00	0.27	13	0.046	0.6	<2	18
261.00	262.50	0.19	3	0.023	0.4	<2	19

De	A	Cu (%)	Mo (ppm)	Au (ppm)	Ag (ppm)	As (ppm)	Zn (ppm)
262.50	264.00	0.17	7	0.031	0.4	<2	22
264.00	265.50	0.15	70	0.033	0.3	<2	30
265.50	267.00	0.14	48	0.035	0.3	<2	17
267.00	268.50	0.14	15	0.033	0.4	<2	21
268.50	270.00	0.21	28	0.075	0.3	2	30
270.00	271.50	0.18	62	0.042	0.4	<2	23
271.50	273.50	0.13	6	0.03	0.2	2	28
273.50	274.50	0.17	3	0.083	0.4	<2	254
274.50	276.00	0.16	29	0.033	0.2	2	27
276.00	277.50	0.16	2	0.045	0.4	<2	26
277.50	279.00	0.20	29	0.053	0.6	<2	61
279.00	280.50	0.24	13	0.044	0.5	2	43
280.50	282.00	0.18	95	0.033	0.5	2	311
282.00	283.50	0.45	9	0.078	1	<2	32
283.50	285.00	0.35	193	0.058	0.7	<2	31
285.00	286.00	0.33	383	0.068	0.8	<2	27
286.00	287.00	0.61	200	0.114	1.2	<2	36
287.00	288.00	0.32	3	0.084	0.7	3	33
288.00	289.50	0.35	8	0.094	0.8	<2	28
289.50	291.00	0.50	107	0.109	1.2	2	33
291.00	292.50	0.85	190	0.165	1.6	<2	34
292.50	294.00	0.51	19	0.116	1.2	2	31
294.00	295.50	0.32	270	0.063	0.8	<2	29
295.50	297.00	0.45	11	0.088	1	<2	38
297.00	298.50	0.17	119	0.037	0.3	<2	29
298.50	300.00	0.24	65	0.046	0.7	<2	26
300.00	301.50	0.35	18	0.064	1.1	<2	32
301.50	303.00	0.17	10	0.03	0.5	<2	37
303.00	304.50	0.22	47	0.045	0.7	<2	54
304.50	305.50	0.11	9	0.023	0.4	<2	42
305.50	306.50	0.21	16	0.033	0.8	2	41
306.50	307.63	0.49	29	0.069	1.3	<2	54
307.63	308.70	0.01	1	<0.005	<0.2	<2	93
308.70	309.70	0.36	10	0.06	1.1	7	60
309.70	310.70	0.56	59	0.08	1.6	<2	49

De	A	Cu (%)	Mo (ppm)	Au (ppm)	Ag (ppm)	As (ppm)	Zn (ppm)
310.70	312.00	0.60	52	0.055	3.7	<2	1030
312.00	313.50	0.17	10	0.025	0.7	2	37
313.50	315.00	0.14	4	0.028	0.4	<2	26
315.00	316.50	0.48	51	0.115	1.8	<2	53
316.50	317.16	0.87	106	0.971	4	<2	416
317.16	318.00	0.83	37	0.124	2.6	<2	42
318.00	319.50	0.85	33	0.075	2.7	<2	69
319.50	321.00	0.11	10	0.025	0.4	3	33
321.00	322.50	0.75	71	0.148	2.2	<2	42
322.50	324.00	0.47	16	0.098	1.4	2	45
324.00	325.50	>1	111	0.169	3.2	3	73
325.50	327.00	0.59	51	0.068	1.7	3	81
327.00	328.50	0.25	8	0.052	0.7	<2	51
328.50	330.00	0.23	24	0.039	0.7	<2	51
330.00	331.50	0.33	27	0.029	1.3	<2	168
331.50	333.00	0.38	32	0.082	1.1	3	43
333.00	334.50	0.27	23	0.049	0.8	2	81
334.50	336.00	0.30	2	0.043	0.8	<2	58
336.00	337.50	0.39	20	0.053	1	<2	60
337.50	339.00	0.69	38	0.056	3	3	256
339.00	340.50	0.60	129	0.067	3.1	<2	217
340.50	342.00	0.82	77	0.062	3	<2	159
342.00	343.50	0.52	72	0.047	1.7	<2	136
343.50	345.00	0.76	57	0.067	1.8	<2	44
345.00	346.50	0.62	119	0.045	1.6	2	59
346.50	348.00	0.47	72	0.047	1.2	2	112
348.00	349.50	0.70	59	0.06	1.5	4	54
349.50	351.00	0.71	112	0.1	1.6	<2	43
351.00	352.50	0.69	59	0.092	1.3	<2	60
352.50	354.00	0.43	40	0.058	0.8	<2	31
354.00	355.50	>1	95	0.171	2.5	<2	83
355.50	357.00	>1	160	0.075	2.1	<2	79
357.00	358.50	0.94	318	0.107	2.2	2	504
358.50	360.00	0.44	245	0.051	1	<2	66
360.00	361.50	0.40	121	0.051	0.8	<2	31

De	A	Cu (%)	Mo (ppm)	Au (ppm)	Ag (ppm)	As (ppm)	Zn (ppm)
361.50	363.00	0.62	85	0.067	1.5	<2	79
363.00	364.50	0.44	415	0.06	1	<2	55
364.50	366.00	0.86	801	0.081	2	2	101
366.00	366.88	>1	845	0.11	2.4	<2	371
366.88	367.50	0.63	138	0.076	1.7	<2	243
367.50	369.00	0.46	570	0.059	0.9	<2	159
369.00	370.50	0.57	477	0.058	1.3	<2	206
370.50	372.00	0.73	551	0.062	1.7	<2	690
372.00	373.50	0.44	418	0.044	1.3	<2	294
373.50	375.00	0.94	134	0.044	5.1	<2	2680
375.00	376.50	0.92	121	0.143	1.4	<2	32
376.50	378.00	0.91	210	0.119	1.6	<2	92
378.00	379.50	0.74	652	0.047	2.3	<2	325
379.50	381.00	0.56	510	0.076	1.2	<2	56
381.00	382.50	0.69	1350	0.078	1.6	<2	57
382.50	384.00	0.46	86	0.059	1.1	<2	119
384.00	385.50	0.60	375	0.07	2.3	<2	547
385.50	387.00	0.54	239	0.04	1.8	<2	471
387.00	388.80	0.62	593	0.044	2.6	<2	133
388.80	390.30	0.72	196	0.045	2.8	<2	319
390.30	391.80	0.72	175	0.058	2.4	<2	101
391.80	393.30	0.51	261	0.091	1.6	<2	505
393.30	394.90	0.46	294	0.034	1.1	<2	110
394.90	396.40	0.01	1	0.01	<0.2	<2	82
396.40	397.90	0.01	1	<0.005	<0.2	<2	83
397.90	399.40	0.04	113	0.005	0.2	<2	115
399.40	400.50	0.01	66	<0.005	0.3	<2	88
400.50	402.00	0.41	347	0.084	0.9	2	839
402.00	403.50	0.40	454	0.083	0.9	<2	29
403.50	405.00	0.41	519	0.086	0.8	<2	16
405.00	406.50	0.38	218	0.075	0.7	<2	23
406.50	407.70	0.31	182	0.053	0.9	<2	49
407.70	408.80	0.34	69	0.064	0.6	<2	20
408.80	410.30	0.30	619	0.041	0.9	2	43
410.30	411.80	0.70	527	0.057	2.4	<2	264

De	A	Cu (%)	Mo (ppm)	Au (ppm)	Ag (ppm)	As (ppm)	Zn (ppm)
411.80	413.30	0.58	130	0.094	1.3	<2	47
413.30	414.80	0.38	598	0.04	1	<2	68
414.80	416.30	0.49	907	0.06	1.1	<2	31
416.30	417.80	0.32	162	0.031	0.8	<2	75
417.80	419.30	0.35	92	0.031	0.8	<2	59
419.30	420.80	0.18	21	0.016	0.4	3	23
420.80	422.30	0.24	38	0.044	0.7	5	23
422.30	423.80	0.16	71	0.012	0.3	<2	28
423.80	425.30	0.19	276	0.02	0.3	5	20
425.30	426.80	0.23	119	0.022	0.7	<2	60
426.80	428.30	0.22	11	0.015	0.4	2	22
428.30	429.80	0.24	127	0.021	0.5	3	22
429.80	431.30	0.30	51	0.018	0.6	3	22
431.30	432.70	0.29	37	0.03	0.4	2	28
432.70	434.20	0.10	18	0.023	0.3	<2	19
434.20	434.80	0.25	11	0.039	0.7	<2	28
434.80	436.30	0.38	17	0.042	0.6	<2	36
436.30	437.80	0.41	23	0.07	0.6	2	38
437.80	439.30	0.15	11	0.021	<0.2	2	25
439.30	440.80	0.71	43	0.166	1.4	4	202
440.80	442.30	0.45	4	0.044	0.9	4	58
442.30	443.80	0.38	20	0.026	0.7	4	71
443.80	445.30	0.45	13	0.036	0.8	3	48
445.30	446.80	0.70	235	0.07	1.4	2	90
446.80	448.40	0.23	36	0.031	0.5	3	64
448.40	449.90	0.39	67	0.128	1.5	2	78
449.90	451.40	0.31	79	0.071	0.8	<2	84
451.40	452.70	0.02	2	<0.005	<0.2	3	124
452.70	454.20	0.42	41	0.047	1.3	<2	77
454.20	455.70	0.32	32	0.062	0.5	<2	65
455.70	457.20	0.38	111	0.047	0.8	3	68
457.20	458.70	0.47	55	0.212	1.8	3	24
458.70	460.60	0.31	7	0.066	0.6	<2	33
460.60	462.10	0.01	1	<0.005	<0.2	3	101
462.10	463.60	0.03	15	<0.005	<0.2	4	109
463.60	465.10	0.23	36	0.018	0.3	4	82

De	A	Cu (%)	Mo (ppm)	Au (ppm)	Ag (ppm)	As (ppm)	Zn (ppm)
465.10	466.60	0.01	<1	<0.005	<0.2	3	97
466.60	467.70	0.08	15	0.009	<0.2	6	95
467.70	469.20	0.43	175	0.063	0.8	3	39
469.20	470.70	0.25	53	0.031	0.6	<2	80
470.70	472.20	0.28	281	0.043	0.3	<2	32
472.20	473.70	0.44	63	0.105	0.8	<2	26
473.70	475.20	0.32	13	0.063	0.5	2	33
475.20	476.70	0.31	15	0.046	0.5	<2	35
476.70	478.20	0.30	279	0.052	0.9	3	41
478.20	479.70	0.32	65	0.055	1	<2	57
479.70	481.20	0.22	55	0.033	0.6	<2	29
481.20	482.70	0.11	31	0.023	0.3	4	20
482.70	484.20	0.44	106	0.066	1.2	<2	42
484.20	484.85	0.77	127	0.077	1.8	<2	95
484.85	486.35	0.01	2	<0.005	0.2	<2	87
486.35	487.35	0.01	<1	<0.005	<0.2	4	93
487.35	488.85	0.01	<1	<0.005	<0.2	<2	90
488.85	490.35	0.01	<1	<0.005	<0.2	2	91
490.35	491.05	0.01	6	0.009	<0.2	<2	110
491.05	492.55	0.21	87	0.011	0.8	<2	212
492.55	494.05	0.16	49	0.016	0.6	<2	87
494.05	495.55	0.22	83	0.037	0.4	<2	59
495.55	497.05	0.31	166	0.039	0.9	<2	186
497.05	498.55	0.23	9	0.033	0.5	<2	75
498.55	500.05	0.24	26	0.031	0.5	<2	101
500.05	501.55	0.74	80	0.029	2.1	2	128
501.55	503.05	0.25	46	0.029	0.4	<2	68
503.05	504.55	0.12	3	0.023	0.2	<2	35
504.55	506.05	0.14	67	0.02	0.5	2	126
506.05	507.55	0.17	15	0.018	0.4	<2	61
507.55	509.05	0.16	16	0.033	0.3	<2	35
509.05	510.55	0.23	29	0.039	0.4	<2	79
510.55	512.05	0.28	10	0.041	0.4	<2	74
512.05	513.55	0.29	36	0.051	0.5	2	29
513.55	515.05	0.17	23	0.035	0.3	2	27

De	A	Cu (%)	Mo (ppm)	Au (ppm)	Ag (ppm)	As (ppm)	Zn (ppm)
515.05	516.55	0.20	33	0.045	0.4	<2	30
516.55	518.05	0.16	20	0.034	0.2	<2	42
518.05	519.55	0.56	33	0.039	1.8	<2	124
519.55	521.05	0.25	29	0.055	0.6	<2	30
521.05	522.00	0.14	13	0.024	0.4	5	92

POZO B07035

De	A	Cu (%)	Mo (ppm)	Au (ppm)	Ag (ppm)	As (ppm)	Zn (ppm)
0.00	1.50	0.04	41	0.076	1.4	<2	195
1.50	3.00	0.05	5	0.056	2.1	<2	336
3.00	4.50	0.04	1	0.013	0.7	<2	973
4.50	6.00	0.11	5	0.028	2.2	<2	127
6.00	7.50	0.74	28	0.022	5.3	<2	359
7.50	9.00	0.20	37	0.02	2	<2	568
9.00	10.50	0.23	36	0.018	2.6	3	532
10.50	11.70	0.14	3	0.01	0.8	<2	328
11.70	13.20	0.16	5	0.021	1.1	<2	137
13.20	14.70	0.17	1	0.024	0.8	<2	76
14.70	16.20	0.44	20	0.025	2.6	<2	213
16.20	17.70	0.71	2	0.04	3.8	<2	101
17.70	19.20	0.35	3	0.032	1.8	<2	104
19.20	20.70	0.22	3	0.04	0.7	<2	160
20.70	22.20	0.08	2	0.014	0.4	<2	79
22.20	23.70	0.09	34	0.023	0.7	<2	699
23.70	25.20	0.14	9	0.023	0.5	<2	91
25.20	26.70	0.16	3	0.034	0.4	<2	32
26.70	28.20	0.40	5	0.029	1.8	<2	223
28.20	29.70	0.33	6	0.025	1.9	<2	250
29.70	31.20	0.41	1	0.037	2	<2	136
31.20	32.70	0.25	1	0.041	0.8	<2	44
32.70	34.20	0.17	1	0.049	1.4	2	165
34.20	35.70	0.16	2	0.033	1	<2	180
35.70	37.20	0.28	90	0.077	4	<2	1025
37.20	38.70	0.29	5	0.058	1.8	<2	51
38.70	40.20	0.26	15	0.033	1.4	<2	275
40.20	41.70	0.15	2	0.039	0.8	<2	33
41.70	43.20	0.14	1	0.037	0.7	<2	37
43.20	44.70	0.11	3	0.016	0.6	<2	66
44.70	46.20	0.14	4	0.023	1.1	<2	621
46.20	47.70	0.32	22	0.05	2	<2	284
47.70	49.20	0.25	9	0.041	1	<2	56
49.20	50.70	0.11	4	0.045	0.9	<2	164
50.70	52.20	0.16	1	0.046	1.3	<2	280

De	A	Cu (%)	Mo (ppm)	Au (ppm)	Ag (ppm)	As (ppm)	Zn (ppm)
52.20	53.70	0.16	3	0.063	0.9	<2	452
53.70	55.20	0.19	<1	0.035	0.7	<2	54
55.20	56.70	0.37	5	0.034	1.9	<2	82
56.70	58.20	0.12	6	0.015	0.6	3	81
58.20	59.70	0.18	6	0.021	1.5	2	302
59.70	61.20	0.13	2	0.028	0.7	<2	125
61.20	62.70	0.20	3	0.039	0.8	<2	60
62.70	64.20	0.22	5	0.042	1.5	<2	271
64.20	65.70	0.13	11	0.038	1.1	<2	148
65.70	67.20	0.23	27	0.029	1.3	3	92
67.20	68.70	0.20	11	0.035	1.7	2	325
68.70	70.20	0.14	4	0.04	1	5	606
70.20	71.70	0.08	1	0.024	0.4	<2	47
71.70	73.20	0.09	4	0.02	0.5	3	72
73.20	74.70	0.14	11	0.025	0.6	<2	46
74.70	76.20	0.18	16	0.045	0.7	<2	33
76.20	77.70	0.11	19	0.031	0.5	<2	31
77.70	79.20	0.12	12	0.038	0.4	5	43
79.20	80.70	0.12	14	0.023	0.4	<2	34
80.70	82.20	0.18	9	0.019	0.6	<2	55
82.20	83.70	0.48	13	0.066	1.4	3	41
83.70	85.20	0.12	31	0.018	0.5	5	100
85.20	86.70	0.20	110	0.023	0.6	<2	37
86.70	88.20	0.13	8	0.026	0.5	3	46
88.20	89.70	0.18	74	0.021	1.2	<2	965
89.70	91.20	0.18	35	0.026	1	<2	272
91.20	92.70	0.24	15	0.023	1.5	3	171
92.70	94.20	0.21	23	0.127	0.7	5	87
94.20	95.20	0.02	2	0.007	<0.2	2	118
95.20	96.70	0.21	14	0.045	0.7	<2	66
96.70	97.90	0.11	51	0.019	0.7	3	181
97.90	99.40	0.02	<1	0.012	<0.2	<2	122
99.40	100.90	0.02	<1	0.072	<0.2	<2	126
100.90	102.40	0.02	<1	0.007	<0.2	<2	107
102.40	103.30	0.03	1	0.012	<0.2	<2	123

De	A	Cu (%)	Mo (ppm)	Au (ppm)	Ag (ppm)	As (ppm)	Zn (ppm)
103.30	104.80	0.18	6	0.021	1.3	<2	229
104.80	106.50	0.04	<1	0.012	0.3	<2	137
106.50	108.00	0.17	19	0.022	0.9	3	136
108.00	109.50	0.24	33	0.046	1.2	<2	63
109.50	111.00	0.18	6	0.03	1.4	<2	76
111.00	112.50	0.40	39	0.072	2.9	<2	73
112.50	114.00	0.24	37	0.047	1.4	2	78
114.00	115.50	0.13	5	0.023	0.9	2	72
115.50	117.00	0.13	7	0.035	0.5	3	32
117.00	118.50	0.10	2	0.024	0.4	<2	43
118.50	120.00	0.08	1	0.012	0.3	2	45
120.00	121.50	0.07	1	0.008	0.4	2	71
121.50	123.00	0.14	2	0.105	0.5	<2	33
123.00	124.50	0.10	2	0.057	0.3	2	24
124.50	126.00	0.10	2	0.031	0.3	<2	20
126.00	127.50	0.05	1	0.019	0.2	2	17
127.50	129.00	0.05	1	0.013	0.2	<2	16
129.00	130.50	0.03	1	0.011	<0.2	<2	25
130.50	132.00	0.02	12	0.018	<0.2	<2	18
132.00	133.50	0.01	3	0.009	<0.2	<2	18
133.50	135.00	0.03	3	0.023	<0.2	<2	21
135.00	136.50	0.02	1	0.012	<0.2	<2	16
136.50	138.00	0.04	1	0.016	0.2	<2	14
138.00	139.50	0.05	1	0.022	0.2	<2	16
139.50	141.00	0.06	2	0.028	0.2	4	21
141.00	142.50	0.08	1	0.027	0.3	<2	22
142.50	144.00	0.06	26	0.022	0.2	<2	35
144.00	145.50	0.20	18	0.046	0.7	<2	52
145.50	147.00	0.14	4	0.03	0.8	<2	125
147.00	148.50	0.10	2	0.008	0.9	<2	1145
148.50	150.00	0.11	2	0.021	0.3	<2	35
150.00	151.50	0.05	2	0.011	0.2	<2	23
151.50	153.00	0.03	5	0.008	<0.2	<2	19
153.00	154.50	0.05	1	0.013	0.2	<2	29
154.50	156.00	0.05	1	0.008	0.2	2	51

De	A	Cu (%)	Mo (ppm)	Au (ppm)	Ag (ppm)	As (ppm)	Zn (ppm)
156.00	157.50	0.05	<1	0.008	0.3	<2	66
157.50	159.00	0.08	4	0.02	0.4	3	56
159.00	160.50	0.12	2	0.023	0.6	<2	94
160.50	162.00	0.09	15	0.03	0.4	2	334
162.00	163.50	0.07	1	0.015	0.3	<2	45
163.50	165.00	0.06	2	0.018	0.3	<2	33
165.00	166.50	0.02	1	0.008	<0.2	<2	19
166.50	168.00	0.23	54	0.052	0.7	<2	28
168.00	169.50	0.03	8	0.011	<0.2	<2	18
169.50	171.00	0.04	6	0.013	0.2	<2	28
171.00	172.50	0.03	2	0.012	<0.2	<2	21
172.50	174.00	0.12	6	0.03	0.5	<2	35
174.00	175.50	0.05	3	0.011	0.2	<2	25
175.50	177.00	0.05	2	0.016	0.2	<2	28
177.00	178.50	0.05	14	0.016	0.2	2	29
178.50	180.00	0.06	3	0.027	0.2	2	26
180.00	181.50	0.06	1	0.028	0.2	2	24
181.50	183.00	0.03	1	0.034	<0.2	<2	22
183.00	184.50	0.05	3	0.026	0.2	<2	25
184.50	186.00	0.11	1	0.036	0.3	<2	22
186.00	187.50	0.06	1	0.018	<0.2	<2	17
187.50	189.00	0.05	<1	0.011	<0.2	<2	24
189.00	190.50	0.07	3	0.021	0.3	<2	18
190.50	192.00	0.06	3	0.014	0.3	<2	32
192.00	193.50	0.16	11	0.044	0.3	<2	33
193.50	195.00	0.04	3	0.01	<0.2	<2	51
195.00	196.50	0.03	1	0.007	<0.2	2	41
196.50	198.00	0.04	1	0.015	<0.2	<2	25
198.00	200.00	0.05	1	0.012	<0.2	<2	26
200.00	201.00	0.07	1	0.018	0.3	<2	26
201.00	202.50	0.11	1	0.021	0.3	<2	28
202.50	204.00	0.19	24	0.03	0.4	<2	19
204.00	205.50	0.17	3	0.022	0.5	3	20
205.50	207.00	0.07	<1	0.017	<0.2	<2	28
207.00	208.50	0.18	2	0.042	0.5	<2	31

De	A	Cu (%)	Mo (ppm)	Au (ppm)	Ag (ppm)	As (ppm)	Zn (ppm)
208.50	210.00	0.09	<1	0.018	0.2	2	29
210.00	211.50	0.13	2	0.032	0.4	<2	31
211.50	213.00	0.12	1	0.037	0.6	<2	83
213.00	214.50	0.10	2	0.033	0.3	<2	34
214.50	216.00	0.08	<1	0.033	0.3	<2	23
216.00	217.50	0.08	<1	0.027	0.2	<2	22
217.50	219.00	0.10	16	0.036	0.3	<2	29
219.00	220.50	0.17	1	0.048	0.6	<2	29
220.50	222.00	0.18	1	0.042	0.6	<2	143
222.00	223.50	0.10	<1	0.035	0.2	3	34
223.50	225.00	0.12	2	0.029	0.3	<2	122
225.00	226.50	0.12	59	0.035	0.3	<2	37
226.50	228.00	0.08	<1	0.033	0.2	<2	23
228.00	229.50	0.11	4	0.034	0.3	<2	34
229.50	231.00	0.09	2	0.016	0.3	<2	31
231.00	232.50	0.10	3	0.025	0.2	<2	27
232.50	234.00	0.14	2	0.03	0.4	<2	24
234.00	235.50	0.15	11	0.031	0.3	<2	25
235.50	237.00	0.13	24	0.025	0.4	<2	27
237.00	238.50	0.15	2	0.038	0.4	<2	26
238.50	240.00	0.12	5	0.03	0.5	<2	95
240.00	241.50	0.18	2	0.025	0.3	<2	20
241.50	243.00	0.23	3	0.037	0.4	2	14
243.00	244.50	0.12	2	0.027	0.3	<2	16
244.50	246.00	0.14	6	0.03	0.2	<2	13
246.00	247.50	0.25	1	0.05	0.6	<2	20
247.50	249.00	0.20	55	0.033	0.6	<2	21
249.00	250.50	0.12	1	0.024	0.6	<2	155
250.50	252.00	0.17	1	0.044	0.6	<2	64
252.00	253.50	0.16	2	0.031	0.4	<2	24
253.50	255.00	0.14	2	0.036	0.4	<2	26
255.00	256.50	0.17	28	0.036	<0.2	<2	13
256.50	258.00	0.20	1	0.044	0.4	<2	24
258.00	259.50	0.23	8	0.039	0.5	<2	17
259.50	261.00	0.32	2	0.054	0.7	<2	21

De	A	Cu (%)	Mo (ppm)	Au (ppm)	Ag (ppm)	As (ppm)	Zn (ppm)
261.00	262.50	0.24	2	0.043	0.6	<2	30
262.50	264.00	0.17	5	0.032	0.5	<2	22
264.00	265.50	0.20	3	0.033	0.5	<2	21
265.50	267.00	0.14	10	0.047	0.3	<2	22
267.00	268.50	0.14	9	0.043	0.3	2	26
268.50	270.00	0.12	1	0.051	0.4	<2	22
270.00	271.50	0.26	1	0.054	1.2	<2	85
271.50	273.00	0.14	2	0.074	0.4	<2	30
273.00	274.50	0.10	3	0.062	0.2	<2	19
274.50	276.00	0.11	4	0.049	0.3	<2	25
276.00	277.50	0.13	3	0.04	0.3	<2	21
277.50	279.50	0.12	24	0.023	0.5	4	75
279.50	280.40	0.01	<1	0.005	<0.2	3	92
280.40	281.90	0.14	5	0.017	0.3	<2	42
281.90	283.40	0.14	5	0.026	0.3	<2	34
283.40	284.90	0.13	2	0.016	0.7	<2	116
284.90	286.40	0.15	15	0.053	0.5	<2	75
286.40	287.90	0.19	18	0.072	0.5	<2	24
287.90	289.40	0.30	2	0.101	0.7	<2	45
289.40	290.90	0.22	4	0.051	0.6	<2	41
290.90	292.40	0.19	11	0.03	1	<2	612
292.40	293.90	0.23	7	0.029	1.4	<2	266
293.90	295.40	0.49	10	0.027	3.4	<2	415
295.40	296.90	0.18	24	0.028	0.9	<2	548
296.90	298.40	0.13	9	0.025	0.8	<2	464
298.40	299.90	0.20	9	0.021	1	<2	150
299.90	301.40	0.12	20	0.013	0.9	2	360
301.40	302.90	0.25	9	0.036	1.8	<2	170
302.90	304.40	0.29	13	0.027	1.5	<2	106
304.40	305.90	0.38	8	0.056	2	<2	74
305.90	307.40	0.29	7	0.039	0.8	<2	42
307.40	308.90	0.32	13	0.024	1.3	<2	89
308.90	310.40	0.45	46	0.03	1.9	<2	62
310.40	311.90	0.28	8	0.026	2	<2	233
311.90	313.40	0.26	14	0.037	1.5	<2	239

De	A	Cu (%)	Mo (ppm)	Au (ppm)	Ag (ppm)	As (ppm)	Zn (ppm)
313.40	314.90	0.48	113	0.032	3.6	<2	274
314.90	316.40	0.27	3	0.045	0.9	<2	72
316.40	317.90	0.45	20	0.029	2.2	<2	157
317.90	319.40	0.29	13	0.031	1.3	<2	156
319.40	320.90	0.29	2	0.022	1.3	<2	119
320.90	322.40	0.48	71	0.041	1.6	<2	54
322.40	323.90	0.33	30	0.018	1.6	<2	113
323.90	325.40	0.18	6	0.011	0.8	<2	94
325.40	326.90	0.31	5	0.019	2.2	<2	153
326.90	328.40	0.75	10	0.084	4	<2	144
328.40	329.90	0.41	13	0.007	2.5	<2	536
329.90	331.40	0.49	16	0.009	2.9	<2	568
331.40	332.90	0.56	7	0.039	2.4	<2	64
332.90	334.40	0.26	7	0.006	1.2	<2	108
334.40	335.90	0.47	22	0.035	2.3	<2	115
335.90	337.40	0.28	73	0.044	1	<2	53
337.40	338.90	0.20	4	0.009	1	<2	127
338.90	340.40	0.34	21	0.032	1.4	2	208
340.40	341.90	0.17	28	0.018	1	3	181
341.90	343.40	0.21	35	0.008	1.5	<2	120
343.40	344.90	0.70	43	0.028	3.9	<2	441
344.90	346.40	0.23	28	<0.005	1.6	<2	179
346.40	347.90	0.17	39	0.01	1	<2	153
347.90	349.40	0.20	7	0.033	0.8	<2	81
349.40	350.90	0.16	26	0.017	0.8	<2	187
350.90	352.40	0.29	6	0.04	1	<2	92
352.40	353.90	0.15	1	0.025	0.6	<2	64
353.90	355.40	0.25	8	0.017	1.4	<2	148
355.40	356.90	0.22	168	0.02	1.3	<2	112
356.90	358.40	0.31	149	0.031	1.8	<2	128
358.40	359.90	0.23	142	0.014	1.5	<2	201
359.90	361.40	0.46	146	0.022	2.4	<2	145
361.40	362.90	0.32	46	0.032	1	<2	76
362.90	364.40	0.32	142	0.04	1.4	<2	84
364.40	365.90	0.33	61	0.031	2.1	<2	210

De	A	Cu (%)	Mo (ppm)	Au (ppm)	Ag (ppm)	As (ppm)	Zn (ppm)
365.90	367.40	0.23	34	0.012	2.1	<2	399
367.40	368.90	0.38	36	0.05	1.1	<2	45
368.90	370.40	0.40	26	0.029	1.9	<2	108
370.40	371.30	0.28	12	0.027	1.5	<2	230
371.30	372.80	0.35	134	0.021	2	<2	702
372.80	374.30	0.12	96	0.012	0.4	2	61
374.30	375.80	0.15	63	0.012	0.4	2	44
375.80	377.30	0.28	46	0.025	0.8	<2	175
377.30	378.80	0.22	244	0.016	0.7	2	78
378.80	380.30	0.27	243	0.03	0.8	<2	70
380.30	381.80	0.34	130	0.029	1.2	<2	269
381.80	383.30	0.12	15	0.018	<0.2	<2	32
383.30	384.80	0.19	67	0.022	0.5	2	27
384.80	386.30	0.35	16	0.03	0.9	<2	37
386.30	387.80	0.10	13	0.012	0.2	2	27
387.80	389.30	0.16	31	0.009	0.3	4	25
389.30	390.80	0.45	364	0.041	1	<2	28
390.80	392.30	0.58	74	0.049	2.4	<2	89
392.30	393.80	0.31	363	0.033	0.9	<2	51
393.80	395.30	0.08	39	0.006	<0.2	<2	32
395.30	396.80	0.11	12	0.012	0.5	<2	75
396.80	398.30	0.17	80	0.033	0.4	<2	37
398.30	400.00	0.20	5	0.032	0.4	<2	35
400.00	401.30	0.19	49	0.026	0.4	<2	32
401.30	402.80	0.15	5	0.026	0.2	<2	24
402.80	404.30	0.25	39	0.041	0.8	<2	63
404.30	405.80	0.07	5	0.019	<0.2	<2	22
405.80	407.30	0.07	77	0.015	<0.2	<2	30
407.30	408.80	0.11	28	0.026	0.2	<2	24
408.80	410.30	0.14	107	0.036	<0.2	<2	28
410.30	411.80	0.21	154	0.038	0.4	<2	28
411.80	413.30	0.16	88	0.024	0.3	<2	51
413.30	414.80	0.22	46	0.044	0.5	<2	24
414.80	416.30	0.16	21	0.025	0.3	<2	21
416.30	417.80	0.20	27	0.045	0.3	3	24

De	A	Cu (%)	Mo (ppm)	Au (ppm)	Ag (ppm)	As (ppm)	Zn (ppm)
417.80	419.30	0.47	20	0.097	0.9	<2	29
419.30	420.80	0.42	32	0.071	0.9	<2	25
420.80	422.30	0.25	8	0.053	0.5	<2	27
422.30	423.80	0.12	<1	0.03	0.3	2	24
423.80	425.30	0.28	29	0.052	0.6	<2	32
425.30	426.80	0.31	19	0.059	0.8	2	33
426.80	428.30	0.49	28	0.08	1.1	2	27
428.30	429.80	0.38	20	0.049	0.8	2	21
429.80	431.30	0.52	37	0.083	1.6	2	96
431.30	432.80	0.49	22	0.022	1.6	<2	73
432.80	434.30	0.58	150	0.061	2.5	2	89
434.30	435.80	0.12	2	0.023	0.3	2	21
435.80	437.30	0.12	78	0.023	0.6	2	40
437.30	438.80	0.07	20	0.009	<0.2	<2	43
438.80	440.30	0.21	93	0.039	0.5	2	25
440.30	441.80	0.63	26	0.032	1.6	2	102
441.80	443.30	0.26	38	0.035	0.7	<2	24
443.30	444.80	0.21	8	0.034	0.5	2	41
444.80	446.30	0.11	5	0.021	0.2	2	19
446.30	447.80	0.28	6	0.046	0.5	2	29
447.80	449.30	0.32	69	0.065	0.8	2	25
449.30	450.80	0.32	78	0.061	0.8	<2	27
450.80	452.30	0.18	44	0.039	0.4	<2	23
452.30	453.80	0.15	8	0.033	0.4	<2	28
453.80	455.30	0.31	54	0.052	0.9	3	42
455.30	456.80	0.26	7	0.035	0.9	2	151
456.80	458.30	0.17	15	0.022	0.5	<2	134
458.30	459.80	0.22	6	0.025	0.6	<2	61
459.80	461.30	0.36	17	0.049	0.9	<2	36
461.30	462.80	0.21	50	0.021	0.4	2	51
462.80	464.30	0.14	20	0.022	0.4	<2	46
464.30	465.80	0.31	30	0.048	1	<2	40
465.80	467.30	0.24	24	0.031	0.7	<2	36
467.30	468.80	0.26	46	0.047	0.5	2	29
468.80	470.30	0.20	14	0.032	0.4	2	27

De	A	Cu (%)	Mo (ppm)	Au (ppm)	Ag (ppm)	As (ppm)	Zn (ppm)
470.30	471.80	0.20	16	0.025	0.5	2	44
471.80	473.30	0.17	1	0.024	0.4	<2	54
473.30	474.80	0.25	59	0.033	0.7	<2	42
474.80	476.30	0.73	94	0.064	1.7	<2	48
476.30	477.80	0.47	21	0.052	0.9	2	38
477.80	479.30	0.23	41	0.04	0.5	<2	25
479.30	480.80	0.26	18	0.041	0.5	2	29
480.80	482.30	0.23	19	0.03	0.8	<2	28
482.30	483.80	0.20	9	0.024	0.6	<2	44
483.80	485.30	0.19	7	0.036	0.5	<2	32
485.30	486.80	0.31	22	0.055	0.7	2	24
486.80	488.30	0.29	49	0.055	0.6	<2	22
488.30	489.80	0.48	31	0.064	0.9	<2	25
489.80	491.30	0.38	37	0.084	0.8	2	25
491.30	492.80	0.52	79	0.091	1.1	<2	37
492.80	494.30	0.36	60	0.05	0.7	<2	33
494.30	495.80	0.35	143	0.053	0.6	2	34
495.80	497.30	0.23	122	0.045	0.4	<2	27
497.30	498.80	0.36	98	0.064	0.7	<2	32
498.80	500.30	0.71	195	0.093	1.4	<2	49
500.30	501.80	0.47	118	0.11	0.9	<2	34
501.80	503.30	0.80	213	0.095	2.3	<2	82
503.30	504.80	0.85	530	0.078	1.6	<2	91
504.80	506.30	0.67	145	0.079	1.4	<2	51
506.30	507.80	0.52	53	0.061	1	<2	47
507.80	509.30	0.45	80	0.049	0.8	3	48
509.30	510.80	0.51	200	0.063	1	<2	39
510.80	512.30	0.25	81	0.027	0.5	<2	49
512.30	513.80	0.62	202	0.04	1.8	<2	66
513.80	515.30	0.47	132	0.046	1.1	<2	57
515.30	516.80	0.64	161	0.032	1.7	<2	142
516.80	518.30	0.44	70	0.06	1.1	<2	52
518.30	519.80	0.59	304	0.052	1.4	2	213
519.80	521.30	0.41	127	0.041	2.3	<2	161
521.30	522.80	0.55	109	0.058	1.8	<2	88

De	A	Cu (%)	Mo (ppm)	Au (ppm)	Ag (ppm)	As (ppm)	Zn (ppm)
522.80	524.30	0.65	74	0.073	1.9	<2	60
524.30	525.80	0.55	57	0.044	2.6	<2	115
525.80	527.30	0.48	543	0.041	2.2	<2	861
527.30	528.80	0.49	422	0.069	1	2	42
528.80	530.30	0.34	659	0.064	0.8	<2	40
530.30	531.80	0.47	277	0.094	0.9	<2	25
531.80	533.30	0.28	138	0.052	0.5	<2	29
533.30	534.80	0.46	391	0.031	0.8	<2	92
534.80	536.30	0.30	4520	0.025	1	<2	81
536.30	537.80	0.35	76	0.039	0.9	<2	53
537.80	539.30	0.36	188	0.043	1	<2	42
539.30	540.80	0.30	207	0.036	0.9	<2	61
540.80	542.30	0.30	112	0.049	0.7	<2	41
542.30	543.80	0.28	38	0.037	0.7	<2	31
543.80	545.30	0.24	28	0.041	0.4	<2	25
545.30	546.80	0.34	39	0.037	0.8	<2	26
546.80	548.30	0.30	72	0.052	0.6	<2	25
548.30	549.80	0.30	27	0.044	0.7	<2	27
549.80	551.60	0.31	52	0.047	0.8	<2	29

POZO B07040

De	A	Cu (%)	Mo (ppm)	Au (ppm)	Ag (ppm)	As (ppm)	Zn (ppm)
0.00	3.00	0.03	86	0.009	1.1	<2	31
3.00	6.00	0.03	119	0.03	2.3	<2	46
6.00	9.00	0.03	97	0.017	2.8	<2	79
9.00	12.00	0.08	97	0.03	9	2	46
12.00	15.00	0.22	232	0.012	39.7	3	65
15.00	18.00	0.16	120	0.007	23.3	2	58
18.00	21.00	0.04	38	0.011	2.1	<2	50
21.00	24.00	0.17	370	0.027	9.5	<2	57
24.00	27.00	0.43	238	0.018	10.2	2	76
27.00	30.00	0.94	400	0.103	7.2	6	149
30.00	33.00	>1	58	0.03	3.2	<2	210
33.00	34.50	0.78	84	0.033	4.7	<2	250
34.50	36.00	0.71	80	0.042	5.8	<2	258
36.00	37.50	0.83	42	0.047	5.7	<2	295
37.50	39.00	0.41	17	0.043	3.4	<2	185
39.00	40.50	0.59	71	0.035	4.8	3	232
40.50	42.00	0.72	23	0.168	1.9	<2	85
42.00	43.50	0.74	33	0.214	1.8	<2	74
43.50	45.00	0.64	8	0.162	1.9	<2	72
45.00	46.50	0.43	52	0.279	1.4	<2	78
46.50	48.00	0.48	3	0.06	1.6	<2	112
48.00	49.50	0.19	3	0.024	0.9	<2	134
49.50	51.00	0.17	4	0.018	1	2	484
51.00	52.50	0.07	4	0.013	0.7	2	318
52.50	54.00	0.06	2	0.005	0.5	2	3080
54.00	55.50	0.10	2	0.01	1.2	2	1060
55.50	57.00	0.05	6	0.014	0.6	<2	1860
57.00	58.50	0.19	14	0.101	2.4	2	1150
58.50	60.00	0.16	33	0.022	1.1	<2	2810
60.00	61.50	0.22	37	0.049	1.1	<2	225
61.50	63.00	0.61	27	0.071	2.5	<2	1240
63.00	64.50	0.29	6	0.031	1.7	<2	609
64.50	66.00	0.31	53	0.043	0.7	<2	75
66.00	67.50	0.19	13	0.041	0.5	<2	59
67.50	69.00	0.18	2	0.029	0.7	4	1580
69.00	70.50	0.18	4	0.051	0.8	<2	125

De	A	Cu (%)	Mo (ppm)	Au (ppm)	Ag (ppm)	As (ppm)	Zn (ppm)
70.50	72.00	0.18	12	0.028	0.4	<2	140
72.00	73.50	0.21	5	0.066	0.4	<2	47
73.50	75.00	0.18	27	0.031	0.8	<2	93
75.00	76.50	0.43	6	0.045	3.1	<2	139
76.50	78.00	0.18	23	0.037	1.1	2	103
78.00	79.50	0.10	2	0.033	0.3	3	82
79.50	81.00	0.23	6	0.043	0.2	2	76
81.00	82.50	0.48	10	0.065	0.7	<2	48
82.50	84.00	0.42	21	0.137	2.3	<2	228
84.00	85.50	0.39	6	0.045	2.5	<2	81
85.50	87.00	0.71	9	0.164	1.1	2	48
87.00	88.50	0.47	1	0.143	1.4	2	29
88.50	90.00	0.38	20	0.123	0.8	<2	38
90.00	91.50	0.43	6	0.143	1	<2	34
91.50	93.00	0.36	7	0.256	0.6	<2	31
93.00	94.50	0.39	14	0.163	0.9	<2	45
94.50	96.00	0.57	7	0.238	1.1	2	26
96.00	97.50	0.70	4	0.109	1.4	<2	41
97.50	99.00	0.71	53	0.115	1.5	<2	36
99.00	100.50	0.24	2	0.038	0.7	<2	48
100.50	102.00	0.07	16	0.024	0.4	<2	112
102.00	103.50	0.16	43	0.032	1.3	2	496
103.50	105.00	0.15	3	0.038	0.8	5	82
105.00	106.50	0.08	1	0.044	0.4	<2	65
106.50	108.00	0.06	1	0.034	0.3	<2	70
108.00	109.50	0.11	2	0.02	0.8	2	102
109.50	111.00	0.10	4	0.033	1.2	<2	293
111.00	112.50	0.10	2	0.023	1	<2	100
112.50	114.00	0.10	5	0.051	0.7	<2	102
114.00	115.50	0.09	6	0.035	1.2	<2	274
115.50	117.00	0.10	2	0.028	1.1	<2	214
117.00	118.50	0.17	13	0.053	2.4	3	458
118.50	120.00	0.26	3	0.033	2.1	<2	161
120.00	121.50	0.10	<1	0.018	0.6	<2	102
121.50	123.00	0.08	1	0.011	0.4	<2	240
123.00	124.50	0.23	6	0.035	1.9	5	671
124.50	126.00	0.14	<1	0.033	0.9	<2	132

De	A	Cu (%)	Mo (ppm)	Au (ppm)	Ag (ppm)	As (ppm)	Zn (ppm)
126.00	127.50	0.19	<1	0.024	0.8	<2	61
127.50	129.00	0.14	<1	0.04	0.3	<2	35
129.00	130.50	0.25	1	0.029	1.8	<2	295
130.50	132.00	0.19	14	0.018	1.5	<2	93
132.00	133.50	0.21	<1	0.031	0.9	<2	42
133.50	135.00	0.30	1	0.022	1.6	2	56
135.00	136.50	0.24	3	0.02	2.2	<2	319
136.50	138.00	0.20	1	0.029	1.4	<2	118
138.00	139.50	0.21	2	0.04	0.8	<2	49
139.50	141.00	0.22	<1	0.025	1	3	60
141.00	142.50	0.21	3	0.018	1.2	2	150
142.50	144.00	0.44	2	0.022	3.1	2	132
144.00	145.50	0.24	2	0.027	1.6	<2	84
145.50	146.70	0.42	42	0.072	2.7	2	434
146.70	147.50	0.01	1	<0.005	<0.2	<2	152
147.50	149.00	0.21	19	0.04	2.2	2	427
149.00	150.50	0.20	<1	0.02	0.7	<2	28
150.50	152.00	0.30	4	0.022	1.1	2	38
152.00	153.50	0.24	3	0.03	1	3	99
153.50	155.00	0.29	2	0.053	0.7	3	27
155.00	156.50	0.16	1	0.073	0.5	<2	19
156.50	158.00	0.32	2	0.045	1.3	2	203
158.00	159.50	0.10	1	0.007	0.3	<2	42
159.50	161.00	0.10	<1	0.012	0.3	<2	35
161.00	162.50	0.17	<1	0.019	0.6	<2	30
162.50	164.00	0.37	2	0.037	0.9	<2	31
164.00	165.50	0.29	30	0.038	1.2	2	434
165.50	167.00	0.21	33	0.015	0.9	<2	72
167.00	168.50	0.19	2	0.018	0.9	<2	75
168.50	170.00	0.10	1	0.02	0.2	<2	41
170.00	171.50	0.17	1	0.024	0.5	<2	35
171.50	173.00	0.21	1	0.028	0.6	<2	40
173.00	174.50	0.12	<1	0.022	0.3	2	29
174.50	176.00	0.12	<1	0.028	0.3	4	61
176.00	177.50	0.28	5	0.036	1	2	264
177.50	179.00	0.13	6	0.015	0.5	<2	44
179.00	180.50	0.23	22	0.016	1.8	2	616

De	A	Cu (%)	Mo (ppm)	Au (ppm)	Ag (ppm)	As (ppm)	Zn (ppm)
180.50	182.00	0.10	2	0.015	0.3	<2	43
182.00	183.50	0.13	1	0.012	0.6	<2	43
183.50	185.00	0.10	<1	0.007	0.4	<2	46
185.00	186.50	0.46	4	0.024	2	<2	72
186.50	188.00	0.66	8	0.065	2.8	<2	71
188.00	189.50	0.20	1	0.039	0.6	<2	27
189.50	191.00	0.29	<1	0.092	0.9	2	26
191.00	192.50	0.14	2	0.052	0.4	2	22
192.50	194.00	0.23	23	0.097	0.8	2	24
194.00	195.50	0.22	24	0.073	0.8	<2	34
195.50	197.00	0.19	3	0.053	0.7	2	33
197.00	198.50	0.15	<1	0.042	0.6	<2	37
198.50	200.00	0.16	<1	0.047	0.7	<2	30
200.00	201.50	0.30	1	0.084	1.1	<2	29
201.50	203.00	0.27	8	0.083	0.9	<2	29
203.00	204.50	0.11	14	0.047	0.3	<2	33
204.50	206.00	0.09	2	0.029	0.5	<2	61
206.00	207.50	0.14	22	0.057	0.4	2	30
207.50	209.00	0.12	3	0.082	0.4	<2	26
209.00	210.50	0.11	3	0.044	0.5	2	57
210.50	212.00	0.10	5	0.033	0.5	2	284
212.00	213.50	0.11	3	0.05	0.4	<2	37
213.50	215.00	0.19	2	0.029	1	2	148
215.00	216.50	0.10	<1	0.019	0.7	<2	73
216.50	218.00	0.13	36	0.034	0.8	2	69
218.00	219.50	0.13	3	0.036	0.5	<2	33
219.50	220.70	0.13	5	0.034	0.4	4	35
220.70	221.30	0.02	<1	<0.005	<0.2	4	73
221.30	222.80	0.14	30	0.039	0.4	<2	31
222.80	224.30	0.19	5	0.038	0.8	<2	117
224.30	225.80	0.30	10	0.031	1.9	2	128
225.80	227.40	0.18	22	0.019	1.2	3	78
227.40	228.90	0.02	2	0.005	<0.2	<2	107
228.90	230.40	0.07	21	0.026	0.2	5	28
230.40	231.90	0.13	4	0.03	0.4	<2	27
231.90	233.40	0.19	19	0.051	0.7	<2	24
233.40	234.90	0.12	6	0.025	0.4	<2	24
234.90	236.40	0.14	15	0.033	0.4	<2	25

De	A	Cu (%)	Mo (ppm)	Au (ppm)	Ag (ppm)	As (ppm)	Zn (ppm)
236.40	237.90	0.27	9	0.062	0.8	<2	22
237.90	239.40	0.26	29	0.209	0.7	4	19
239.40	240.90	0.23	8	0.046	1.8	3	2370
240.90	242.40	0.07	1	0.011	0.2	3	40
242.40	243.90	0.09	<1	0.025	0.2	<2	22
243.90	245.40	0.15	1	0.042	0.2	<2	21
245.40	246.90	0.18	6	0.045	0.7	<2	53
246.90	248.40	0.18	2	0.069	0.6	4	28
248.40	249.90	0.20	1	0.096	0.5	2	32
249.90	251.40	0.16	1	0.066	0.5	<2	33
251.40	252.90	0.06	5	0.049	<0.2	<2	40
252.90	254.40	0.08	3	0.03	0.2	<2	26
254.40	255.90	0.07	31	0.032	0.3	<2	87
255.90	257.40	0.08	1	0.032	0.2	<2	22
257.40	258.90	0.15	6	0.033	0.3	<2	26
258.90	260.40	0.12	91	0.035	0.3	<2	35
260.40	261.90	0.10	2	0.035	0.3	<2	39
261.90	263.40	0.65	13	0.1	2.7	<2	>10000
263.40	264.90	0.15	23	0.037	0.3	2	36
264.90	266.40	0.07	17	0.01	<0.2	<2	142
266.40	267.90	0.04	24	0.009	<0.2	<2	8
267.90	269.40	0.30	6	0.031	1.4	<2	5160
269.40	270.90	0.16	2	0.019	0.3	<2	167
270.90	272.40	0.19	6	0.027	0.8	<2	389
272.40	273.90	0.15	1	0.026	0.5	<2	41
273.90	275.40	0.16	1	0.029	0.3	<2	26
275.40	276.90	0.05	21	0.018	0.2	<2	75
276.90	278.40	0.14	29	0.029	0.4	<2	663
278.40	279.90	0.18	4	0.124	0.5	<2	29
279.90	281.40	0.07	2	0.052	0.2	<2	33
281.40	282.90	0.13	2	0.033	0.4	2	93
282.90	284.40	0.07	13	0.04	<0.2	<2	24
284.40	285.90	0.11	2	0.022	0.3	<2	25
285.90	287.40	0.06	2	0.011	0.2	<2	36
287.40	288.90	0.17	5	0.045	0.4	<2	36
288.90	290.40	0.11	5	0.029	0.3	<2	39
290.40	291.90	0.05	<1	0.015	0.3	2	23
291.90	293.40	0.07	<1	0.021	0.2	<2	23

De	A	Cu (%)	Mo (ppm)	Au (ppm)	Ag (ppm)	As (ppm)	Zn (ppm)
De	A	Cu (%)	(ppm)	(ppm)	(ppm)	(ppm)	(ppm)
293.40	294.90	0.21	17	0.057	0.7	<2	28
294.90	296.40	0.22	1	0.041	0.7	<2	31
296.40	297.90	0.13	<1	0.04	0.4	<2	30
297.90	299.40	0.12	1	0.046	0.4	<2	24
299.40	300.90	0.06	1	0.022	0.2	<2	20
300.90	302.40	0.09	26	0.031	0.3	<2	21
302.40	303.90	0.07	3	0.025	0.4	<2	30
303.90	305.40	0.06	<1	0.025	<0.2	2	16
305.40	306.90	0.10	1	0.021	0.5	<2	38
306.90	308.40	0.16	26	0.029	0.6	<2	39
308.40	309.90	0.36	92	0.08	1	<2	29
309.90	311.40	0.37	12	1.095	0.9	2	32
311.40	312.90	0.29	5	0.105	0.9	<2	39
312.90	314.40	0.20	32	0.06	0.7	<2	32
314.40	315.90	0.36	17	0.068	1	<2	42
315.90	317.40	0.30	70	0.046	1	<2	31
317.40	318.90	0.35	33	0.05	1.2	2	201
318.90	320.40	0.18	10	0.034	0.6	<2	38
320.40	321.90	0.38	3	0.023	1.1	<2	37
321.90	323.40	0.23	8	0.039	0.7	2	32
323.40	324.90	0.24	7	0.05	1.1	<2	43
324.90	326.40	0.21	16	0.288	0.9	<2	62
326.40	327.90	0.25	6	0.052	0.7	2	39
327.90	329.40	0.21	10	0.035	0.6	<2	34
329.40	330.90	0.20	4	0.031	0.6	2	63
330.90	332.40	0.30	11	0.032	0.9	<2	146
332.40	333.90	0.22	19	0.044	0.7	<2	31
333.90	335.40	0.57	59	0.087	1.3	<2	34
335.40	336.90	0.28	40	0.044	0.7	<2	29
336.90	338.40	0.35	37	0.053	0.9	<2	37
338.40	339.90	0.32	45	0.05	0.8	<2	32
339.90	341.40	0.51	43	0.082	1.6	4	68
341.40	342.90	0.40	17	0.07	1	<2	36
342.90	344.40	0.41	294	0.049	1.3	<2	332
344.40	345.90	0.21	27	0.017	0.8	<2	477
345.90	347.40	0.42	166	0.039	2.5	2	665
347.40	348.90	0.44	130	0.066	1.1	<2	36
348.90	350.40	0.47	229	0.052	1.3	<2	34
350.40	351.90	0.54	722	0.058	1.5	<2	80

351.90	353.40	0.37	199	0.053	0.9	<2	32
353.40	354.90	0.40	189	0.059	1	<2	41
354.90	356.40	0.42	48	0.057	1	<2	126
356.40	357.90	0.50	71	0.063	1.1	<2	61
357.90	359.40	0.46	67	0.064	0.9	<2	36
359.40	360.90	0.65	215	0.101	1.3	2	38
360.90	362.40	0.41	263	0.042	0.9	<2	28
362.40	363.90	0.54	305	0.042	1.4	<2	69
363.90	365.40	0.51	134	0.037	1.2	<2	103
365.40	366.90	0.45	171	0.065	1.1	2	35
366.90	368.40	>1	375	0.122	4.2	<2	308
368.40	369.90	0.74	77	0.04	2.4	2	206
369.90	371.40	0.45	399	0.061	1.2	<2	66
371.40	372.90	0.30	111	0.055	0.9	2	56
372.90	374.40	0.73	280	0.05	1.8	<2	47
374.40	375.90	0.55	487	0.049	1.8	<2	1960
375.90	377.40	0.27	115	0.038	0.8	<2	63
377.40	378.90	0.58	234	0.04	2.4	<2	716
378.90	380.40	0.41	188	0.084	0.9	<2	28
380.40	381.90	0.50	126	0.069	1.2	<2	47
381.90	383.40	0.52	216	0.056	1.5	<2	31
383.40	384.90	0.67	104	0.067	1.3	<2	48
384.90	386.40	0.65	89	0.096	1.5	<2	36
386.40	387.90	0.82	72	0.125	1.7	<2	45
387.90	389.40	0.40	94	0.049	1	<2	48
389.40	390.90	0.37	72	0.073	0.8	<2	37
390.90	392.40	0.36	77	0.068	0.9	3	27
392.40	393.90	0.33	88	0.054	0.9	<2	51
393.90	395.40	0.26	82	0.048	0.6	<2	26
395.40	396.90	0.38	53	0.07	0.9	<2	23
396.90	398.40	0.32	124	0.051	0.8	<2	21
398.40	400.00	0.32	43	0.056	0.8	<2	26
400.00	401.40	0.54	138	0.063	1.8	<2	268
401.40	402.90	0.27	70	0.038	0.8	<2	87
402.90	404.40	0.58	87	0.089	2	<2	59
404.40	405.90	0.59	27	0.075	1.6	<2	63
405.90	407.40	0.41	33	0.067	0.9	<2	34
407.40	408.90	0.48	32	0.077	1	<2	48

De	A	Cu (%)	Mo (ppm)	Au (ppm)	Ag (ppm)	As (ppm)	Zn (ppm)
408.90	410.40	0.49	44	0.073	1.2	<2	97
410.40	411.90	0.49	47	0.054	1.3	<2	139
411.90	413.40	0.65	198	0.067	1.4	<2	99
413.40	414.90	0.51	85	0.086	1.1	<2	33
414.90	416.40	0.52	36	0.045	1.2	<2	451
416.40	417.90	0.38	13	0.052	1	<2	222
417.90	419.40	0.39	11	0.06	0.7	<2	44
419.40	420.90	0.35	23	0.061	1	<2	30
420.90	422.40	0.35	6	0.031	1.1	<2	34
422.40	423.90	0.46	89	0.027	1.5	2	292
423.90	425.40	0.45	32	0.058	0.8	2	55
425.40	426.90	0.29	7	0.055	0.6	2	75
426.90	428.40	0.33	9	0.057	0.7	2	30
428.40	429.90	0.21	23	0.036	0.5	<2	55
429.90	431.40	0.33	9	0.059	0.7	<2	33
431.40	432.90	0.37	11	0.046	0.7	<2	58
432.90	434.40	0.86	14	0.078	1.7	<2	68
434.40	435.90	0.79	15	0.091	1.7	<2	220
435.90	437.40	0.44	19	0.046	0.8	<2	28
437.40	438.90	0.25	5	0.034	0.5	<2	69
438.90	440.40	0.23	8	0.031	0.4	<2	75
440.40	441.90	0.31	7	0.051	0.6	<2	49
441.90	443.40	0.96	47	0.163	1.7	2	48
443.40	444.90	0.45	65	0.063	0.9	<2	26
444.90	446.40	0.44	13	0.061	1	<2	47
446.40	448.20	0.57	7	0.079	1.1	<2	33
448.20	449.40	0.15	<1	0.015	0.3	2	80
449.40	450.90	0.02	<1	0.006	<0.2	<2	81
450.90	452.40	0.02	<1	0.009	<0.2	<2	65
452.40	453.90	0.02	<1	0.006	<0.2	<2	66
453.90	455.40	0.02	<1	0.01	<0.2	<2	65
455.40	456.70	0.02	<1	0.009	<0.2	<2	69
456.70	457.30	0.14	6	0.015	<0.2	<2	812
457.30	458.80	0.72	17	0.097	1.3	2	49
458.80	459.40	0.49	19	0.076	0.7	3	41
459.40	460.20	0.07	<1	0.061	<0.2	2	58
460.20	461.70	0.53	10	0.058	1	2	31
461.70	462.50	0.36	4	0.023	1	<2	32

De	A	Cu (%)	Mo (ppm)	Au (ppm)	Ag (ppm)	As (ppm)	Zn (ppm)
462.50	463.40	0.02	<1	0.007	<0.2	<2	74
463.40	464.90	0.02	<1	0.007	<0.2	2	81
464.90	466.40	0.02	<1	0.009	<0.2	2	67
466.40	467.90	0.02	<1	0.012	<0.2	<2	72
467.90	469.40	0.22	2	0.016	0.4	6	71
469.40	470.90	0.57	20	0.071	1	3	33
470.90	472.40	0.59	7	0.083	0.9	<2	36
472.40	473.90	0.78	4	0.078	1.9	<2	45
473.90	475.40	0.74	20	0.091	1.8	<2	37
475.40	476.90	0.35	6	0.035	0.8	2	32
476.90	478.40	0.51	26	0.048	1.4	2	116
478.40	479.90	0.47	8	0.035	1.3	2	193
479.90	481.40	0.46	14	0.02	1.3	<2	351
481.40	482.90	0.47	14	0.044	1.7	2	364
482.90	484.40	0.49	11	0.069	1.5	<2	67
484.40	485.90	0.55	7	0.054	1	<2	61
485.90	487.40	0.57	18	0.055	1.2	<2	44
487.40	488.90	0.61	22	0.037	1.4	<2	68
488.90	490.40	0.48	15	0.047	0.9	<2	75
490.40	491.90	0.44	76	0.037	0.8	<2	54

POZO B07041

De	A	Cu (%)	Mo (ppm)	Au (ppm)	Ag (ppm)	As (ppm)	Zn (ppm)
0.00	2.85	0.10	325	0.027	0.5	4	40
2.85	6.35	0.12	9	0.016	0.4	<2	82
6.35	7.20	0.19	3	0.013	0.6	<2	111
7.20	10.85	0.14	5	0.013	0.4	<2	164
10.85	12.35	0.16	65	0.014	0.9	2	189
12.35	14.75	0.13	9	0.012	0.6	3	155
14.75	16.00	0.15	5	0.016	0.6	<2	95
16.00	18.00	0.11	13	0.018	0.7	2	240
18.00	19.50	0.13	16	0.02	0.9	2	219
19.50	21.00	0.08	12	0.014	0.7	3	349
21.00	22.50	0.04	3	0.006	0.2	<2	74
22.50	24.00	0.05	5	0.01	0.3	<2	71
24.00	25.50	0.05	1	0.011	<0.2	<2	60
25.50	27.00	0.08	3	0.017	0.5	3	55
27.00	28.50	0.15	1	0.013	0.6	4	50
28.50	30.00	0.07	1	0.014	0.3	3	90
30.00	31.50	0.09	3	0.012	0.3	4	38
31.50	33.00	0.21	3	0.019	0.7	<2	64
33.00	34.50	0.09	8	0.009	0.5	<2	59
34.50	36.00	0.05	4	0.012	0.4	<2	107
36.00	37.50	0.06	2	0.01	0.3	4	49
37.50	39.00	0.08	4	0.008	0.5	3	49
39.00	40.50	0.10	2	0.023	0.2	3	36
40.50	42.00	0.05	15	0.012	0.2	<2	26
42.00	43.50	0.05	9	0.01	0.3	6	26
43.50	45.00	0.05	1	0.007	0.2	2	26
45.00	46.50	0.03	<1	0.007	<0.2	2	78
46.50	48.00	0.04	2	0.012	0.4	6	566
48.00	49.50	0.05	2	0.01	0.5	6	534
49.50	51.00	0.08	4	0.01	0.5	3	163
51.00	52.50	0.06	51	0.013	0.6	5	305
52.50	54.00	0.14	7	0.017	0.8	2	59
54.00	55.50	0.15	4	0.016	0.8	3	39
55.50	57.00	0.48	6	0.033	1.5	<2	37
57.00	58.00	0.88	64	0.063	2.1	<2	27

De	A	Cu (%)	Mo (ppm)	Au (ppm)	Ag (ppm)	As (ppm)	Zn (ppm)
58.00	59.50	0.15	4	0.015	0.6	2	47
59.50	61.00	0.15	7	0.016	0.6	<2	64
61.00	62.50	0.14	7	0.017	0.5	2	52
62.50	64.00	0.10	5	0.012	0.3	<2	61
64.00	65.50	0.13	9	0.021	0.7	2	278
65.50	67.00	0.12	12	0.018	0.9	3	359
67.00	68.50	0.06	4	0.015	0.4	6	83
68.50	70.00	0.10	48	0.012	0.5	<2	142
70.00	71.50	0.16	17	0.019	0.6	<2	139
71.50	73.00	0.25	31	0.034	1.5	2	331
73.00	74.50	0.19	9	0.015	0.9	<2	141
74.50	76.00	0.28	12	0.016	1.6	<2	227
76.00	77.50	0.22	58	0.024	1.4	<2	514
77.50	79.00	0.24	16	0.045	1.7	5	135
79.00	80.50	0.30	18	0.093	2.2	4	328
80.50	82.00	0.25	29	0.042	1.9	2	120
82.00	83.50	0.10	4	0.015	0.4	5	158
83.50	85.00	0.06	1	0.016	0.2	4	70
85.00	86.50	0.05	<1	0.014	<0.2	<2	83
86.50	87.75	0.09	1	0.014	0.5	4	112
87.75	89.25	0.07	15	0.055	0.6	2	2020
89.25	90.75	0.09	8	0.025	0.9	<2	665
90.75	92.25	0.15	1	0.031	0.5	2	207
92.25	93.75	0.17	1	0.025	0.5	<2	90
93.75	95.25	0.16	7	0.031	1.1	2	121
95.25	96.75	0.20	5	0.029	1	2	112
96.75	98.25	0.34	4	0.031	3.2	<2	961
98.25	99.75	0.23	5	0.061	0.7	<2	65
99.75	101.25	0.17	3	0.054	0.4	2	42
101.25	102.75	0.18	15	0.019	0.8	2	120
102.75	104.25	0.16	5	0.013	0.7	<2	80
104.25	105.75	0.16	128	0.055	0.6	2	28
105.75	107.25	0.10	7	0.014	0.9	<2	361
107.25	108.75	0.10	3	0.007	0.7	<2	125
108.75	110.25	0.07	2	0.015	0.6	2	617

De	A	Cu (%)	Mo (ppm)	Au (ppm)	Ag (ppm)	As (ppm)	Zn (ppm)
110.25	111.75	0.22	4	0.027	1.1	2	266
111.75	113.25	0.23	529	0.053	0.9	<2	64
113.25	114.75	0.21	12	0.025	0.8	3	56
114.75	116.25	0.19	8	0.03	0.8	2	117
116.25	117.75	0.08	17	0.006	0.3	3	55
117.75	119.25	0.17	14	0.03	0.5	<2	70
119.25	120.75	0.13	7	0.027	0.5	2	71
120.75	122.25	0.16	30	0.021	0.7	<2	595
122.25	123.75	0.18	2	0.024	0.7	3	83
123.75	125.25	0.30	13	0.023	1.5	2	87
125.25	126.75	0.19	54	0.019	0.9	3	81
126.75	128.25	0.23	27	0.022	1.2	2	81
128.25	129.75	0.26	15	0.03	1.3	<2	100
129.75	131.25	0.20	140	0.028	0.9	2	56
131.25	132.75	0.16	9	0.043	0.5	3	42
132.75	134.25	0.31	12	0.023	1.6	3	85
134.25	135.75	0.17	169	0.036	1	2	70
135.75	137.25	0.34	55	0.045	1.6	<2	50
137.25	138.75	0.22	25	0.037	1	2	92
138.75	140.25	0.35	7	0.09	1.1	<2	35
140.25	141.75	0.28	29	0.076	1	2	34
141.75	143.25	0.34	31	0.101	1.7	<2	149
143.25	144.75	0.28	16	0.077	1.4	<2	85
144.75	146.25	0.27	4	0.087	1.3	3	86
146.25	146.75	0.14	1	0.052	0.7	3	57
146.75	148.25	0.25	9	0.042	1.3	2	220
148.25	149.75	0.41	6	0.048	2.1	<2	215
149.75	151.25	0.32	10	0.05	1.4	<2	233
151.25	152.75	0.26	19	0.045	0.9	4	28
152.75	154.25	0.13	15	0.024	0.6	3	32
154.25	155.75	0.08	6	0.018	0.3	<2	30
155.75	157.25	0.13	31	0.03	0.9	<2	214
157.25	158.75	0.11	6	0.027	0.7	<2	48
158.75	160.25	0.27	17	0.025	1.6	2	338

De	A	Cu (%)	Mo (ppm)	Au (ppm)	Ag (ppm)	As (ppm)	Zn (ppm)
160.25	161.75	0.23	9	0.022	1.3	<2	150
161.75	163.25	0.29	18	0.038	1.5	3	158
163.25	164.75	0.22	23	0.024	1.8	3	160
164.75	166.25	0.15	25	0.012	1.1	2	674
166.25	167.75	0.31	8	0.04	1.1	2	76
167.75	169.25	0.25	35	0.05	0.8	<2	34
169.25	170.75	0.25	17	0.05	0.8	<2	40
170.75	172.25	0.15	4	0.032	0.5	<2	69
172.25	173.75	0.24	7	0.048	0.8	<2	40
173.75	175.25	0.13	4	0.033	0.4	<2	27
175.25	176.75	0.09	6	0.018	0.3	<2	27
176.75	178.25	0.12	4	0.024	0.5	<2	35
178.25	179.25	0.13	6	0.053	0.5	2	28
179.75	181.25	0.22	2	0.045	0.8	2	27
181.25	182.75	0.15	20	0.035	0.5	<2	33
182.75	184.25	0.17	3	0.047	0.7	<2	46
184.25	185.75	0.39	139	0.057	1.1	<2	30
185.75	187.25	0.12	4	0.031	0.4	3	23
187.25	188.75	0.13	32	0.033	0.5	<2	24
188.75	190.25	0.16	7	0.041	0.5	3	35
190.25	191.75	0.74	4	0.113	1.9	6	25
191.75	193.25	0.20	2	0.031	0.6	4	26
193.25	194.75	0.47	2	0.073	1.2	3	26
194.75	196.25	0.15	1	0.036	0.5	2	25
196.25	197.75	0.20	59	0.048	0.6	5	25
197.75	200.00	0.27	5	0.043	0.7	4	32
200.00	200.75	0.26	3	0.058	0.6	<2	28
200.75	202.25	0.18	8	0.035	0.4	<2	26
202.25	203.75	0.32	2	0.064	0.7	<2	22
203.75	205.25	0.44	68	0.062	2.6	<2	21
205.25	206.75	0.08	6	0.022	0.2	<2	23
206.75	208.25	0.09	14	0.018	0.3	<2	23
208.25	209.75	0.12	16	0.026	0.4	<2	24
209.75	211.25	0.07	14	0.019	0.2	<2	25

De	A	Cu (%)	Mo (ppm)	Au (ppm)	Ag (ppm)	As (ppm)	Zn (ppm)
211.25	212.75	0.11	5	0.034	0.4	<2	27
212.75	214.25	0.12	48	0.028	0.5	<2	52
214.25	215.75	0.16	3	0.034	0.6	<2	25
215.75	217.25	0.24	2	0.047	0.9	<2	29
217.25	218.75	0.49	31	0.064	1.6	<2	154
218.75	220.25	0.17	5	0.025	0.6	<2	339
220.25	221.75	0.14	27	0.027	0.6	<2	36
221.75	223.25	0.12	20	0.027	0.5	<2	32
223.25	224.75	0.09	21	0.033	0.3	<2	36
224.75	226.25	0.05	7	0.017	<0.2	<2	31
226.25	227.75	0.23	14	0.043	0.6	<2	32
227.75	229.25	0.30	13	0.041	1.3	<2	115
229.25	230.75	0.19	8	0.029	0.7	2	55
230.75	232.25	0.15	7	0.032	0.4	<2	20
232.25	233.75	0.19	3	0.043	0.4	<2	22
233.75	235.25	0.23	36	0.036	0.7	<2	18
235.25	236.75	0.33	10	0.063	0.9	3	15
236.75	238.25	0.21	12	0.031	0.8	2	67
238.25	239.75	0.21	14	0.033	2	2	552
239.75	241.25	0.22	36	0.04	0.8	<2	33
241.25	242.75	0.13	6	0.027	0.4	<2	26
242.75	244.25	0.16	3	0.026	0.5	<2	25
244.25	245.75	0.15	3	0.03	0.4	<2	20
245.75	247.25	0.17	5	0.039	0.5	<2	32
247.25	248.75	0.11	12	0.029	0.4	<2	30
248.75	250.25	0.23	4	0.03	0.7	<2	79
250.25	251.75	0.21	16	0.035	0.7	<2	23
251.75	253.25	0.14	6	0.028	0.5	<2	25
253.25	254.75	0.10	2	0.028	0.4	<2	31
254.75	256.25	0.24	9	0.056	0.8	<2	22
256.25	257.75	0.21	2	0.042	0.6	<2	34
257.75	259.25	0.14	43	0.03	0.5	<2	49
259.25	260.75	0.18	4	0.026	0.6	<2	39
260.75	262.25	0.14	<1	0.022	0.4	<2	21

De	A	Cu (%)	Mo (ppm)	Au (ppm)	Ag (ppm)	As (ppm)	Zn (ppm)
262.25	263.75	0.17	1	0.027	0.5	<2	24
263.75	265.25	0.03	2	0.013	0.3	3	10
265.25	266.75	0.11	1	0.027	0.5	<2	17
266.75	268.25	0.15	<1	0.027	1.3	<2	25
268.25	269.75	0.21	24	0.043	2	<2	20
269.75	271.25	0.19	14	0.057	0.7	<2	20
271.25	272.75	0.12	2	0.024	0.7	<2	14
272.75	274.25	0.11	13	0.02	0.5	<2	95
274.25	275.75	0.16	4	0.029	0.4	2	21
275.75	277.25	0.24	2	0.053	0.7	<2	24
277.25	278.75	0.13	25	0.032	0.4	<2	24
278.75	280.25	0.10	19	0.024	0.3	<2	23
280.25	281.75	0.09	5	0.02	0.2	<2	27
281.75	283.25	0.09	13	0.018	0.4	<2	22
283.25	284.75	0.16	10	0.037	0.5	<2	29
284.75	286.25	0.20	19	0.032	0.9	<2	52
286.25	287.75	0.26	167	0.027	1.8	<2	2510
287.75	289.25	0.13	72	0.014	0.6	<2	528
289.25	290.75	0.20	36	0.024	0.8	<2	63
290.75	292.25	0.16	8	0.024	0.6	<2	46
292.25	293.75	0.08	9	0.024	0.2	<2	24
293.75	295.25	0.24	89	0.043	0.7	<2	25
295.25	296.75	0.21	10	0.044	0.6	<2	21
296.75	298.25	0.22	2	0.02	0.6	<2	29
298.25	299.75	0.18	3	0.036	0.7	<2	374
299.75	301.25	0.12	20	0.024	0.2	<2	22
301.25	302.75	0.17	24	0.034	0.4	2	22
302.75	304.25	0.16	43	0.025	0.4	<2	23
304.25	305.00	0.23	6	0.037	0.6	<2	24
305.00	306.50	0.22	3	0.039	0.7	<2	24
306.50	308.00	0.15	3	0.025	0.5	<2	21
308.00	309.50	0.17	3	0.022	0.5	<2	24
309.50	310.60	0.13	3	0.019	0.4	4	24
310.60	312.10	0.02	<1	<0.005	<0.2	<2	85

De	A	Cu (%)	Mo (ppm)	Au (ppm)	Ag (ppm)	As (ppm)	Zn (ppm)
312.10	313.60	0.02	1	<0.005	<0.2	3	68
313.60	315.10	0.02	<1	<0.005	<0.2	2	70
315.10	316.60	0.02	<1	<0.005	<0.2	2	65
316.60	317.60	0.04	<1	<0.005	0.2	2	77
317.60	319.10	0.18	42	0.033	0.5	3	19
319.10	320.60	0.20	26	0.029	0.5	<2	18
320.60	322.10	0.21	4	0.027	0.7	<2	20
322.10	323.60	0.23	12	0.037	0.7	<2	24
323.60	325.10	0.15	2	0.028	0.5	<2	22
325.10	326.60	0.13	5	0.026	0.4	<2	22
326.60	328.10	0.11	6	0.018	0.3	<2	17
328.10	329.60	0.13	4	0.022	0.4	<2	19
329.60	331.10	0.16	5	0.03	0.4	<2	18
331.10	332.60	0.15	1	0.024	0.5	<2	104
332.60	334.10	0.15	39	0.024	0.5	<2	21
334.10	335.60	0.18	1	0.044	0.5	<2	24
335.60	337.10	0.28	2	0.06	0.8	<2	23
337.10	338.60	0.14	1	0.025	0.4	<2	20
338.60	340.10	0.15	21	0.02	0.5	<2	27
340.10	341.60	0.15	2	0.021	0.4	<2	23
341.60	343.10	0.11	5	0.021	0.3	<2	23
343.10	344.60	0.18	20	0.025	0.5	<2	20
344.60	346.10	0.15	19	0.029	0.4	<2	15
346.10	347.60	0.18	9	0.038	0.5	<2	23
347.60	349.10	0.19	32	0.04	0.4	3	17
349.10	350.60	0.15	3	0.054	0.3	<2	19
350.60	352.10	0.13	20	0.033	0.4	4	19
352.10	353.60	0.16	3	0.037	0.4	5	18
353.60	355.10	0.14	92	0.028	0.4	<2	22
355.10	356.60	0.19	5	0.038	0.5	2	23
356.60	358.10	0.10	2	0.024	0.3	<2	22
358.10	359.60	0.13	18	0.029	0.3	<2	20
359.60	361.10	0.12	8	0.024	0.3	3	19
361.10	362.60	0.11	3	0.024	0.2	2	14

De	A	Cu (%)	Mo (ppm)	Au (ppm)	Ag (ppm)	As (ppm)	Zn (ppm)
362.60	364.10	0.13	7	0.026	0.3	<2	19
364.10	365.60	0.21	8	0.036	0.5	2	14
365.60	367.10	0.18	5	0.036	0.5	5	17
367.10	368.60	0.15	6	0.037	0.4	2	18
368.60	370.10	0.09	11	0.024	0.3	<2	15
370.10	371.60	0.08	19	0.018	0.2	3	20
371.60	373.10	0.13	45	0.03	0.3	2	20
373.10	374.60	0.24	9	0.068	0.7	2	34
374.60	376.10	0.15	2	0.043	0.4	3	20
376.10	377.60	0.17	2	0.042	0.4	2	23
377.60	379.10	0.15	1	0.035	0.3	2	20
379.10	380.60	0.12	5	0.029	0.3	<2	17
380.60	382.10	0.09	2	0.028	0.2	<2	17
382.10	383.60	0.14	1	0.022	0.4	4	17
383.60	385.10	0.10	28	0.013	<0.2	4	13
385.10	386.60	0.14	13	0.029	0.4	<2	15
386.60	388.10	0.21	1	0.033	0.5	6	15
388.10	389.60	0.21	60	0.017	1	135	552
389.60	391.10	0.12	26	0.014	0.3	7	35
391.10	392.60	0.11	5	0.014	0.3	3	23
392.60	394.10	0.17	12	0.02	0.5	2	21
394.10	395.60	0.19	12	0.039	0.4	3	22
395.60	397.10	0.13	6	0.025	0.4	2	25
397.10	398.60	0.08	1	0.017	<0.2	3	21
398.60	400.00	0.09	3	0.008	0.3	<2	23
400.00	401.60	0.14	2	0.03	0.2	2	17
401.60	403.10	0.17	2	0.02	0.3	3	17
403.10	404.60	0.12	18	0.025	0.2	<2	18
404.60	406.10	0.22	7	0.041	0.4	2	22
406.10	407.60	0.12	3	0.015	0.3	3	46
407.60	409.10	0.20	18	0.036	0.3	2	20
409.10	410.60	0.16	7	0.033	0.2	4	15
410.60	412.10	0.13	9	0.017	0.3	<2	15
412.10	413.60	0.16	6	0.029	0.3	<2	25

413.60	415.10	0.17	11	0.026	0.4	3	51
415.10	416.60	0.16	20	0.032	0.3	<2	20

POZO B07061

From	To	Cu (%)	Mo (ppm)	Au (ppm)	Ag (ppm)	As (ppm)	Zn (ppm)
0.00	1.00	0.04	70	0.078	<0.2	<2	35
1.00	1.60	0.03	9	0.008	0.2	2	74
1.60	3.00	0.09	86	0.076	1.7	<2	40
3.00	4.50	0.28	60	0.101	1.9	<2	47
4.50	6.00	0.18	37	0.068	1.2	<2	44
6.00	8.40	0.10	36	0.049	1.7	<2	49
8.40	9.70	0.42	42	0.056	0.8	<2	50
9.70	11.60	0.49	89	0.072	0.9	<2	57
11.60	12.50	0.43	123	0.086	0.9	<2	31
12.50	15.00	0.46	92	0.095	1	<2	30
15.00	16.80	0.41	12	0.088	0.9	<2	24
16.80	18.40	0.50	25	0.103	1	<2	24
18.40	19.40	0.41	14	0.091	1.2	2	119
19.40	20.40	0.28	18	0.04	0.8	<2	27
20.40	21.90	0.26	172	0.041	0.7	<2	17
21.90	23.50	0.26	7	0.047	0.7	<2	26
23.50	26.50	0.33	87	0.067	1.7	<2	421
26.50	27.00	0.20	29	0.051	0.4	<2	16
27.00	28.50	0.37	9	0.08	0.9	<2	18
28.50	30.50	0.32	27	0.068	0.8	<2	12
30.50	31.50	0.27	88	0.061	0.6	<2	17
31.50	33.00	0.24	18	0.055	0.5	<2	16
33.00	34.50	0.43	12	0.111	0.8	<2	18
34.50	36.00	0.47	27	0.089	1.2	<2	38
36.00	37.50	0.50	47	0.097	1.1	<2	25
37.50	39.00	0.21	43	0.047	0.6	<2	27
39.00	40.32	0.35	12	0.065	0.9	<2	32
40.32	42.00	0.21	25	0.03	0.8	<2	89
42.00	43.50	0.15	19	0.014	0.7	<2	319
43.50	45.00	0.23	14	0.014	1	5	382
45.00	46.70	0.18	57	0.03	0.9	<2	134
46.70	48.00	0.20	52	0.026	0.6	<2	18
48.00	49.50	0.19	15	0.018	0.5	<2	32
49.50	51.00	0.19	33	0.027	0.5	<2	18
51.00	52.50	0.23	26	0.03	0.7	<2	9

De	A	Cu (%)	Mo (ppm)	Au (ppm)	Ag (ppm)	As (ppm)	Zn (ppm)
52.50	54.00	0.14	20	0.016	0.4	<2	16
54.00	55.50	0.25	72	0.032	0.5	<2	23
55.50	57.00	0.13	4	0.018	0.2	<2	237
57.00	58.50	0.16	14	0.026	0.4	<2	20
58.50	60.00	0.09	7	0.025	0.3	<2	21
60.00	61.50	0.17	25	0.023	0.5	<2	35
61.50	63.00	0.10	6	0.023	0.2	<2	20
63.00	64.50	0.16	7	0.032	0.4	<2	34
64.50	66.00	0.12	17	0.022	0.4	2	27
66.00	67.50	0.12	21	0.021	0.4	<2	30
67.50	69.00	0.07	65	0.014	0.2	<2	22
69.00	70.50	0.13	14	0.033	0.3	<2	21
70.50	72.00	0.10	7	0.029	0.3	<2	20
72.00	73.50	0.18	2	0.032	0.5	<2	19
73.50	75.00	0.12	3	0.02	0.4	2	27
75.00	76.00	0.14	20	0.027	0.9	2	925
76.00	78.00	0.22	4	0.039	0.9	<2	140
78.00	79.50	0.18	4	0.035	0.5	<2	44
79.50	81.00	0.39	12	0.082	1.1	<2	279
81.00	82.50	0.22	2	0.038	1	<2	448
82.50	84.00	0.43	7	0.051	3.5	<2	797
84.00	85.50	0.29	3	0.029	1.8	2	340
85.50	86.30	0.18	5	0.028	0.9	13	62
86.30	87.80	0.01	<1	<0.005	<0.2	3	105
87.80	89.38	0.01	<1	0.008	<0.2	3	101
89.38	90.80	0.01	<1	<0.005	<0.2	<2	102
90.80	92.90	0.01	<1	0.007	<0.2	2	100
92.90	93.30	0.01	1	<0.005	<0.2	<2	102
93.30	94.70	0.03	1	0.007	0.2	15	90
94.70	96.55	0.25	6	0.052	1	<2	63
96.55	97.50	0.01	2	0.016	<0.2	<2	128
97.50	99.00	0.01	<1	0.009	<0.2	<2	101
99.00	100.50	0.01	<1	<0.005	<0.2	<2	102
100.50	102.00	0.01	<1	0.006	<0.2	<2	103
102.00	103.50	0.01	<1	<0.005	<0.2	4	97
103.50	105.00	0.01	<1	<0.005	<0.2	<2	90

De	A	Cu (%)	Mo (ppm)	Au (ppm)	Ag (ppm)	As (ppm)	Zn (ppm)
105.00	106.50	0.01	<1	0.009	<0.2	<2	100
106.50	108.50	0.01	3	0.005	<0.2	9	94
108.50	109.60	0.15	29	0.083	0.4	161	14
109.60	111.00	0.01	<1	0.01	<0.2	5	100
111.00	112.25	0.02	1	<0.005	<0.2	3	101
112.25	114.15	0.14	2	0.021	0.7	15	922
114.15	115.40	0.28	4	0.079	1	9	589
115.40	117.00	0.01	1	0.026	<0.2	2	93
117.00	117.80	0.12	2	0.063	0.4	<2	89
117.80	120.00	0.36	13	0.159	1.1	14	20
120.00	121.05	0.12	6	0.029	0.4	<2	53
121.05	123.00	0.33	11	0.152	1	4	21
123.00	124.50	0.28	3	0.13	1	<2	47
124.50	126.50	0.28	2	0.077	1.3	<2	38
126.50	127.50	0.03	1	<0.005	<0.2	<2	89
127.50	129.00	0.02	<1	<0.005	<0.2	<2	94
129.00	130.50	0.01	1	0.009	<0.2	<2	127
130.50	132.00	0.01	1	0.032	<0.2	<2	118
132.00	133.50	0.003	1	0.189	0.4	<2	138
133.50	135.00	0.002	<1	0.013	<0.2	2	110
135.00	136.50	0.001	<1	0.013	<0.2	<2	89
136.50	138.00	0.001	<1	0.011	<0.2	<2	73
138.00	139.50	0.0004	1	0.019	<0.2	<2	75
139.50	141.00	0.0004	1	0.012	<0.2	<2	82
141.00	142.50	0.001	2	0.007	0.3	<2	82
142.50	144.00	0.001	1	<0.005	<0.2	<2	98
144.00	145.50	0.004	2	0.01	<0.2	<2	82
145.50	147.00	0.01	<1	<0.005	<0.2	<2	99
147.00	148.50	0.01	1	<0.005	<0.2	4	99
148.50	150.00	0.01	1	<0.005	<0.2	3	97
150.00	151.50	0.01	1	0.009	<0.2	2	93
151.50	153.00	0.00	2	<0.005	<0.2	11	92
153.00	154.85	0.01	1	0.005	<0.2	9	86
154.85	156.35	0.36	4	0.042	2	2	73
156.35	157.85	0.28	10	0.027	1.6	5	305

De	A	Cu (%)	Mo (ppm)	Au (ppm)	Ag (ppm)	As (ppm)	Zn (ppm)
157.85	159.35	0.39	4	0.093	1.5	3	41
159.35	160.85	0.29	2	0.077	0.7	<2	36
160.85	162.35	0.24	2	0.07	0.9	<2	45
162.35	164.30	0.32	1	0.056	1.3	<2	60
164.30	165.80	0.23	3	0.048	1.2	5	280
165.80	167.30	0.20	2	0.065	0.7	<2	47
167.30	168.80	0.31	4	0.029	2	<2	73
168.80	170.30	0.33	5	0.051	0.8	<2	41
170.30	171.80	0.26	5	0.041	0.7	<2	22
171.80	173.30	0.14	3	0.031	0.3	3	17
173.30	174.80	0.26	2	0.062	0.7	<2	20
174.80	176.30	0.28	2	0.063	0.6	2	18
176.30	177.80	0.43	2	0.065	1.2	<2	29
177.80	179.60	0.25	1	0.06	0.9	<2	34
179.60	181.10	0.01	1	<0.005	<0.2	3	116
181.10	182.60	0.01	1	<0.005	<0.2	<2	110
182.60	184.10	0.01	<1	<0.005	<0.2	<2	114
184.10	185.60	0.01	<1	<0.005	0.2	<2	116
185.60	186.50	0.01	1	0.007	<0.2	5	112
186.50	188.00	0.10	5	0.024	1.3	<2	49
188.00	189.50	0.15	5	0.014	1.1	<2	72
189.50	191.00	0.13	4	0.025	0.7	<2	201
191.00	192.50	0.30	7	0.061	1.4	<2	76
192.50	194.00	0.23	3	0.044	1.1	<2	121
194.00	195.50	0.24	3	0.077	0.8	<2	52
195.50	197.00	0.29	6	0.091	1	<2	37
197.00	198.50	0.46	17	0.167	1.3	<2	23
198.50	200.00	0.28	16	0.092	0.8	<2	26
200.00	201.50	0.23	5	0.062	0.9	<2	28
201.50	203.00	0.80	18	0.206	2.8	<2	41
203.00	204.50	0.48	13	0.156	1.6	<2	85
204.50	206.00	0.26	8	0.078	1	2	65
206.00	207.75	>1	66	0.197	6.8	2	2200
207.75	209.25	0.31	11	0.035	2.3	<2	97
209.25	210.75	0.30	9	0.035	1.6	2	415

De	A	Cu (%)	Mo (ppm)	Au (ppm)	Ag (ppm)	As (ppm)	Zn (ppm)
210.75	212.25	0.37	13	0.037	1.8	<2	142
212.25	213.75	0.24	8	0.029	1.4	<2	77
213.75	215.25	0.12	12	0.018	0.9	<2	124
215.25	216.75	0.17	13	0.022	1	<2	83
216.75	218.25	0.11	27	0.015	0.8	<2	114
218.25	219.75	0.16	2	0.031	0.8	<2	67
219.75	221.25	0.09	4	0.019	0.5	<2	44
221.25	222.75	0.10	2	0.025	0.4	2	49
222.75	224.25	0.05	3	0.016	0.3	3	22
224.25	225.75	0.06	3	0.027	0.2	<2	23
225.75	227.25	0.17	4	0.049	0.6	2	25
227.25	228.75	0.17	46	0.035	0.6	<2	25
228.75	230.25	0.12	8	0.022	0.6	<2	73
230.25	231.75	0.08	30	0.044	0.4	<2	49
231.75	233.25	0.19	9	0.028	1	<2	477
233.25	234.75	0.14	15	0.039	0.4	<2	25
234.75	236.25	0.23	17	0.014	1.5	<2	114
236.25	237.75	0.21	8	0.034	1.1	<2	48
237.75	239.25	0.12	3	0.029	0.5	<2	31
239.25	240.75	0.16	4	0.07	0.6	<2	31
240.75	242.25	0.08	2	0.036	0.3	<2	103
242.25	243.75	0.18	11	0.047	0.8	4	89
243.75	245.25	0.26	19	0.082	1	<2	35
245.25	246.75	0.09	4	0.012	0.5	<2	40
246.75	248.25	0.09	103	0.013	0.4	<2	53
248.25	249.75	0.10	4	0.009	0.5	<2	151
249.75	251.25	0.07	6	0.015	0.3	2	44
251.25	252.75	0.15	8	0.011	0.7	<2	272
252.75	254.25	0.22	21	0.028	1	<2	77
254.25	255.75	0.17	90	0.022	0.6	2	1240
255.75	256.90	0.44	307	0.092	1.3	<2	41
256.90	257.40	0.22	13	0.023	1.1	<2	120
257.40	258.90	0.35	19	0.04	1.2	<2	54
258.90	260.40	0.39	44	0.033	1.1	<2	29
260.40	261.90	0.19	21	0.023	0.5	2	25
261.90	262.50	0.17	38	0.016	0.5	4	23